



СТАТЬИ ТЕХНИЧЕСКИХ СПЕЦИАЛИСТОВ

2016



www.valtec.ru

СТАТЬИ ТЕХНИЧЕСКИХ СПЕЦИАЛИСТОВ

СОДЕРЖАНИЕ

Пути снижения капитальных затрат при устройстве систем отопления

2

Горизонтальные квартирные системы отопления

10

Практические вопросы поквартирного учета тепловой энергии и воды

54

Особенности расчета систем отопления с термостатическими клапанами

68

Проводная система сбора и обработки данных VALTEC M-BUS

78

Беспроводная система сбора и передачи данных VALTEC CASCAD

83

Пути снижения капитальных затрат при устройстве систем отопления

Всем знакома шутка - «Количество заболеваний больного на приеме у врача зависит только от финансовых возможностей больного». Как ни печально, но в этой шутке есть доля правды. Например, в инженерной сантехнике производителям оборудования зачастую невыгодно, чтобы проектировщик закладывал простые и дешевые схемы. Вместо этого навязываются заведомо неэкономичные решения и использование необоснованно дорогого оборудования. Грамотного технико-экономического сравнения различных вариантов никто не делает, так как вариантное проектирование, естественно, отразится на стоимости проектных работ.

Получается, что проектировщик внедряет в новые дома схемы, которые предлагает производитель оборудования, без какой-либо экономической оценки реальной эффективности. Когда дело доходит до закупки оборудования, то застройщик уже связан согласованным проектом и решениями, принятыми в нём.

В этой статье будут рассмотрены примеры того, как навязывается дорогое оборудование, и как можно существенно снизить капитальные затраты на систему отопления без ухудшения качества регулирования и надёжности систем.

Необоснованное использование лучевых внутриквартирных схем отопления.

Как бы застройщик не монтировал лучевую систему отопления, и каким бы образом он её не комплектовал, такая схема всегда будет дороже на 30-50% аналогичной тройниковой, за счёт увеличения затрат на трубопроводы, а также на коллекторы, шкафы и сопутствующее оборудование. Какие же доводы можно привести для обоснования использования лучевых схем?

■ Одним из основных преимуществ этих схем преподносится их ремонтпригодность. Действительно, если каждый отопительный прибор можно независимо отключить и поменять, это - неоспоримый плюс. Но процедура замены отопительных приборов - не ежедневное занятие, и даже не ежегодное. В большинстве случаев приборы меняют (если вообще меняют) в первый год после сдачи дома.

Как правило, жилец въезжает в новый дом и первым делом решает переделать систему отопления. При этом меняются сразу все отопительные приборы, и «поштучное» отключение радиаторов не требуется.



Выборочная замена радиаторов может производиться в исключительных случаях при каких-то нештатных ситуациях.

То есть, данное «преимущество» на практике не востребовано и не может служить обоснованием увеличения стоимости системы.

■ Вторым, действительно весомым преимуществом лучевой системы, является то, что в большинстве случаев при гидравлическом расчёте потери давления в ней существенно ниже, чем в аналогичных тройниковых схемах. Низкие потери давления позволяют в ряде случаев отказаться от использования приборов, стабилизирующих перепады давлений на входе в каждую квартиру, ограничившись установкой этого оборудования только на стояках.

Однако, большинство компаний, предлагающих комплектные квартирные узлы учета и распределения теплоносителя (квартирные станции), адаптированные под лучевую систему, тем не менее, снабжают их автоматическими регуляторами перепада давления (*рис. 1*).

Это все равно, что построить подземный пешеходный переход, чтобы не ставить светофор, но при этом светофор на всякий случай оставить. Кажется странным?

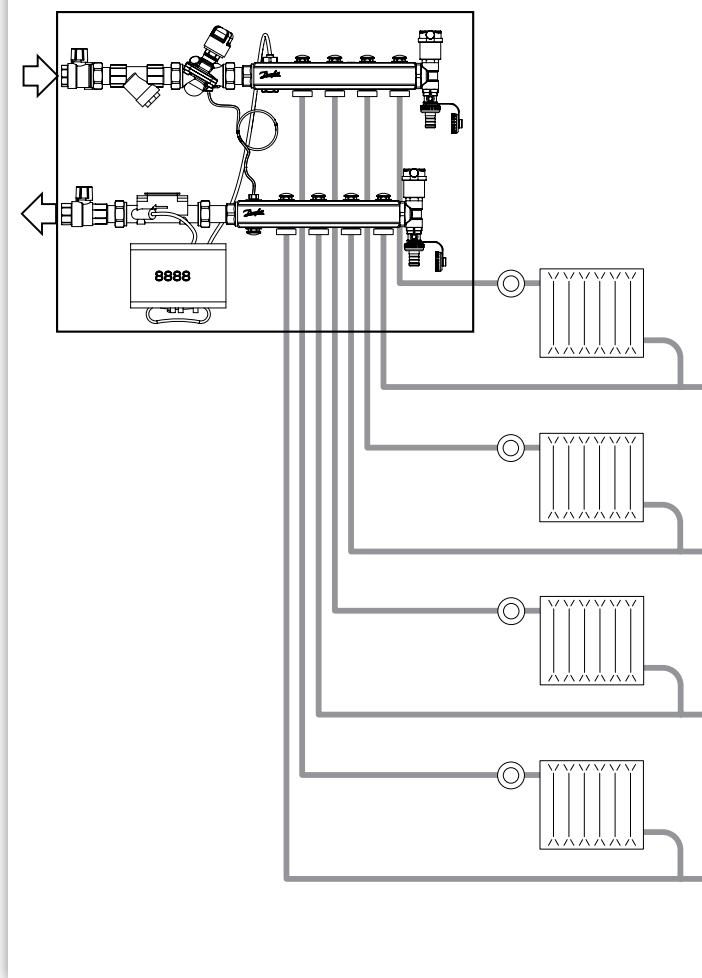
Но почему-то не считается странным то, что проектировщик закладывает в проект лучевую систему, чтобы отказаться от автоматических регуляторов перепада давления перед каждой квартирой, но эти регуляторы все равно устанавливает.

В связи с этим, при поисках решений по удешевлению систем отопления с лучевой разводкой первым делом следует получить обоснование от проектной организации в необходимости установки перепускного клапана или автоматического регулятора перепада давления перед каждой квартирой.

Установка этих устройств может считаться обоснованной лишь в той ситуации, когда потери давления в расчетной петле превышают максимально допустимый перепад давления на термостатическом клапане. В противном случае достаточно установить устройства стабилизирующие давление только на стояках. Данное решение позволит сэкономить от 5-ти до 20-ти тыс. руб. на узле ввода каждой квартиры.

Необоснованное использование автоматического регулятора перепада давлений вместо перепускного клапана.

рис. 1 Пример нерациональной системы



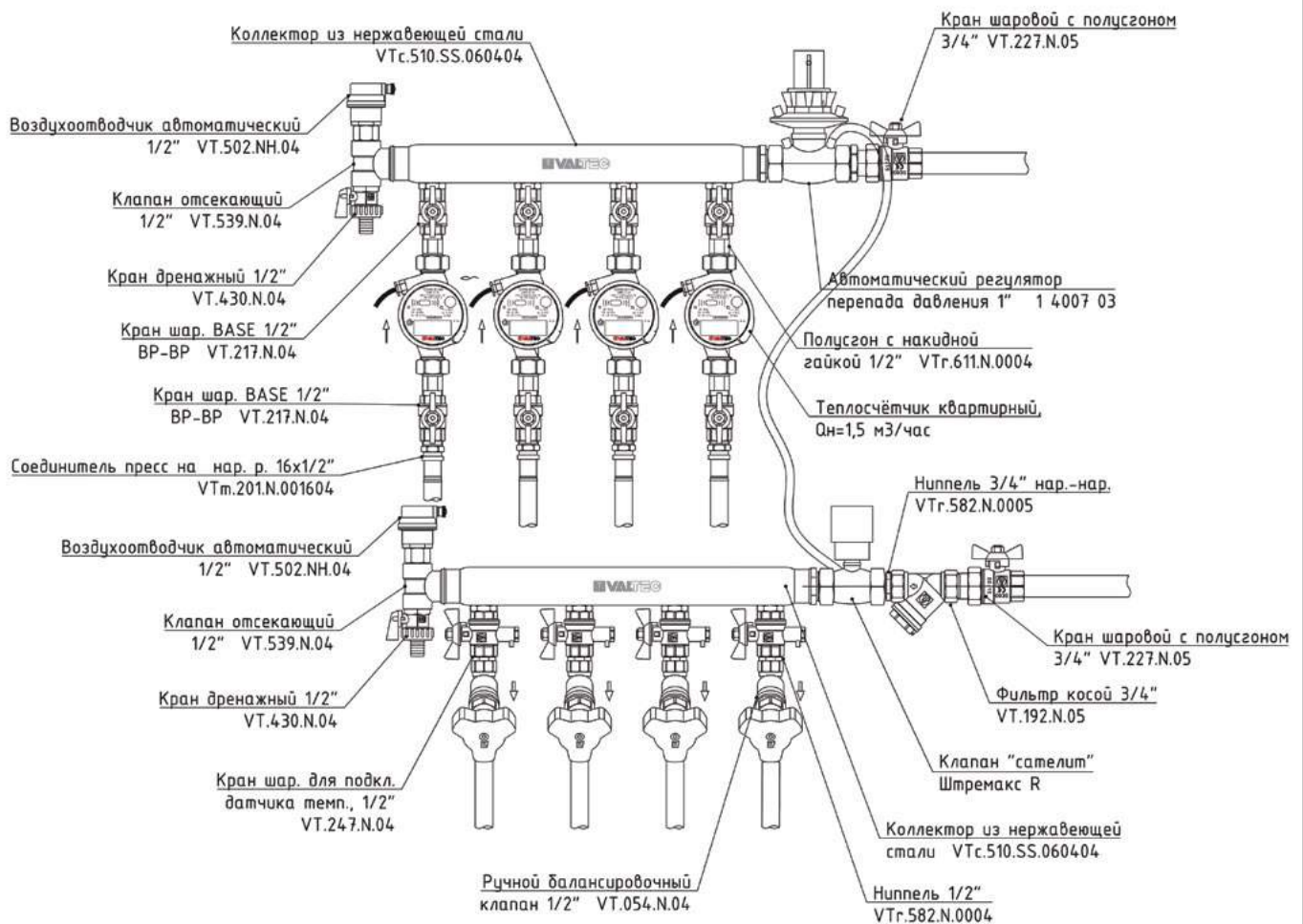
Естественно, что производители автоматических регуляторов перепада давления дают рекомендации устанавливать эти дорогие приборы везде, где только можно (*примером может служить узел на рисунке 1*).

Однако, в большинстве случаев этот регулятор может быть заменён на более простые и экономичные элементы.

Прежде всего, требуется выяснить, для чего устанавливается автоматический регулятор перепада давления?

- Во-первых, он требуется для поддержания расчетного гидравлического режима системы в целом;
- во-вторых, он предотвращает повышенный расход теплоносителя через участок при снижении расхода по остальным участкам;
- и в-третьих, клапан предохраняет радиаторные термостатические клапаны от работы во внерасчетном режиме.

Рис. 2 Этажный коллекторный узел с автоматическим регулятором перепада давления



Как правило, клапаны устанавливаются перед этажными коллекторными узлами (рис. 2), перед квартирными станциями или на стояках систем отопления.

Автоматический регулятор перепада давления работает следующим образом: при изменении давления на регулируемом участке (между клапаном и местом подключения импульсной трубки) меняется положение золотника клапана.

При увеличении перепада давления клапан начинает прикрывать поток, а при уменьшении – приоткрывать поток теплоносителя.

Хотелось бы развеять некоторые неверные представления, которые можно услышать в среде специалистов об автоматических регуляторах перепада давления:

**Автоматические регуляторы перепада давления поддерживают постоянный перепад давления на участке при любом расходе.
⚠ В ДЕЙСТВИТЕЛЬНОСТИ ЭТО НЕ ТАК.**

Автоматический регулятор перепада давления работает в строго определенном диапазоне давлений. Причем, в зависимости от конструкции и модели перепады могут меняться в достаточно широком диапазоне.

Если рассмотреть график (рис. 3), то можно обнаружить, что данный регулятор при настройке на 50% будет поддерживать перепад давления 10 кПа при расходе 300 л/час.

При снижении расхода до 150 л/час перепад давления увеличится до 15 кПа. При увеличении расхода до 400 л/час перепад давления уменьшится до 5 кПа. Судя по паспорту на этот клапан, он полностью закрывается при перепаде давления 22 кПа.

Существуют клапаны с более крутым графиком регулирования, у которых значительное изменение расхода приводит к незначительным изменениям поддерживаемого перепада давления.

Нотакые клапаны, как правило, имеют слишком большие габаритные размеры и более сложную конструкцию, чем те, которые применяются в массовом жилищном строительстве.

⚠ Автоматические регуляторы перепада давления не изменяют своей настройки в течение всего режима эксплуатации.

Чем сложнее устройство и чем больше у него трущихся и движущихся элементов, тем сильнее оно подвержено старению. Даже нерегулируемые диафрагмы со временем меняют свои характеристики из-за накипи и отложений.

У большинства автоматических регуляторов перепада давления для упрощения конструкции пружина помещается в теплоноситель (рис. 4). Даже если пружина выполнена из нержавеющей стали, из-за перепадов температур и отложений она неизбежно меняет свои характеристики.

К тому же отложения на исполнительных элементах клапана (рис. 5) приводят к изменениям его характеристик. Шлам может попадать на седло клапана и в импульсную трубку, приводя к потере работоспособности клапана.

Настройку автоматических регуляторов перепада давлений необходимо корректировать ежегодно. Если эту сложную арматуру устанавливать на входе каждой квартиры, то её обслуживание становится существенной статьёй расходов управляющей компании.

Рис. 3 График зависимости поддерживаемого перепада давления от расхода при разных настройках клапана АВ-РМ Ду20

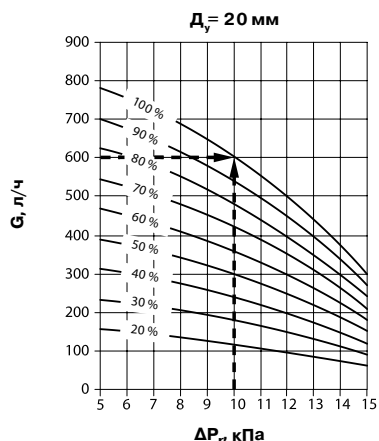


Рис. 4 Конструкция мембранного регулятора перепада давления с бессальниковой пружинной камерой

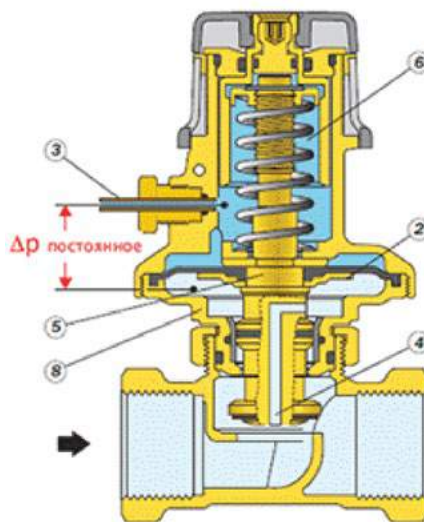


Рис. 5 Пружина регулятора после нескольких лет эксплуатации



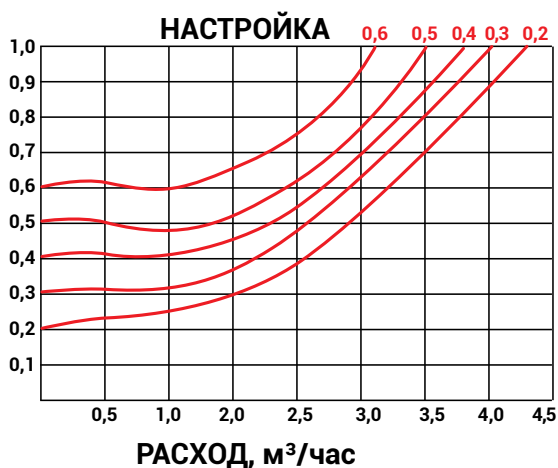
Рис. 6 Перепускной клапан VT.623 DN20



Рис. 7 Устройство перепускного клапана



Рис. 8 Графики характеристик перепускного клапана VT.623 DN20



Помимо автоматического регулятора перепада давления есть еще одно устройство, которое предназначено для поддержания постоянного перепада давления. Это - перепускной клапан (рис. 6).

Его принцип работы схож с предохранительным клапаном (рис. 7), но работает он при меньших перепадах давления. Этот клапан устанавливается на байпас, между подающим и обратным трубопроводом. Если перепад давления между трубопроводами возрастет сверх настроечного значения, то клапан начнет открываться и перепускать воду из подающего трубопровода в обратный.

Чем больше растет давление, тем сильнее открывается перепускной клапан и больше воды перепускает в обратный трубопровод.

Перепускной клапан, как и автоматический регулятор перепада давления, не способен поддерживать постоянный перепад при любом расходе теплоносителя. При определенной степени открытия клапана, его характеристика при больших расходах становится аналогичной характеристике обычного вентиля.

Можно оценить точность поддержания перепада давления перепускного клапана.

На (рис. 8) изображена характеристика регулятора перепада давления VT.623.G.05 Ду 20. При настройке клапана на 20 кПа (0,2 бара), при перепаде 20 кПа клапан будет закрыт. При увеличении перепада давления начнёт открываться. При достижении перепада 30 кПа клапан будет пропускать теплоноситель в объёме 2000 л/час.

Таким образом, если стоит задача ограничить максимальный перепад давления 30 кПа, то данный клапан будет работать в диапазоне расходов от 0 до 2000 л/час с точностью поддержания перепада давлений 10 кПа.

Таким образом, точность поддержания давления при помощи этого клапана во многих случаях выше, чем автоматическим регулятором перепада давления.

Кроме того, перепускной клапан имеет более простую и надежную конструкцию. У него нет каналов малого сечения, способных загрязниться от некачественного теплоносителя.

В **таблице 1** представлены марки наиболее распространенных на российском рынке автоматических регуляторов перепада давления DN25 и их розничная стоимость. В **таблице 2** приведены данные о некоторых перепускных клапанах DN20 (перепускные клапаны DN20 в большинстве случаев имеют рабочий диапазон расходов такой же, как автоматические регуляторы перепада давления DN25).

Как видно из **таблиц 1 и 2** средняя розничная цена на автоматические регуляторы перепада давления составляет около 13000 рублей. Средняя розничная цена на перепускные клапаны составляет 2700 рублей. Таким образом, экономическая выгода от замены составляет 10300 рублей с одного узла. С учетом того, что стоимость этажного коллекторного узла с теплосчетчиками составляет от 50 до 100 тыс. руб., переход на перепускные клапаны позволит снизить его стоимость на 10-20% (**рис.9**).

Таблица 1 Средняя розничная цена на автоматические регуляторы перепада давления

1	2	3
Herz 4007 DN25	Danfoss ASV-PV DN25	Giacomini R206C DN25
		
13 571	14 068	11 949

Таблица 2 Средняя розничная цена на перепускные клапаны

1	2	3
VALTEC VT.666 DN20 (в комплекте с байпасом)	Danfoss AVDO DN20	WATTS USVR DN20
		
2 358	3 708	2 095

Рис. 9 Этажный коллекторный узел с перепускным клапаном

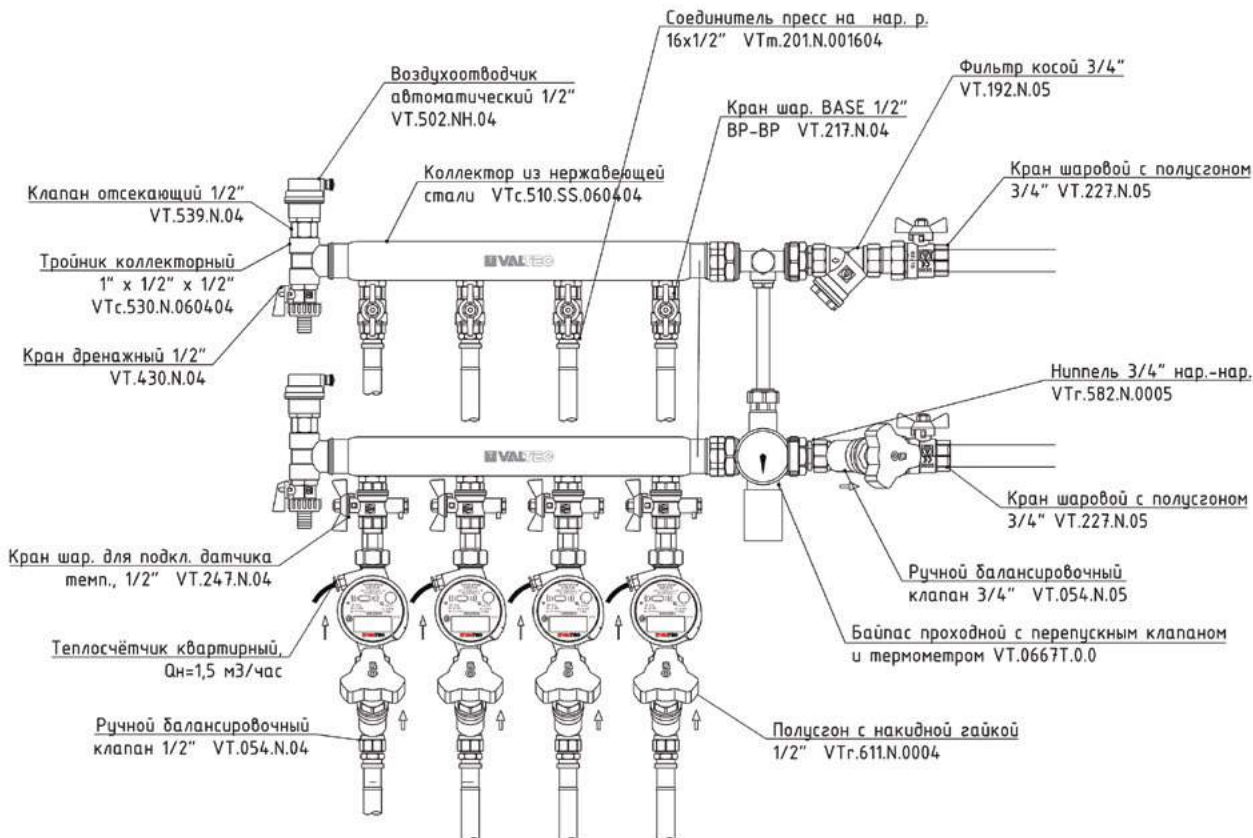
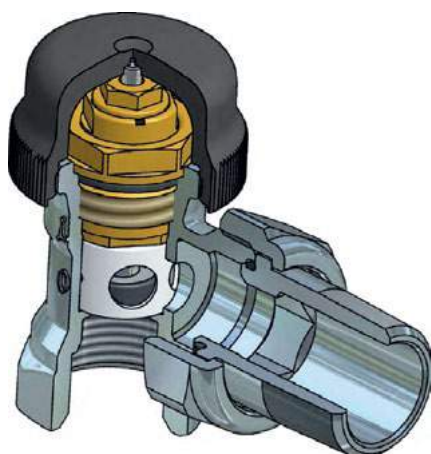


Рис. 10 Термостатический клапан с перенастройкой



Кроме того, у решения с перепускным клапаном есть ещё одно преимущество – это постоянная циркуляция теплоносителя по магистралям и подводкам к квартирным узлам.

В системах с автоматическими регуляторами перепада давления при продолжительном отсутствии запроса на отопление (закрытые радиаторные клапаны) теплоноситель в трубах остывает.

При последующем открытии радиаторных клапанов неизбежна длительная задержка в поступлении нагретого теплоносителя. В системах с перепускными клапанами постоянная циркуляция теплоносителя по стоякам позволяет поддерживать температуру перед коллекторными узлами всегда на требуемом уровне.

В использовании перепускных клапанов есть и свой недостаток: в зависимой системе отопления клапаны могут привести к возврату на ИТП перегретого теплоносителя, что может вызвать недовольство энерго-снабжающей организации.

Однако, в большинстве современных домов с горизонтальной разводкой устраивается ИТП независимого типа или собственная котельная. В этом случае центральная тепловая сеть и система отопления здания гидравлически разделены между собой.

Установка автоматических регуляторов перепада давления оправдана лишь тогда, когда без них действительно трудно обойтись, например, в домах с элеваторными смесительными узлами при зависимой системе подключения к теплосети.

В остальных случаях намного экономичнее видится решение с перепускными клапанами на этажных коллекторных узлах и квартирных станциях. Поэтому при поиске путей снижения затрат на отопление может быть рассмотрен вариант замены автоматических регуляторов перепада давления на перепускные клапаны. Тем более, что при замене регуляторов перепада давления на перепускные клапаны не требуется пересчёт системы отопления.

Использование настроечного клапана совместно с термостатическим клапаном с преднастройкой.

Сейчас, чтобы подключить радиатор к системе отопления, в основном используют два клапана. Это термостатический клапан для регулировки температуры воздуха и настроечный клапан для балансировки системы.

Но производители радиаторной арматуры решили внедрить более экономичное решение и соединить эти 2 клапана в один корпус. Так получился клапан с перенастройкой (рис. 10). Это устройство объединяет в себе функции термостатического и настроечного клапанов.

В таких клапанах регулировка температуры воздуха, также, как и в обычных, осуществляется при помощи термоэлемента, который толкает шток и запирает седло золотником.

Но, в отличие от обычных термостатических клапанов, в этом клапане за золотником устанавливается поворотная диафрагма или дросселирующий цилиндр, при помощи которого и осуществляется балансировка.

Данное решение позволяет существенно сократить затраты на радиаторные узлы. Так как вместо двух клапанов можно установить один (рис. 11).

Но, как бы ни было это странно, в проектах очень часто встречаются решения, где на подающем трубопроводе установлен клапан с преднастройкой, а на обратном настроечный клапан. В итоге получается, что в таком узле установлены два настроечных клапана друг за другом.

Мало того, что лишнее настроечное устройство увеличивает стоимость радиаторного узла, так оно еще и создаёт дополнительное гидравлическое сопротивление.

Если в проекте значатся клапана с преднастройкой и настроечные клапана, то можно существенно сократить затраты на отопление, отказавшись от настроечных клапанов (рис. 11).

Если все же требуется установка клапанов до и после радиатора, то логично будет заменить более дорогие клапаны с преднастройкой на обычные термостатические клапаны (рис. 12).

Выводы

Сегодня на волне повального увлечения энергосберегающими и инновационными технологиями проектировщики нередко начинают забывать, ради чего все это делается. Такие решения включаются в проекты без всякого технико-экономического обоснования.

Производители элементов инженерных систем постоянно анонсируют новые «инновационные» решения, позволяющие сократить стоимость и увеличить энергоэффективность систем, которые на поверку оказываются весьма и весьма убыточными, со сроком окупаемости, превышающим не только срок службы конкретного элемента, но и здания в целом.

Эта система устраивает большинство участников инвестиционного процесса: производители получают сверхприбыли от реализации более дорогого оборудования, проектировщики смело ставят галочку в разделе «энергосбережение», застройщики хвалятся «зелёными технологиями», страдает только конечный потребитель, для которого цена за квадратный метр неуклонно растёт.

Жигалов Д.В.

Рис. 11 Подключение радиатора через термостатический клапан с двойной регулировкой

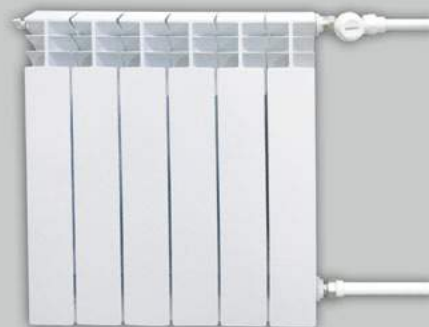


Рис. 12 Подключение радиатора через термостатический и настроечный клапан



Горизонтальные квартирные системы отопления

В современных системах отопления многоквартирных жилых домов уже неплохо прижились горизонтальные системы отопления, суть которых заключается в том, что в здании прокладывается центральный стояк системы отопления, на каждом этаже от этого стояка осуществляется ответвление либо на этажный коллектор, либо сразу на каждую квартиру. Далее трубопроводы прокладываются уже непосредственно в квартире «горизонтально».

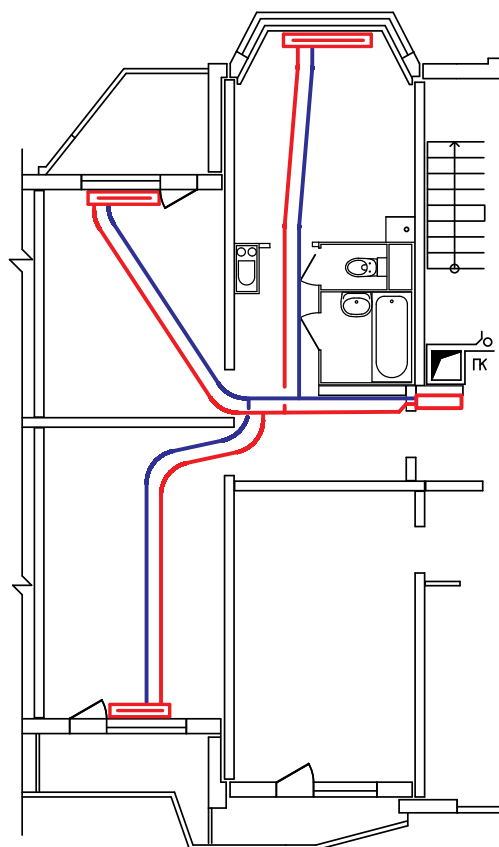
Но, одной из первых проблем, с которыми столкнулись строители при устройстве подобных систем, является сложность прокладки трубопроводов в квартирах до отопительных приборов. Если при вертикальных системах отопления трубопроводы, как правило, прокладывались открыто вдоль стен, то при горизонтальной системе, открыто проложенные трубы будут препятствовать нормальной эксплуатации помещений и, как минимум, не вписываться в интерьер.

Рассмотрим различные способы горизонтальной прокладки трубопроводов на примере одной квартиры, сопоставив экономические и технические аспекты каждого из вариантов.

1 РАЗВЕТВЛЕННАЯ ТУПИКОВАЯ СИСТЕМА С ТРУБОПРОВОДАМИ В СТЯЖКЕ

Одной из самых простых систем считается разветвлённая тупиковая система с прокладкой трубопроводов в стяжке пола (см. рис. 1)

Рис. 1 Схема разводки трубопроводов при разветвленной тупиковой системе



Согласно действующим нормам замоноличивание металлопластиковых и пластиковых трубопроводов допускается с соблюдением ряда условий. В частности, в СП 60.13330.2012 говорится:

«6.3.3 При скрытой прокладке трубопроводов следует предусматривать люки в местах расположения разборных соединений и арматуры. Прокладку трубопроводов из полимерных труб следует предусматривать скрытой: в полу (в гофротрубе), за плинтусами и экранами, в штробах, шахтах и каналах; допускается открытая прокладка их в местах, где исключаются механические и термические повреждения труб, а также прямое воздействие на них ультрафиолетового излучения».

В связи с этим, для данного метода прокладки трубопроводов должны использоваться неразборные соединения, например, пресс-фитинги (см. рис. 2).

Подключение трубопроводов к радиаторам рекомендуется осуществлять через специальный пресс-угольник с интегрированной хромированной трубкой VTm.281.

Такой соединитель позволит повысить надёжность подключения, кроме того, он значительно улучшит эстетику радиаторного узла (см.рис. 3) по сравнению с традиционным способом подключения (см. рис. 4).

Рис. 2 Пресс-фитинг



Рис. 3 Подключение радиатора с помощью угольника VTm.281



Рис. 4 Традиционное подключение радиатора



Таблица 1 Спецификация к системе отопления, представленной на рисунке 1

№	Наименование и техническая характеристика	Тип, марка	Бренд	Ед. изм.	Кол-во	Цена, руб.	Стоимость, руб.
1	Металлопластиковая (металлополимерная) труба VALTEC PEX-AL-PEX 16x2,0 мм	V1620	VALTEC	п.м.	38	55	2 090,00
2	Металлопластиковая (металлополимерная) труба VALTEC PEX-AL-PEX 20x2,0 мм	V2020	VALTEC	п.м.	6	83	498,00
3	Пресс-фитинг – тройник 20-16-16	VTm.231.N	VALTEC	шт.	2	356	712,00
4	Пресс-фитинг – тройник 16-16-16	VTm.231.N	VALTEC	шт.	2	247	494,00
5	Пресс-фитинг – угольник с хромированной трубкой	VTm.281.N	VALTEC	шт.	6	494	2 964,00
6	Узел термостатический для нижнего подключения радиатора (комплект)	VT.225K.	VALTEC	шт.	3	1 541,00	4 623,00
7	Головка термостатическая твердотельная	VT.1000.0	VALTEC	шт.	3	528	1 584,00
8	Фитинг коллекторный для медной трубы	VT.4430.NE	VALTEC	шт.	6	111	666,00
9	Кожух для трубы красный 16	SK40025к	СК-Пласт	п.м.	19	15	285,00
10	Кожух для трубы синий 16	SK40025с	СК-Пласт	п.м.	19	15	285,00
11	Кожух для трубы красный 20	SK40032к	СК-Пласт	п.м.	3	20	60,00
12	Кожух для трубы синий 20	SK40032с	СК-Пласт	п.м.	3	20	60,00
						Итого:	14 321

Рис. 5 Взаимное перекрещивание трубопроводов



В **таблице 1** приведена спецификация к схеме, представленной на (**рис. 1**), с указанием рыночной стоимости оборудования и материалов, используемых для данной системы (по состоянию на июль 2015 г.).

К достоинствам данной системы можно отнести минимальное количество трубопроводов и минимальные гидравлические потери (**гидравлический расчет приведен в приложении 1-Б**). Однако, общего экономического эффекта от этого, как правило, не возникает из-за того, что при данной схеме есть места взаимного перекрещивания трубопроводов (**рис. 5**), что вынуждает увеличивать толщину стяжки.

Рис. 6 Прокладка трубопроводов в штробах шумоизоляционных плит



В среднем, каждый дополнительный сантиметр толщины стяжки приводит к увеличению стоимости пола на 40 руб/м². Таким образом, для взятой в качестве примера квартиры площадью 64,4 м², утолщение стяжки на 2 см. (с 3-х до 5-ти см.) приведёт к удорожанию на 5 152 рубля. То есть, общие затраты на данную систему составят 19 473 руб. (увеличение на 36%).

Кроме того, увеличение толщины стяжки пола увеличит нагрузку на перекрытие и уменьшит полезный объем помещений.

Существуют дома, у которых на межэтажных перекрытиях укладываются шумоизоляционные плиты (**см. рис. 6**). В этом случае пересечения трубопроводов прячутся в выемках этих плит, что позволяет снизить общую толщину стяжки. Такие дома, как правило, относятся к комфорт-классу, и их, к сожалению, немного.

2

ДВУХТРУБНАЯ ТУПИКОВАЯ СИСТЕМА С ТРУБОПРОВОДАМИ В СТЯЖКЕ

В такой системе прямой и обратный трубопроводы прокладываются по периметру квартиры параллельно в стяжке пола (см. рис. 7).

В этом случае на систему требуется несколько больший расход трубопроводов по сравнению с

предыдущим вариантом. Как видно из **таблицы 2** стоимость такой системы немного больше предыдущей.

Однако, укладка трубопроводов без пересечений в полу позволяет сократить объём цементно-песчаной стяжки, что снижает общие затраты на 3926 руб. или 28%.

Рис. 7 Схема разводки трубопроводов при двухтрубной тупиковой системе

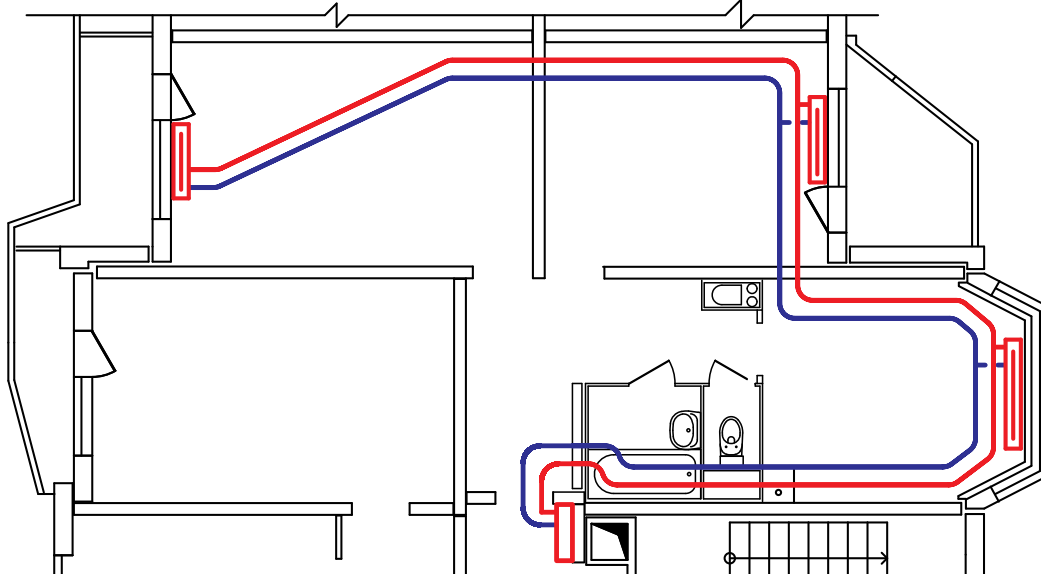
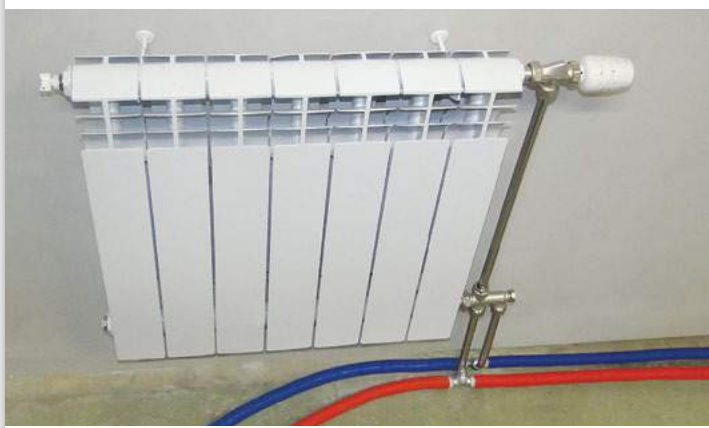


Таблица 2 Спецификация к системе отопления, представленной на рисунке 7

№	Наименование и техническая характеристика	Тип, марка	Бренд	Ед. изм.	Кол-во	Цена, руб.	Стоим-ть, руб.
1	Металлопластиковая (металлополимерная) труба VALTEC PEX-AL-PEX 16x2,0 мм	V1620	VALTEC	п.м.	35	55	1925
2	Металлопластиковая (металлополимерная) труба VALTEC PEX-AL-PEX 20x2,0 мм	V2020	VALTEC	п.м.	20	83	1660
3	Узел термостатический для нижнего подключения радиатора 100%	VT.225K.N.E 04100	VALTEC	шт.	3	1541	4623
4	Трубка соединительная из нержавеющей стали	VT.AD304.0.1000	VALTEC	шт.	2	518	1036
5	Головка термостатическая твердотельная	VT.1000.0	VALTEC	шт.	3	528	1584
6	Пресс-фитинг – угольник с хромированной трубкой 16x2 L=300	VTm.281.N.0 01615	VALTEC	шт.	2	494	988
7	Пресс-фитинг – тройник с хромированной трубкой 16 x 15 x 16 мм L=300	Tm.282.N.16 1516	VALTEC	шт.	2	517	1034
8	Пресс-фитинг – тройник с хромированной трубкой 20 x 15 x 16 мм L=300 лев.	Tm.282.N.20 1516	VALTEC	шт.	1	553	553
9	Пресс-фитинг – тройник с хромированной трубкой 16 x 15 x 20 мм L=300 прав.	Tm.282.N.16 1520	VALTEC	шт.	1	553	553
10	Фитинг коллекторный для медной трубы	VT.4430.NE	VALTEC	шт.	6	111	666
11	Кожух для трубы красный 16	SK40025к	СК - Пласт	п.м.	17,5	15	262,5
12	Кожух для трубы синий 16	SK40025с	СК - Пласт	п.м.	17,5	15	262,5
13	Кожух для трубы красный 20	SK40032к	СК - Пласт	п.м.	10	20	200
14	Кожух для трубы синий 20	SK40032с	СК - Пласт	п.м.	10	20	200
						Итого:	15 547

Рис. 8 Пример подключения радиатора с помощью фитинга VTm.282



Подводить теплоноситель к радиаторам без перекрещивания трубопроводов позволяют специальные фитинги, такие, например, как тройник с хромированной трубкой VTm. 282 (см. рис. 8).

Такие тройники выпускаются для металлополимерных и полимерных РЕХ труб 16x2 и 20x2 мм, причем, для того, чтобы не делать лишних соединений, имеются переходные тройники, у которых с одной стороны предусмотрено подключение к трубе 16x2, с другой стороны - 20x2.

Переходные тройники выпускаются в двух вариантах: левые и правые. Для подключения радиатора необходимы один левый и один правый тройник. Концевые радиаторы подключаются при помощи пресс-угольников VTm.281 (см. рис. 3).

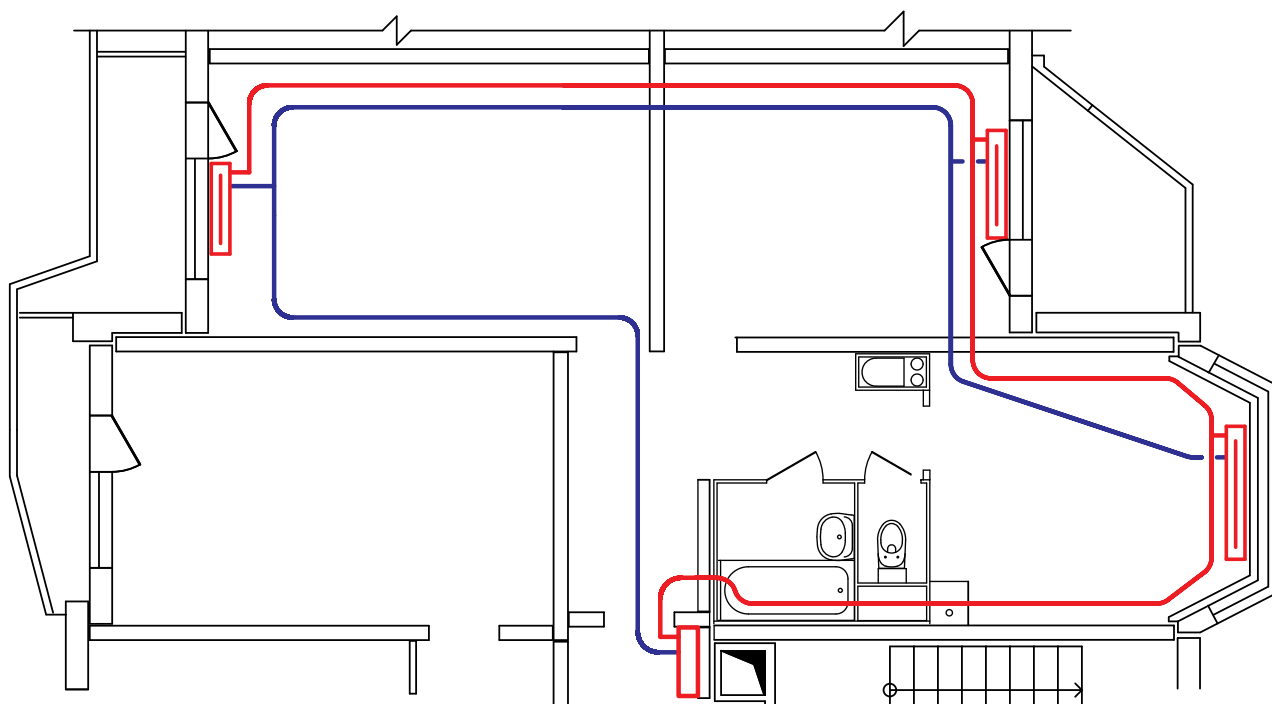
При устройстве подобной системы потребуется делать отверстия в стенах и перегородках для прокладки труб. В приведённом примере потребуется просверлить 5 отверстий. Этот факт требует учёта при сопоставлении стоимостей.

3

СИСТЕМА С ПОПУТНЫМ ДВИЖЕНИЕМ ТЕПЛОНОСИТЕЛЯ С ТРУБОПРОВОДАМИ В СТЯЖКЕ

Второе название этой системы – «система Тихельмана». Этот вариант (рис. 9) по стоимости и трудозатратам, практически, не отличается от предыдущего, но, с гидравлической точки зрения он позволяет легко сбалансировать, практически, любое количество отопительных приборов в ветке.

Рис. 9 Схема разводки трубопроводов с попутным движением теплоносителя



Гидравлический расчет такой схемы приведен в **приложении 1-В**. Как видно из этого расчёта, утверждение о том, что система с попутным движением теплоносителя «самобалансируется», не всегда корректно.

В приведенном примере разброс настройки радиаторных клапанов получился ещё значительнее, чем при тупиковой схеме. Дело в том, что в этих системах существенную часть от потерь давления составляют потери на самих радиаторных клапанах, а они, в свою очередь, зависят от мощности радиатора. Нередки случаи, когда в тупиковой системе при большом количестве радиаторов (более пяти) не удастся оптимально сбалансировать систему. У системы с попутным движением теплоносителя напротив, количество радиаторов на настройки не влияет, но зато существенно влияет разница в мощности отопительных приборов.

Исходя из вышесказанного можно сделать вывод, что попутная система эффективна при количестве радиаторов в ветке более пяти или (при меньшем количестве радиаторов) при разнице в тепловой мощности радиаторов не более 50%.

4

ДВУХТРУБНАЯ ТУПИКОВАЯ СИСТЕМА С ПРОКЛАДКОЙ ТРУБОПРОВОДОВ В ПЛИНТУСЕ

Часто случается, что на объекте нет возможности расположить трубопроводы в стяжке пола. В этом случае решением проблемы может служить плинтусная разводка трубопроводов. По конструктивному решению и расчёту подобное решение аналогично схеме, представленной на **рисунке 7**. Отличие состоит лишь в способе прокладки трубопроводов и фитингов.

Трубы при прокладке за плинтусом (**см. рис. 10**) крепятся к стене через 40-50 см хомутами. На углах поворота, как внутренних, так и внешних, используются пресс-угольники.

Для подключения радиаторов в этой схеме применяются специальные разборные фитинги VTm.233.I (**рис. 11; 14**) и VTm.253.I (**рис. 12**), а также отвод из нержавеющей стали VTi.960 (**рис. 13**).

Номенклатура фитингов VTm.233.I включает в себя также и переходные тройники (с трубы 16x2 на 20x2), что позволяет обойтись без дополнительных переходников.

Рис. 10 Плинтусная прокладка трубопроводов



Рис. 11 Фитинг VTm.233.I



Рис. 12 Фитинг VTm.253.I



Рис. 13 Отвод VTi.960



Рис. 14 Подключение прибора с помощью фитингов VTm.233.I и отвода VTi.960



Таблица 3 Спецификация к схеме на рисунке 7 при использовании плинтусной разводки

№	Наименование и техническая характеристика	Тип, марка	Бренд	Ед. изм.	Кол-во	Цена, руб.	Стои-сть, руб.
1	Металлопластиковая (металлополимерная) труба VALTEC PEX-AL-PEX 16x2,0 мм	V1620	VALTEC	п.м.	35	55	1925
2	Металлопластиковая (металлополимерная) труба VALTEC PEX-AL-PEX 20x2,0 мм	V2020	VALTEC	п.м.	20	83	1660
3	Узел термостатический для нижнего подключения радиатора 100%	VT.225K.N.E 04100	VALTEC	шт.	3	1541	4623
4	Трубка соединительная из нержавеющей стали	VT.AD304.0. 1000	VALTEC	шт.	2	518	1036
5	Головка термостатическая твердотельная	VT.1000.0	VALTEC	шт.	3	528	1584
6	Пресс-тройник тройник с переходом на обжим 16x15x16	VTm.233.I. 161516	VALTEC	шт.	2	219	438
7	Пресс-тройник тройник с переходом на обжим 20x15x16	VTm.233.I. 201516	VALTEC	шт.	2	315	630
8	Пресс-тройник угольник с переходом на обжим 16x15	VTm.253.I. 1615	VALTEC	шт.	2	145	290
9	Трубка-отвод 90° из нержавеющей стали L 250	VTi.960	VALTEC	шт.	6	215	1290
10	Фитинг коллекторный для медной трубы	VT.4430.NE	VALTEC	шт.	6	111	666
11	Кронштейн для труб пластиковый 16	OSKM00016	КЗПК	шт.	70	1,7	119,00
12	Кронштейн для труб пластиковый 20	OSKM00016	КЗПК	шт.	40	2	80,00
						Итого:	14 341

Рис. 15 Плинтус из деревянного уголка (стоимость плинтуса с учетом покраски 180 руб. за погонный метр)



Как видно из **таблицы 3**, если учитывать стоимость только инженерного оборудования, то цена прокладки трубопроводов в стяжке пола и в плинтусах не сильно отличается (15547 руб. и 14341 руб. – 8%). Поэтому, в случае выбора между этими двумя вариантами, можно руководствоваться стоимостью стяжки и стоимостью плинтусов. Разброс цен на стяжки и плинтусы значительно варьируется в зависимости от используемых материалов, технологии и региона строительства. Поэтому окончательное технико-экономическое сравнение должно быть выполнено для каждого случая индивидуально.

Стоимость стяжки за квадратный метр сейчас в среднем составляет от 400 до 900 рублей за м². Стоимость плинтуса для трубопровода составляет от 200 до 600 рублей за погонный метр (**см. рис. 15**).

Гидравлический расчёт такой системы не отличается от расчета, приведенного в **приложении 1-Б**. Разница заключается только в коэффициентах местных сопротивлений фитингов (**см. приложение 2-А**).

Выше описан пример плintусной разводки с установкой радиаторного узла VT.225K. Однако, предлагаемая система позволяет использовать не только радиаторный узел, но и отдельные термостатические и настроечные клапаны, например, комплект VT.045.N (рис. 16).

Для подвода теплоносителя к верхнему клапану используется отвод из нержавеющей стали VTi.960 с длиной 600 мм (рис. 17).

Спецификация для схемы с использованием комплекта VT.045 приведена в таблице 4.

Система получается значительно дешевле, однако монтаж отдельно термостатического и настроечного клапана займет больше времени. Гидравлический расчет системы с комплектами VT.045 приведен в приложении 1-Г.

Вместо термостатического и настроечного клапанов можно установить один термостатический клапан с предварительной настройкой (см. рис. 18).

На выходе из радиатора в этом случае достаточно установить шаровой кран.

Рис. 16 Терморегулирующий радиаторный комплект VT.045



Рис. 17 Подключение радиатора с использованием комплекта VT.045



Рис. 18 Термостатический клапан с преднастройкой VT.037



Таблица 4 Спецификация к схеме рисунок 7 при использовании комплектов VT.045

№	Наименование и техническая характеристика	Тип, марка	Бренд	Ед. изм.	Кол-во	Цена, руб.	Стои-сть, руб.
1	Металлопластиковая (металлополимерная) труба VALTEC PEX-AL-PEX 16x2,0 мм	V1620	VALTEC	п.м.	35	55	1925
2	Металлопластиковая (металлополимерная) труба VALTEC PEX-AL-PEX 20x2,0 мм	V2020	VALTEC	п.м.	20	83	1660
3	Пресс-тройник тройник с переходом на обжим 16x15x16	VTm.233.I.161516	VALTEC	шт.	2	219	438
4	Пресс-тройник тройник с переходом на обжим 20x15x16	VTm.233.I.201516	VALTEC	шт.	2	315	630
5	Пресс-тройник угольник с переходом на обжим 16x15	VTm.253.I.1615	VALTEC	шт.	2	145	290
6	Трубка-отвод 90° из нержавеющей стали L 250	VTi.960	VALTEC	шт.	3	215	645
7	Трубка-отвод 90° из нержавеющей стали L 700	VTi.960	VALTEC	шт.	3	298	894
8	Фитинг коллекторный для медной трубы	VT.4430.NE	VALTEC	шт.	6	111	666
9	Комплект термо. клапан, термоголовка и настроечный клапан угловой	VT.045.N.04	VALTEC	шт.	3	1141	3423
10	Ниппель с переходом на евроконус	VTr.580.NE.040E	VALTEC	шт.	6	89	534
11	Кронштейн для труб пластиковый 16	OSKM00016	КЗПК	шт.	70	1,7	119
12	Кронштейн для труб пластиковый 20	OSKM00016	КЗПК	шт.	40	2	80
						Итого:	11 304

Рис. 19 Схема разводки трубопроводов при коллекторно-лучевой системе

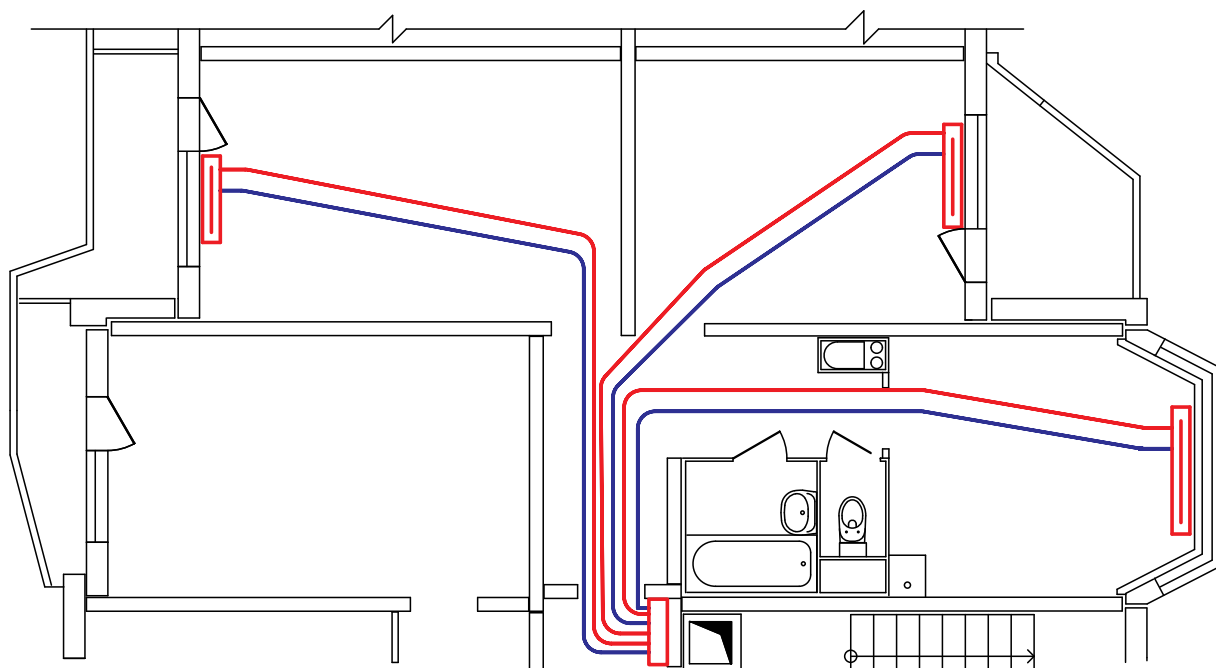


Рис. 20 Подключение радиаторов при коллекторно-лучевой схеме



Рис. 21 Коллекторный шкаф с узлом учета тепловой энергии



5

КОЛЛЕКТОРНО-ЛУЧЕВАЯ СИСТЕМА

Одной из самых распространённых в настоящее время горизонтальных систем квартирного отопления является коллекторно-лучевая система (рис. 19), в которой трубопроводы прокладываются в стяжке пола, при этом к каждому радиатору подводится пара трубопроводов непосредственно от коллектора.

Такая система наиболее проста в монтаже, однако, капитальные затраты на её устройство оказываются больше, чем на предыдущие, из-за повышенного расхода труб и дополнительных расходов на коллекторный узел.

Так как трубы прокладываются в стяжке пола, то подключение к радиатору рекомендуется выполнять угольниками VTm.281.N. Управление температурой воздуха в такой системе осуществляется при помощи термостатических клапанов.

Металлопластиковые и PEX трубы должны прокладываться либо в защитном гофрированном кожухе, либо в теплоизоляции (см. рис. 20).

Одним из несомненных достоинств данной системы является то, что коллекторный узел может быть совмещен с узлом учета тепловой энергии в едином коллекторном шкафу (см. рис. 21).

В этом случае решается вопрос о месте расположения теплосчётчиков и их подключении. Кроме того, такая система более гидравлически устойчива по сравнению с предыдущими.

При наличии на коллекторе перепускного клапана (см. рис. 22) или регулятора перепада давления, отключение какого либо прибора не влияет на режим работы оставшихся приборов.

Как видно из **таблицы 5**, данная система дороже аналогичных тупиковых и попутных схем. К преимуществам такой схемы можно отнести относительную простоту монтажа и низкие потери давления в системе.

Гидравлический расчёт коллекторно-лучевой системы приведен в **приложении 1-Д**.

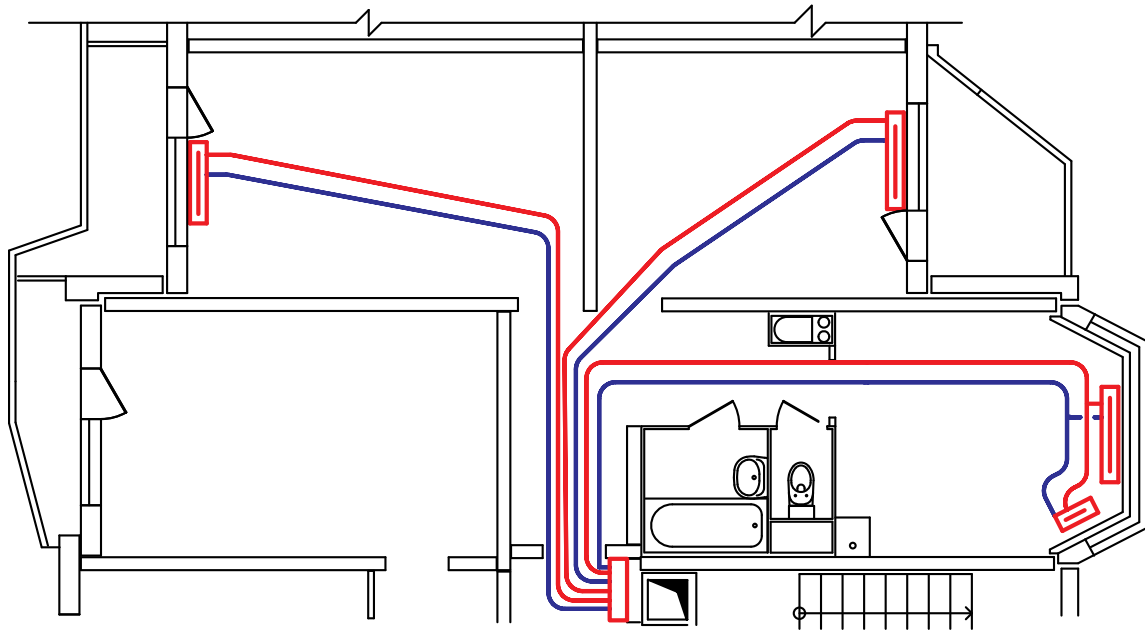
Рис. 22 Коллекторный шкаф с узлом учета и перепускным клапаном



Таблица 5 Спецификация к коллекторно-лучевой системе

№	Наименование и техническая характеристика	Тип, марка	Бренд	Ед. изм.	Кол-во	Цена, руб.	Стои-сть, руб.
1	Металлопластиковая (металлополимерная) труба VALTEC PEX-AL-PEX 16x2,0 мм	V1620	VALTEC	п.м.	61	55	3355
2	Кожух для трубы красный 16	SK40025к	СК-Пласт	п.м.	30,5	15	457,5
3	Кожух для трубы красный 20	SK40032к	СК-Пласт	п.м.	30,5	20	610
4	Узел термостатический для нижнего подключения радиатора 100%	VT.225K.N.E04100	VALTEC	шт.	3	1541	4623
5	Трубка соединительная из нержавеющей стали	VT.AD304.0.1000	VALTEC	шт.	2	518	1036
6	Головка термостатическая твердотельная	VT.1000.0	VALTEC	шт.	3	528	1584
7	Пресс-фитинг – угольник с хромированной трубкой 16x2 L=300	VTm.281.N.001615	VALTEC	шт.	6	494	2964
8	Фитинг коллекторный для медной трубы	VT.4430.NE	VALTEC	шт.	6	111	666
9	Коллектор из нержавеющей стали 1",3x3/4"	VTc.505.SS.060503	VALTEC	шт.	2	971	1942
10	Тройник коллекторный 1" x 1/2" x 1/2"	VTc.530.N.060404	VALTEC	шт.	2	175	350
11	Кронштейны для крепления коллекторов	VTc.130.N.0600	VALTEC	шт.	2	391	782
12	Воздухоотводчик автоматический	VT.502.NH.04	VALTEC	шт.	2	260	520
13	Клапан отсекающий	VT.539.N.04	VALTEC	шт.	2	68	136
14	Кран дренажный	VT.430.N.04	VALTEC	шт.	2	229	458
15	Шкаф коллекторный (размер только под коллектор, без учета доп. элементов)	ШРН1	VALTEC	шт.	1	1774	1774
16	Фитинг коллекторный для металлопластиковой трубы Евроконус-16x2.0	VT.4420.NE.16	VALTEC	шт.	6	164	984
						Итого:	21 257

Рис. 23 Пример комбинированной схемы системы отопления



6

КОМБИНИРОВАННАЯ СИСТЕМА

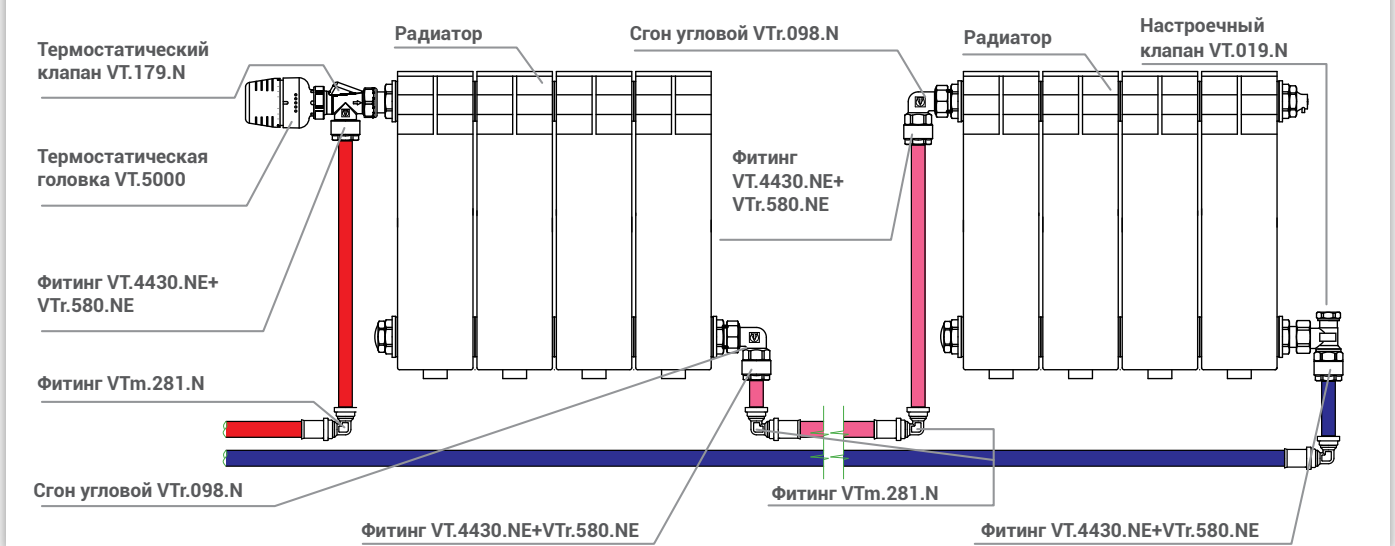
Когда в одном помещении располагаются несколько отопительных приборов, нецелесообразно вести для каждого прибора отдельную ветку при коллекторно-лучевой схеме. Рациональнее до каждого помещения доводить отдельную ветку от коллектора, которая уже в помещении делится на несколько радиаторов по тупиковой или попутной схеме (рис. 23).

Расчёт такой схемы ведётся точно так же, как и обычной лучевой системы, но при этом каждая ветка, подводящая теплоноситель к нескольким приборам, рассчитывается отдельно, как тупиковая или попутная. Если при данной схеме отопительные

приборы, находящиеся в одном помещении, имеют терморегуляторы (термостатические узлы или клапаны), настроенные на разную температуру, то температурный режим в помещении будет нестабилен.

Существует решение, которое позволяет не только избавиться от проблемы нестабильности, но и снизить затраты на подключение приборов. На (рис. 24) представлена «проходная» схема подключения. Термостатический клапан монтируется только у первого отопительного прибора. Таким образом, один терморегулятор регулирует расход теплоносителя сразу через несколько радиаторов. Отопительные приборы в этом случае рассчитываются, как единый большой прибор. Однако, если мощность приборов велика, то могут возникнуть сложности в балансировке системы.

Рис. 24 Последовательное подключение приборов при комбинированной схеме



При использовании коллекторно-лучевой системы можно организовать регулирование подачи теплоносителя в радиаторы при помощи автоматики (рис. 25).

В этом случае, сервоприводы, управляемые комнатными термостатами (рис. 26), располагаются в коллекторном шкафу, а радиаторы подключаются к трубопроводам без какой либо радиаторной арматуры, или через шаровые краны.

Капитальные затраты на такую систему будут несомненно выше (см. таблицу 6), но и уровень комфорта существенно возрастает. Пользователь сможет задавать желаемую температуру воздуха в помещении и визуально её контролировать. При использовании хронотермостатов имеется возможность задавать недельную программу регулирования температуры воздуха в зависимости от дня недели и времени суток.

С точки зрения расчёта эта система не отличается от обычной лучевой, за исключением того, что регулирующий и настроечный клапаны находятся на коллекторе, и их характеристики следует брать из технической документации коллектора (см. приложение 2-Д).

Рис. 25 Коллекторный узел с функцией терморегулирования



Рис. 26 Комнатный термостат VT.AC709



Таблица 6 Спецификация к рисунку 19 при использовании сервоприводов и термостатов

№	Наименование и техническая характеристика	Тип, марка	Бренд	Ед. изм.	Кол-во	Цена, руб.	Стоимость, руб.
1	Металлопластиковая (металлополимерная) труба VALTEC PEX-AL-PEX 16x2,0 мм	V1620	VALTEC	п.м.	61	55	3355
2	Кожух для трубы красный 16	SK40025к	СК-Пласт	п.м.	30,5	15	457,5
3	Кожух для трубы красный 20	SK40032к	СК-Пласт	п.м.	30,5	20	610
4	Сгон угловой разъемный 1/2"	VTr.098.N.0004	VALTEC	шт.	6	169	1014
5	Пресс-фитинг – угольник с хромированной трубкой 16x2 L=300	VTm.281.N.001615	VALTEC	шт.	3	494	1482
6	Пресс-фитинг – угольник с хромированной трубкой 16x2 L=700	VTm.281.N.001615	VALTEC	шт.	3	584	1752
7	Фитинг коллекторный для медной трубы	VT.4430.NE	VALTEC	шт.	6	111	666
8	Коллекторный блок 1",3x3/4"	VTr.594.EMNX.0603	VALTEC	шт.	2	6491	12982
9	Шкаф коллекторный (размер только под коллектор, без учета доп. элементов)	ШРН1	VALTEC	шт.	1	1774	1774
10	Ниппель с переходом на евроконус	VTr.580.NE.040E	VALTEC	шт.	6	89	534
11	Термостат комнатный 220В	VT.AC601.0.0	VALTEC	шт.	4	1081	4324
12	Сервопривод электротермический нормально закрытый 220В	VT.TE3042.0.220	VALTEC	шт.	3	1856	5568
13	Фитинг коллекторный для металлопластиковой трубы Евроконус-16x2.0	VT.4420.NE.16	VALTEC	шт.	6	164	984
						Итого:	35 502

Рис. 27 Однотрубная горизонтальная система

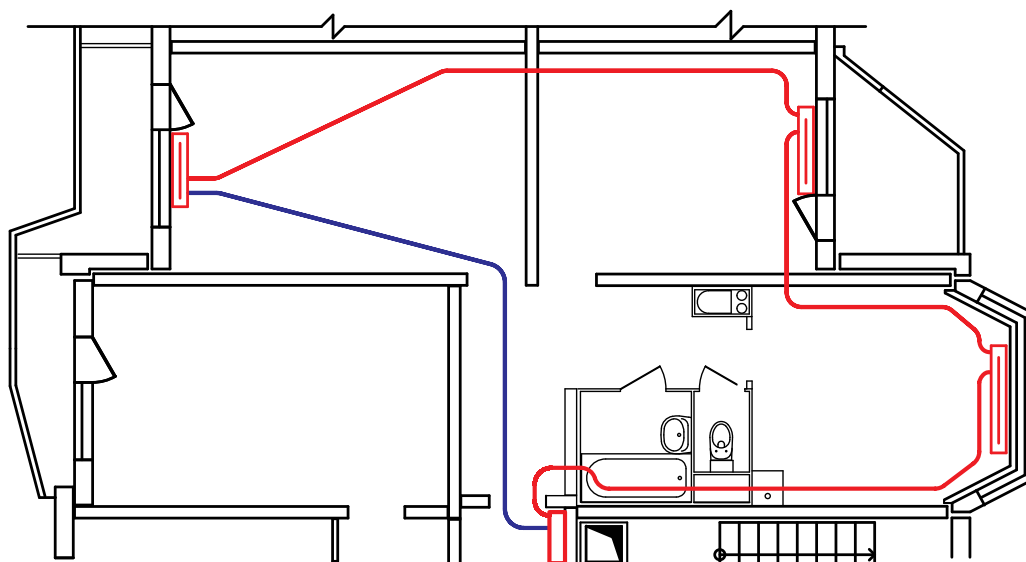
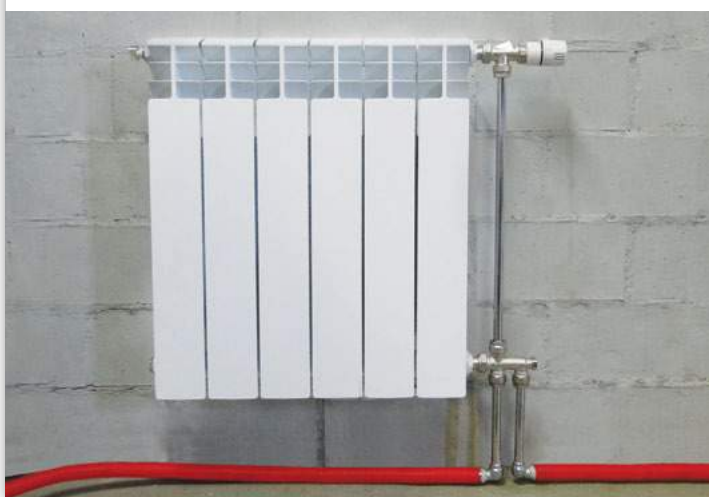


Рис. 28 Подключение радиатора в однотрубной схеме



8

ОДНОТРУБНАЯ ГОРИЗОНТАЛЬНАЯ СИСТЕМА

Эта система незаслуженно обходится вниманием при проектировании современных зданий, хотя она имеет ряд преимуществ по сравнению с двухтрубными схемами. Однотрубная система (рис. 27) является одной из самых экономичных и гидравлически устойчивых систем. За счет постоянной циркуляции теплоносителя при данной схеме обеспечивается стабильный расход через расходомер теплосчетчика, исключая его работу в зоне нечувствительности.

Радиаторы при однотрубной горизонтальной системе можно подключать при помощи фитингов VTm.281 (рис. 28) или, при плинтусной разводке – VTm 263.I.

Таблица 7 Спецификация к схеме на рисунке 27

№	Наименование и техническая характеристика	Тип, марка	Бренд	Ед. изм.	Кол-во	Цена, руб.	Стои-сть, руб.
1	Металлопластиковая (металлополимерная) труба VALTEC PEX-AL-PEX 20x2,0 мм	V2020	VALTEC	п.м.	28	83	2324
2	Узел термостатический для нижнего подключения радиатора 50%	VT.225K.N.E04050	VALTEC	шт.	3	1618	4854
3	Трубка соединительная из нержавеющей стали	VT.AD304.0.1000	VALTEC	шт.	2	518	1036
4	Головка термостатическая твердотельная	VT.1000.0	VALTEC	шт.	3	528	1584
5	Пресс-тройник угольник с переходом на обжим 20x15	VTm.253.I.2015	VALTEC	шт.	6	145	870
6	Трубка-отвод 90° из нержавеющей стали L 250	VTi.960	VALTEC	шт.	6	215	1290
7	Фитинг коллекторный для медной трубы	VT.4430.NE	VALTEC	шт.	6	111	666
						Итого:	12 624

К недостаткам «однотрубки» иногда относят сложность подбора отопительных приборов. Дело в том, что типоразмер отопительного прибора в такой схеме зависит от коэффициента затекания радиаторного узла.

В старых системах радиаторные узлы с байпасами монтировались на месте из стальных труб, и их характеристики очень сильно отличались друг от друга. Где-то сварщик сделает наплыв внутри байпаса, где-то не выдержано расстояние от стояка до байпаса, и фактический коэффициент увеличится или уменьшится.

Стоит ли говорить, что реальные коэффициенты затекания таких узлов сильно отличались от тех, что принимал проектировщик по таблицам.

Сейчас для однотрубных систем используются специальные узлы, изготавливаемые в заводских условиях. Коэффициент затекания таких узлов четко определен в ходе заводских испытаний. Кроме того, он зачастую может регулироваться, позволяя настраивать каждый узел индивидуально.

Одним из примеров таких узлов является узел VT.225K 50%. Отличительной особенностью его от узла VT.225K 100% является то, что в его конструкцию встроен байпас (рис. 29).

Пропускная способность байпаса (позиция 6 рис. 29) фиксирована и равна $1\text{ м}^3/\text{час}$. Пропускная способность узла на проход воды через радиатор зависит от положения настроечного клапана (поз. 3 рис. 29) и находится в пределах от 0 до $1\text{ м}^3/\text{час}$ (при снятой термоголовке).

То есть, при полностью открытом настроечном клапане пропускные способности узла через байпас и через радиатор будут равны. А следовательно, поток теплоносителя через данный узел будет делиться пополам. По мере закрытия клапана пропускная способность через радиатор будет снижаться, вместе с ней будет снижаться и коэффициент затекания от 0,5 до 0.

Рис. 29 Схема узла VT.225K 50%

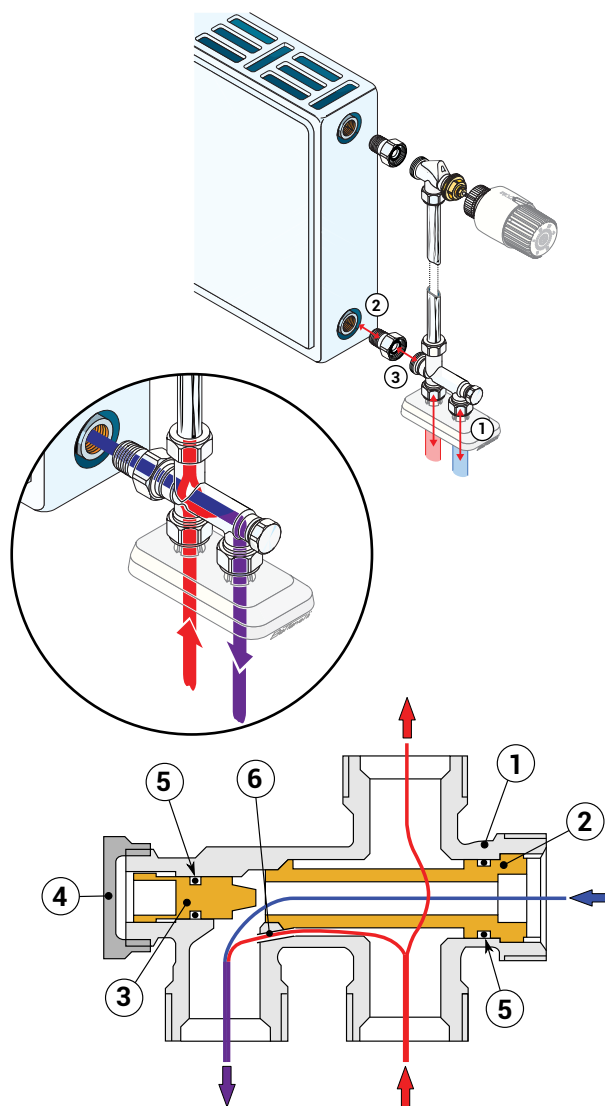


Рис. 30 Пример несоответствия длины прибора ширине проёма



При подборе отопительных приборов в современных домах часто бывает ситуация, при которой длина выбранных отопительных приборов значительно меньше ширины оконного проёма (рис. 30).

В соответствии с п. 6.4.4 СП 60.13330.2012 «Длину отопительного прибора следует определять расчетом и принимать не менее 75% длины светового проема (окна) в больницах, детских дошкольных учреждениях, школах, домах для престарелых и инвалидов и 50% - в жилых и общественных зданиях».

В двухтрубной системе установка отопительного прибора с площадью поверхности теплоотдачи, превышающей в 1,5 раза требуемую, приведет к некорректной работе всей системы. При использовании узлов типа VT.225K 50% в однотрубных схемах этой проблемы можно избежать. Теплоотдача отопительного прибора зависит от средней температуры отопительного прибора и расхода теплоносителя через него. На оба этих параметра влияет коэффициент затекания, который можно настроить при помощи регулировки узла. Если длина отопительного прибора получается слишком мала, то можно рассчитать отопительный прибор «обратным» способом, то есть, задаться оптимальной длиной, и уже исходя из этой длины вычислить коэффициент затекания и настройку узла.

Пример подбора радиаторов для однотрубной системы приведен в **приложении 1-Е**.

Пример гидравлического расчета однотрубной системы приведен в **приложении 1-Ж**.

Однотрубные системы обеспечивают стабильную работу термостатических клапанов и теплосчётчиков. Радиаторные терморегуляторы открываются и закрываются, постоянно меняя гидравлическую характеристику системы. Таким образом, уменьшение расхода теплоносителя на одном участке может привести к увеличению расхода на другом. Для стабилизации давлений и расходов в двухтрубных системах используется комплекс устройств, такие как стабилизаторы перепада давления, стабилизаторы-ограничители расхода, перепускные клапаны и пр. В однотрубной системе радиаторные клапаны, практически, не влияют друг на друга. Даже если на каком то участке будут перекрыты радиаторные клапаны,

то теплоноситель все равно будет идти по этому участку, но уже через байпас. Таким образом, в однотрубной системе отопления не требуется сложного оборудования стабилизирующего давление и расход.

Кроме того, в двухтрубных системах отопления существует определенная проблема, связанная с тем, что такая система может работать в режиме, при котором теплосчётчик не учитывает потребляемую тепловую энергию. Дело в том, что у любого счётчика есть такой показатель как «порог чувствительности». Это расход теплоносителя, ниже которого счётчик не фиксирует расход теплоносителя, а следовательно, и тепловую энергию. Как правило, квартирные теплосчётчики имеют порог чувствительности порядка 3-7 л/час. Казалось бы, немного, но при таких низких расходах температура теплоносителя в обратном трубопроводе опускается ниже расчётного значения, а теплопотребление квартиры в таком режиме может достигать 100-300 Вт. Эту потреблённую тепловую энергию в двухтрубной системе теплосчётчик учитывать не будет.

В однотрубной схеме, даже если все радиаторные клапана перекрыты, теплоноситель все равно будет циркулировать через байпас. Расход теплоносителя по контуру квартиры в такой системе не может снизиться более чем на 40%, и через теплосчётчик в любом режиме будет проходить расход большой порога чувствительности расходомера. Однако, при такой организации отопления есть и недостатки. Теплоноситель, который циркулирует по трубопроводам так или иначе также нагревает помещение. В зависимости от толщины изоляции и способа прокладки труб теплоотдача от трубопроводов может варьироваться от 3 Вт до 10 Вт на 1 погонный метр. Из-за этого в теплые дни может возникать эффект «перетопа», когда все отопительные приборы выключены, но тепловая энергия все равно поступает в помещение от трубопроводов.

Для того, чтобы исключить такую ситуацию, VALTEC предлагает универсальные квартирные станции Control Modul (**рис. 31**).

Эти станции могут использоваться как в однотрубной, так и в двухтрубной системе отопления. Основное их назначение — это настройка, регулирование и учет тепловой энергии, потребляемой квартирой. Для предотвращения эффекта «перетопа» данная станция снабжена трёхходовым клапаном, который оснащается сервоприводом.

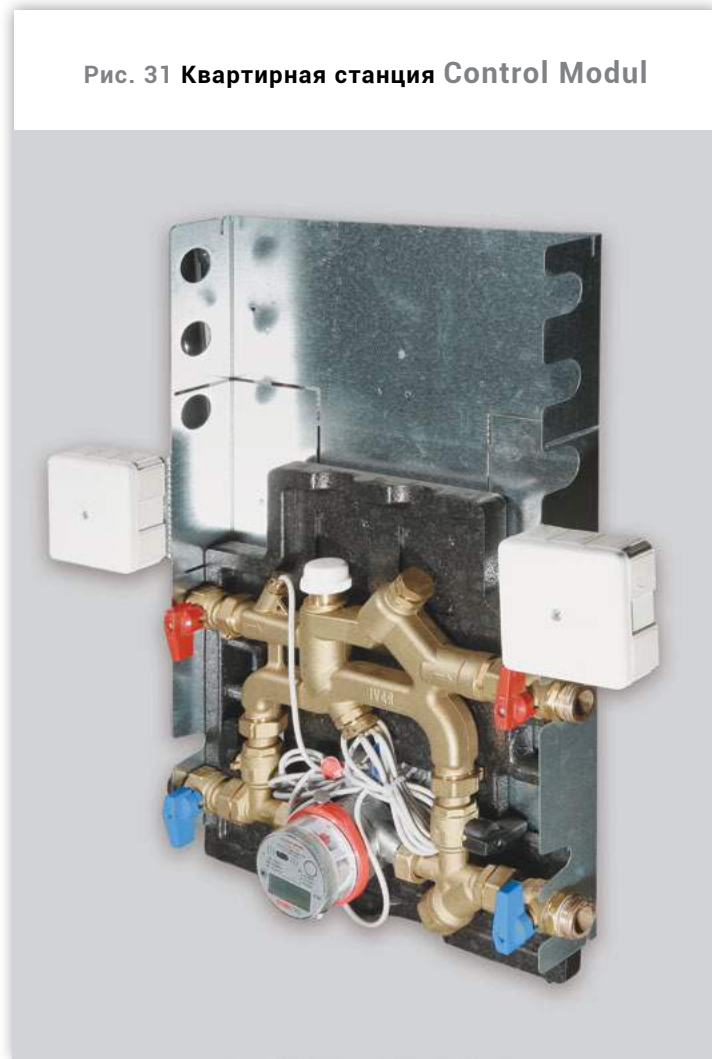
В этом случае квартира оснащается термостатом, на котором потребитель устанавливает максимально допустимую температуру воздуха в квартире. В случае, если в квартире температура воздуха поднимется выше, станция полностью перекроет подачу теплоносителя в квартиру и пустит его по байпасу в обратный трубопровод. Такое решение позволяет поддерживать постоянный расход воды по стоякам систем отопления, что, в свою очередь, избавляет от необходимости установки автоматических регуляторов расхода.

При помощи двух балансировочных клапанов станции можно настраивается требуемый расход теплоносителя в режиме теплопотребления и в «байпасном» режиме, так, чтобы они были равны.

Получается, что, в каком бы положении ни находился регулировочный клапан, расход теплоносителя через квартиру будет неизменен, а, следовательно, и расходы по стоякам не будут изменяться.

При установке в квартире хронотермостата (термостата, программируемого на поддержание определенной температуры в определенное время), жилец имеет возможность существенно сократить расходы на отопление.

Рис. 31 Квартирная станция Control Modul



ЗАКЛЮЧЕНИЕ.

В данной статье рассмотрены различные варианты организации системы отопления при горизонтальной разводке. Конечно, были описаны не все возможные конструктивные решения организации квартирного отопления. Мы старались показать наиболее эффективные, с точки зрения экономичности и трудоёмкости схемы, которые применяются в массовом строительстве.

Грамотный подход к выбору подобных систем может обеспечить как снижение капитальных затрат на систему отопления, так и повышения класса комфортности проектируемого здания.

Приведенные примеры, это лишь малая часть технико-экономического сравнения, которое проводили специалисты VALTEC совместно с проектировщиками МНИИТЭП для внедрения решения горизонтальных схем отопления в типовую серию П44Т.

Для домов этой серии выбор был сделан в пользу плинтусной тупиковой системы. Однако, для каждого конкретного здания оптимальное решение может быть иным. На сегодняшний день не существует универсального решения, отвечающего запросам всех участников инвестиционного процесса. Именно в этом и заключается задача проектировщиков - в каждом конкретном случае найти самое оптимальное решение и внедрить его.

1. ДВУХТРУБНАЯ ТУПИКОВАЯ.

Рекомендована при общем расходе теплоносителя в ветке менее 400 кг/час (9 кВт при $\Delta t=20$), а также при небольшом количестве отопительных приборов в ветке (менее 6). Если приборов больше то можно применить попутную схему распределения теплоносителя.

2. ДВУХТРУБНАЯ С ПОПУТНЫМ ДВИЖЕНИЕМ ТЕПЛОНОСИТЕЛЯ.

Рекомендована при общем расходе теплоносителя в ветке менее 400 кг/час а также если мощность самого маленького прибора отличается от самого большого не более чем на 50%. (В случае если мощности всех приборов совпадают допускается подключение, практически, неограниченного количества приборов).

3. ДВУХТРУБНАЯ РАЗВЕТВЛЕННАЯ.

Рекомендована в том случае, если в квартире присутствует большое количество отопительных приборов (более 6) и разброс мощности отопительных приборов больше 50%, а также в случае если периметр квартиры слишком велик (более 150 метров) для организации тупиковой или попутной схемы.

4. КОЛЛЕКТОРНО-ЛУЧЕВАЯ.

Рекомендована в том случае, если общий расход теплоносителя на квартиру более 400 кг/час. Устройство лучевой схемы позволит избежать применения больших диаметров труб в квартирных системах.

5. КОМБИНИРОВАННАЯ.

Применяется в тех же случаях, что и предыдущая, если в одном или нескольких помещениях установлено более одного отопительного прибора.

6. КОЛЛЕКТОРНО-ЛУЧЕВАЯ С УПРАВЛЕНИЕМ НА КОЛЛЕКТОРЕ.

Применяется там, где требуется обеспечить повышенный уровень комфорта в помещениях.

7. ОДНОТРУБНАЯ.

Оптимальна при расходе теплоносителя по ветке менее 300 кг/час и расчётной температуре теплоносителя 90°C и выше.

Жигалов Д.В.

ПРИЛОЖЕНИЕ 1. ПРИМЕРЫ РАСЧЕТОВ ГОРИЗОНТАЛЬНЫХ СИСТЕМ ОТОПЛЕНИЯ.

1-А

ОБЩИЕ ПРИНЦИПЫ ГИДРАВЛИЧЕСКОГО РАСЧЕТА

ГИДРАВЛИЧЕСКИЙ РАСЧЕТ ГОРИЗОНТАЛЬНОЙ СИСТЕМЫ ОТОПЛЕНИЯ МОЖНО РАЗДЕЛИТЬ НА 6 ЭТАПОВ:

■ **Этап 1.** Определение расхода теплоносителя через приборы и участки.

Расход воды по каждому участку, а также через каждый радиатор рассчитывается **по формуле**:

$$G = \frac{Q}{c \cdot (t_1 - t_2)} \cdot 3600; [\text{кг/час}]$$

Где **Q** – мощность отопительного прибора в случае, если расход считается для отопительного прибора или суммарная мощность отопительных приборов, подключенных к данному участку [Вт];

c – удельная теплоёмкость теплоносителя (для воды **c=4,187** кДж/(кг·К))

t₁ – расчётная температура теплоносителя в подающем трубопроводе [°C];

t₂ – расчётная температура теплоносителя в обратном трубопроводе [°C];

■ **Этап 2.** Определение диаметров трубопроводов.

Диаметры труб для каждого участка можно назначать по предлагаемой номограмме или по гидравлическим таблицам. Рекомендуется подбирать минимальный диаметр трубы, при котором удельные потери давления составляют не более 300 Па/м. При этом скорость теплоносителя не должна превышать 1,5 м/с.

■ **Этап 3.** Определение скорости теплоносителя по участкам.

Скорость движения теплоносителя на участке определяется **по формуле**:

$$v_i = \frac{G_i \cdot 4 \cdot 10^6}{3600 \cdot \rho \cdot \pi \cdot d_i^2}; [\text{м/с}]$$

Где **G_i** – расход теплоносителя на участке, кг/с;

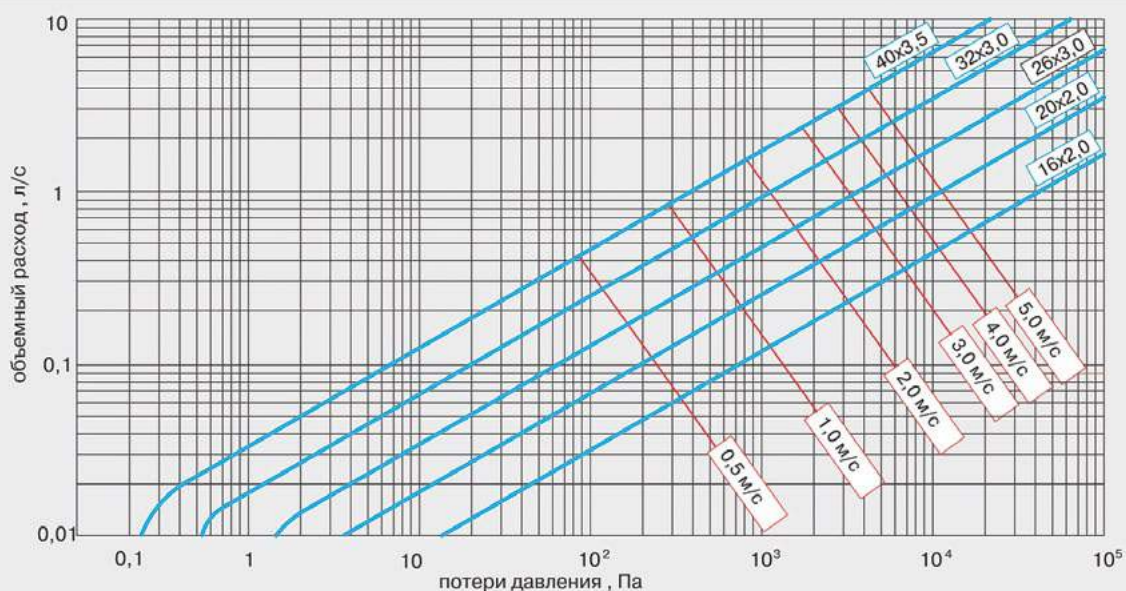
ρ – плотность теплоносителя (для воды с температурой 70°C **ρ=970** кг/м³);

d_i – внутренний диаметр трубы на участке (для труб 16x2 **d=12**мм; 20x2 **d=16** мм).

■ **Этап 4.** Определение суммы коэффициентов местных сопротивлений (КМС) по каждому циркуляционному кольцу.

Коэффициенты местных сопротивлений элементов гидравлических систем принимаются по гидравлическим таблицам и справочникам. КМС радиаторных фитингов и узлов подключения радиаторов приведены в **приложении 2**.

Номограмма определения потерь давления в металлополимерных трубах



■ **Этап 5. Определение потерь давления в циркуляционных кольцах.**

Потери давления в каждом циркуляционном кольце рассчитываются **по формуле**:

П.3

$$\Delta P_k = \left(\frac{G}{k_v \cdot \rho} \right)^2 \cdot 10^5 + \sum (dp_i \cdot L_i) + \sum \left(\xi_i \cdot \frac{v_i^2 \cdot \rho}{2} \right); [\text{Па}]$$

Где **G** – расход теплоносителя через участок или прибор, кг/час;

k_v – пропускная способность радиаторного клапана, м³/час;

ρ – плотность теплоносителя, кг/м³;

dp_i – удельные линейные потери давления, Па/м;

L_i – длина трубопровода на участке (прямой и обратный трубопровод), м;

ξ_i – коэффициент местного сопротивления каждого элемента участка;

v_i – скорость теплоносителя на участке, м/с.

В случае, если в коллекторном шкафу или в квартирной станции планируется установка нерегулируемого перепускного клапана или регулятора перепада давления с фиксированной настройкой, этот шаг пропускается, и потери давления принимаются равными значению настройки данного клапана (для квартир обычно принимается 20 кПа).

■ **Этап 6. Расчёт настройки радиаторных клапанов.**

Радиаторные клапаны настраиваются таким образом, чтобы потери давления во всех циркуляционных кольцах были равны расчётному падению давления в системе с точностью ±10%. Радиаторный клапан расчетного циркуляционного кольца должен быть настроен на максимальную пропускную способность (для узла VT.225K это **позиция 9**).

При наличии на вводе в квартиру регулятора перепада давлений или перепускного клапана, расчет настройки необходим для всех радиаторных клапанов.

Настроечная позиция клапана определяется исходя из его требуемой пропускной способности **K_v^{mp}**.

Для этого сначала вычисляется требуемый перепад давления на каждом клапане **по формуле**:

П.4

$$\Delta P^{mp} = \Delta P^p - \Delta P_k + \left(\frac{G^{np}}{k_{vs} \cdot \rho} \right) \cdot 10^5; [\text{Па}]$$

Где **ΔP^p** – расчётное падение давления в системе отопления квартиры, Па;

ΔP_k – падение давления на циркуляционном кольце данного отопительного прибора, Па;

G^{np} – расход теплоносителя через данный прибор, кг/с;

K_{vs} – максимальная пропускная способность клапана, м³/час;

ρ – плотность теплоносителя, кг/м³.

А затем вычисляется требуемая пропускная способность клапана **по формуле**:

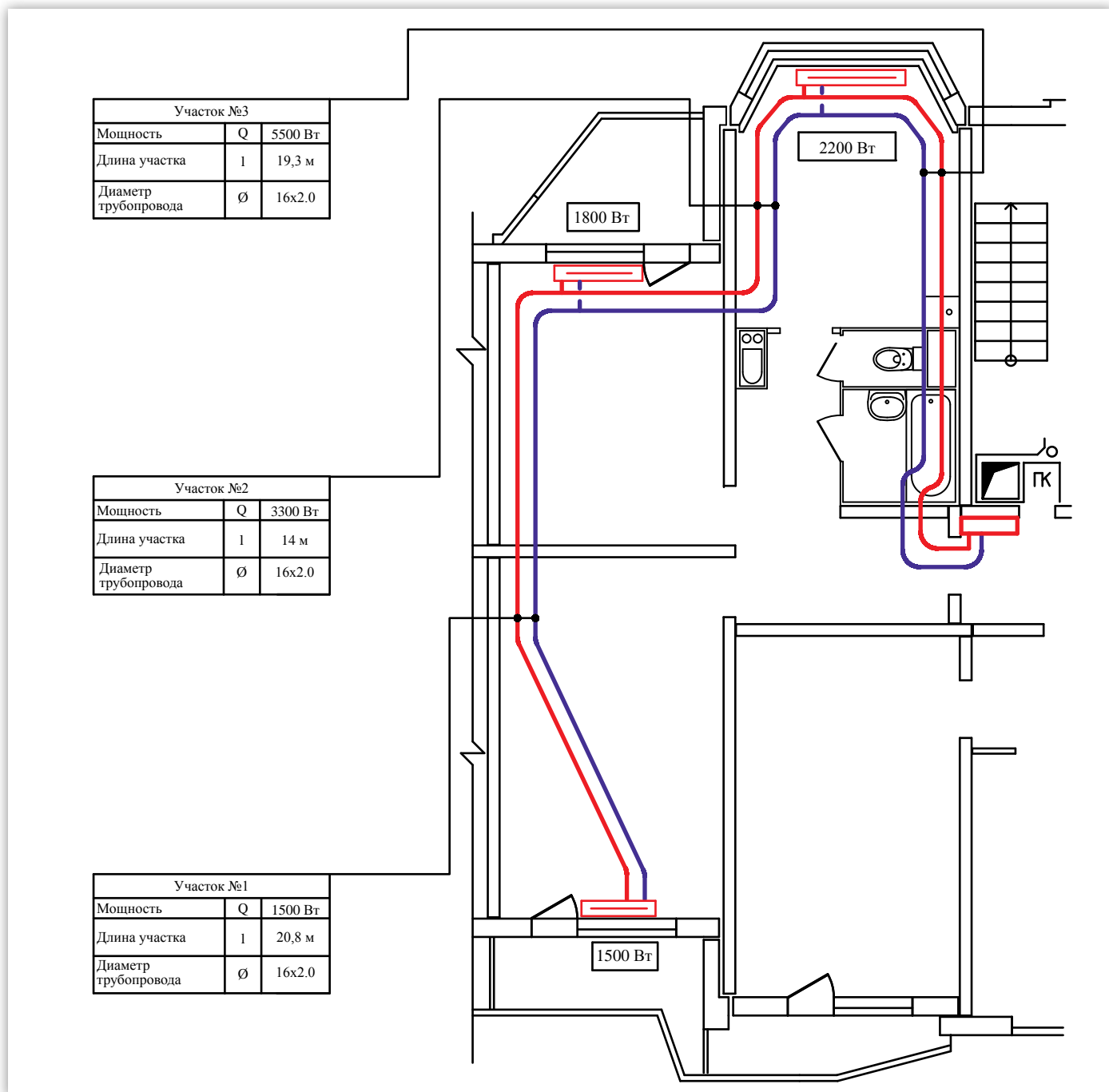
П.5

$$k_v^{mp} = \frac{G^{np}}{\rho \cdot \sqrt{\Delta P^{mp}}} \cdot 316,23; \text{ м}^3/\text{час}$$

В соответствии с настроечной таблицей радиаторного узла или клапана (**приложение 2**) производится его настройка на требуемую пропускную способность.



Расчетная схема



Расходы теплоносителя по участкам при параметрах 90/70°C (формула П.1):

$$G_1^{уч} = \frac{1500}{4187 \cdot (90 - 70)} \cdot 3600 = 64,5 \text{ кг/ час} = 0,019 \text{ л/с}$$

$$G_2^{уч} = \frac{3300}{4187 \cdot (90 - 70)} \cdot 3600 = 141,9 \text{ кг/ час} = 0,041 \text{ л/с}$$

$$G_3^{уч} = \frac{5500}{4187 \cdot (90 - 70)} \cdot 3600 = 236,4 \text{ кг/ час} = 0,069 \text{ л/с}$$

Расходы теплоносителя через приборы (формула П.1):

$$G_1^{уч} = \frac{1500}{4187 \cdot (90 - 70)} \cdot 3600 = 64,5 \text{ кг/ час}$$

$$G_2^{уч} = \frac{1800}{4187 \cdot (90 - 70)} \cdot 3600 = 77,4 \text{ кг/ час}$$

$$G_3^{уч} = \frac{2200}{4187 \cdot (90 - 70)} \cdot 3600 = 94,6 \text{ кг/ час}$$

Подбор диаметров трубопроводов (по номограмме приложение 1-А):

Участок 1: 16x2; $dp_1=50,8$ Па/м - удельные потери менее 300 Па/м, принимается трубу диаметром 16x2.

Участок 2: 16x2; $dp_2=160,8$ Па/м - удельные потери менее 300 Па/м, принимается трубу диаметром 16x2.

Участок 3: 16x2; $dp_3=420,2$ Па/м - удельные потери более 300 Па/м, поэтому принимается следующий диаметр трубопровода 20x2 ; $dp_3=112,2$ Па/м - удельные потери менее 300 Па/м, принимается трубу диаметром 20x2.

Определение скорости теплоносителя по участкам (формула П.2):

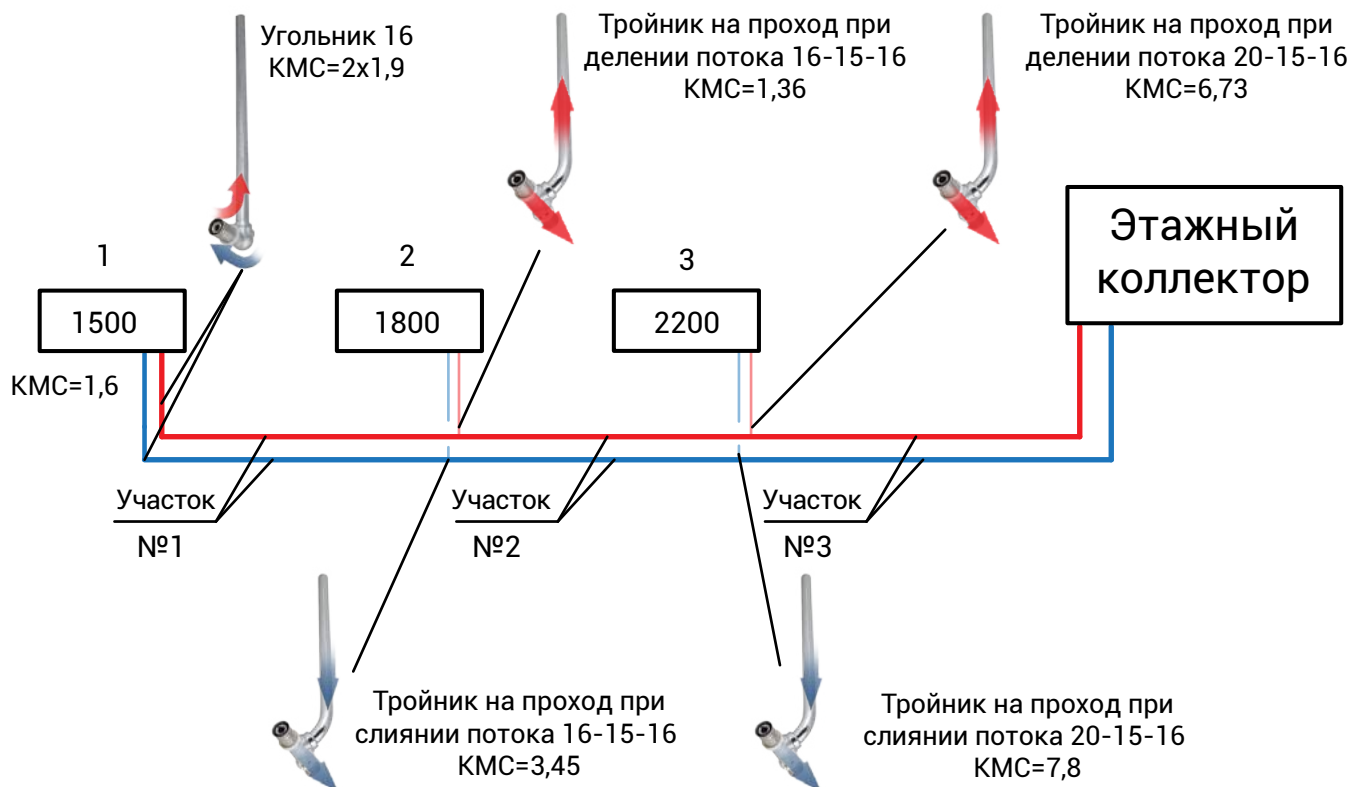
$$v_1 = \frac{64,5 \cdot 4 \cdot 10^6}{3600 \cdot 970 \cdot 3,14 \cdot 12^2} = 0,16 \text{ м/с;}$$

$$v_2 = \frac{141,9 \cdot 4 \cdot 10^6}{3600 \cdot 970 \cdot 3,14 \cdot 12^2} = 0,36 \text{ м/с;}$$

$$v_3 = \frac{236,4 \cdot 4 \cdot 10^6}{3600 \cdot 970 \cdot 3,14 \cdot 16^2} = 0,34 \text{ м/с.}$$

Определение коэффициентов местных сопротивлений по циркуляционным кольцам:

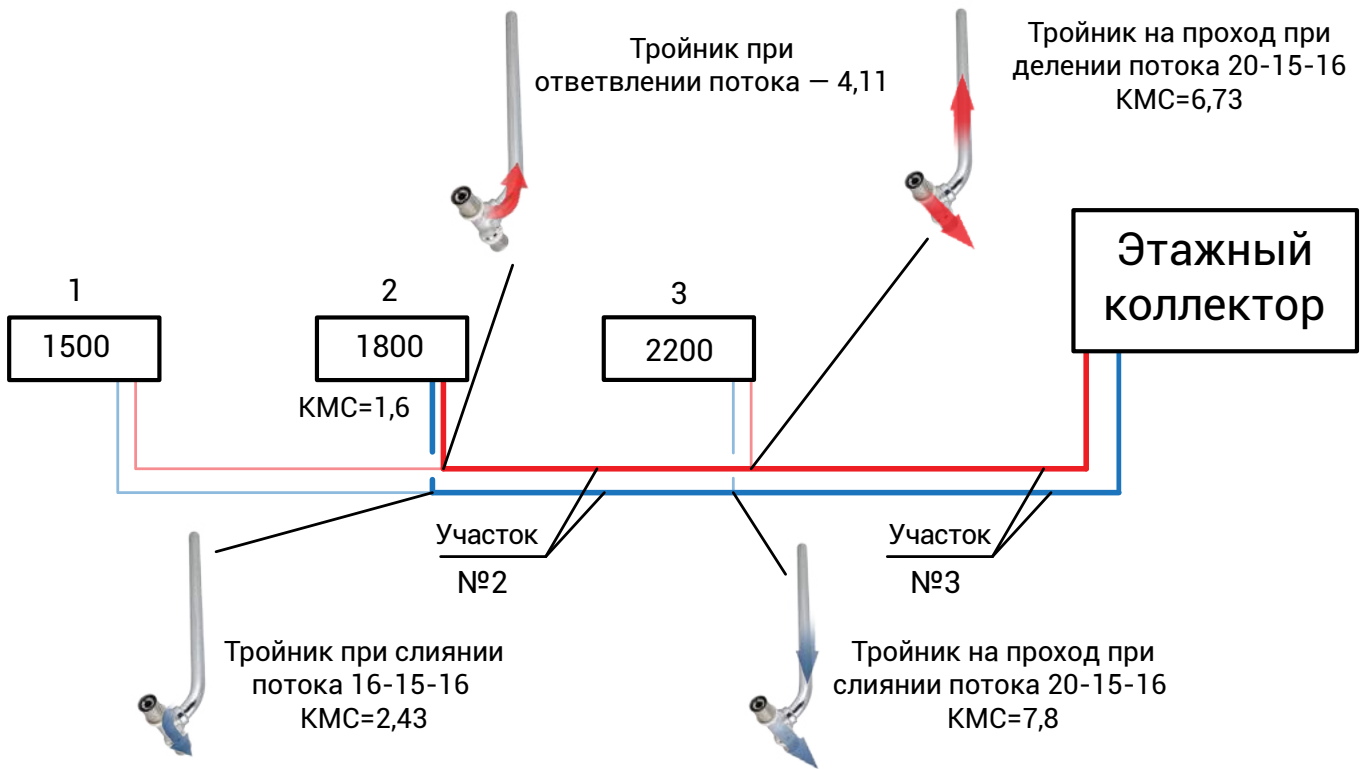
кольцо 1



Секционный радиатор с количеством секций более 6 КМС=1,6.

Потери давления на этом кольце складываются из потерь на 1, 2 и 3 участках и потерях на 1-ом радиаторе.

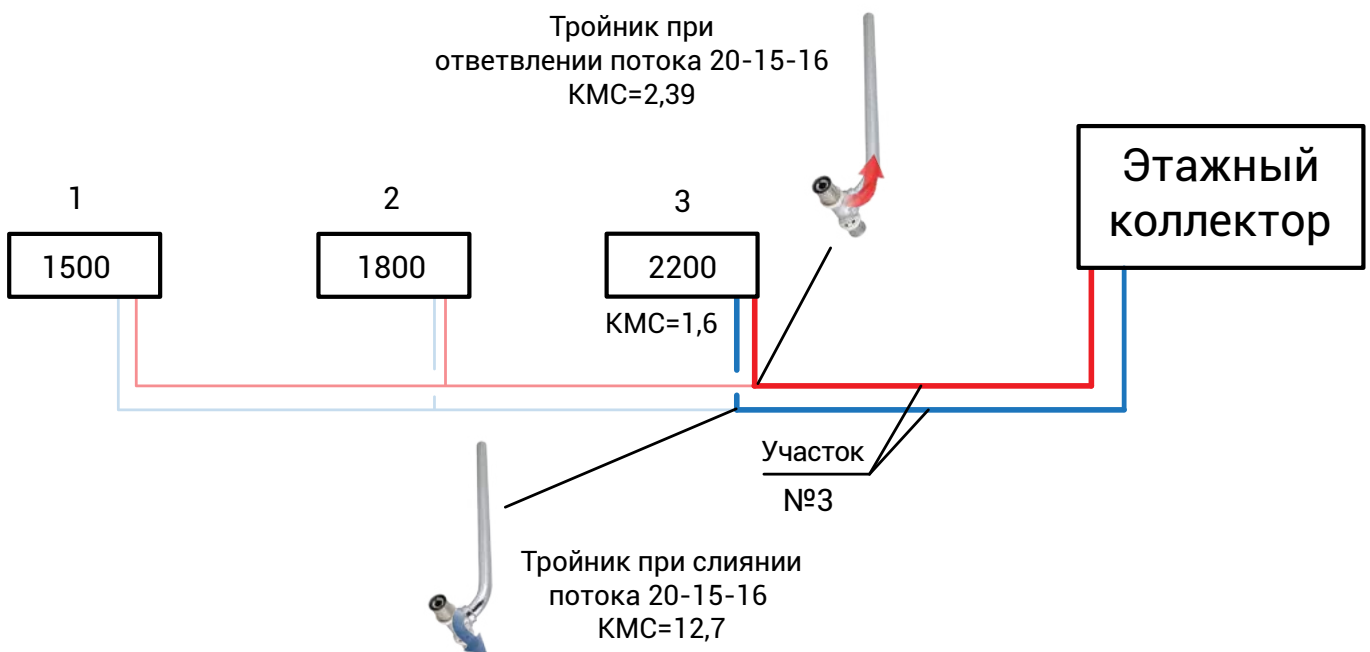
кольцо 2



Секционный радиатор с количеством секций более 6 KMC= 1,6.

Потери давления на этом кольце складываются из потерь на 2 и 3 участках и потерях на 2-ом радиаторе.

кольцо 3



Секционный радиатор с количеством секций более 6 KMC= 1,6.

Потери давления на этом кольце складываются из потерь на 3 участке и потерях на 3-ем радиаторе.

Определение потерь давления в циркуляционных кольцах при позиции клапана 9 ($K_v=0,6$)
(формула П.3):

«В качестве настроечного и регулирующего клапана для данной схемы используется узел подключения радиатора VT.225K-100% при точности поддержания температуры 2°C ($X_p=S-2$). Паспортные гидравлические характеристики узла при различных позициях настройки клапана представлены в **приложении 2-Б**.

Позиция настройки клапана принимается 9 ($K_v=0,6$ м³/час).

1 кольцо:

$$\Delta P_{\kappa 1} = \left(\frac{64,5}{0,6 \cdot 970} \right)^2 \cdot 10^5 + (50,8 \cdot 20,8) + (160,8 \cdot 14) + (112,2 \cdot 19,3) + \left(5,4 \cdot \frac{0,16^2 \cdot 970}{2} \right) + \left(4,81 \cdot \frac{0,36^2 \cdot 970}{2} \right) + \left(14,53 \cdot \frac{0,34^2 \cdot 970}{2} \right) = 7\,865 \text{ Па};$$

2 кольцо:

$$\Delta P_{\kappa 1} = \left(\frac{77,4}{0,6 \cdot 970} \right)^2 \cdot 10^5 + (160,8 \cdot 14) + (112,2 \cdot 19,3) + \left(4,81 \cdot \frac{0,36^2 \cdot 970}{2} \right) + \left(14,53 \cdot \frac{0,34^2 \cdot 970}{2} \right) = 7\,483 \text{ Па};$$

3 кольцо:

$$\Delta P_{\kappa 1} = \left(\frac{94,6}{0,6 \cdot 970} \right)^2 \cdot 10^5 + (112,2 \cdot 19,3) + \left(16,69 \cdot \frac{0,34^2 \cdot 970}{2} \right) = 5\,709 \text{ Па}.$$

В качестве расчётных потерь давления принимаются наибольшие потери давления в системе. Для данного примера это потери в первом кольце (7850 Па или 7,9 кПа).

Следует отметить, что не всегда расчётным будет самое удаленное кольцо. В некоторых случаях расчётным может оказаться кольцо с самым большим расходом, поэтому следует рассчитывать все циркуляционные кольца.

Определение требуемого перепада давления на радиаторных клапанах (формула П.4) и требуемой пропускной способности клапанов (формула П.5):

Клапан радиатора №1 не рассчитывается, так как циркуляционное кольцо на данной ветке расчётное. Его положение принимается равным 9 (максимальному количеству оборотов, $K_v=0,6$).

$$\Delta P_2^{mp} = 7865 - 7483 + \left(\frac{77,4}{0,6 \cdot 970} \right)^2 \cdot 10^5 = 2139 \text{ Па};$$

$$K_{v2}^{mp} = \frac{77,4}{970 \cdot \sqrt{2139}} \cdot 316,23 = 0,55 \text{ м}^3/\text{час}$$

Из таблицы **приложения 2-Б** выбираются позиции настройки клапана с ближайшими большими значениями пропускной способности. Для радиатора № 2 это позиция № 7 или открытие клапана на два оборота.

$$\Delta P_3^{mp} = 7865 - 5709 + \left(\frac{94,6}{0,6 \cdot 970} \right)^2 \cdot 10^5 = 4781 \text{ Па};$$

$$K_{v3}^{mp} = \frac{94,6}{970 \cdot \sqrt{4781}} \cdot 316,23 = 0,45 \text{ м}^3/\text{час}.$$

Из таблицы **приложения 2-Б** выбираются позиции настройки клапана с ближайшими большими значениями пропускной способности. Для радиатора № 3 это позиция № 4 или открытие клапана на один оборот.

ИТОГОВЫЕ РАСЧЁТНЫЕ ДАННЫЕ ДЛЯ ПРИВЕДЕННОГО ПРИМЕРА

Расчётный расход воды в системе - 236,4 кг/час. Расчётные потери давления в системе – 7,8 кПа.

Диаметры трубопровода
по участкам:

№ участка	1	2	3
Диаметр трубопровода; мм	16x2	16x2	20x2

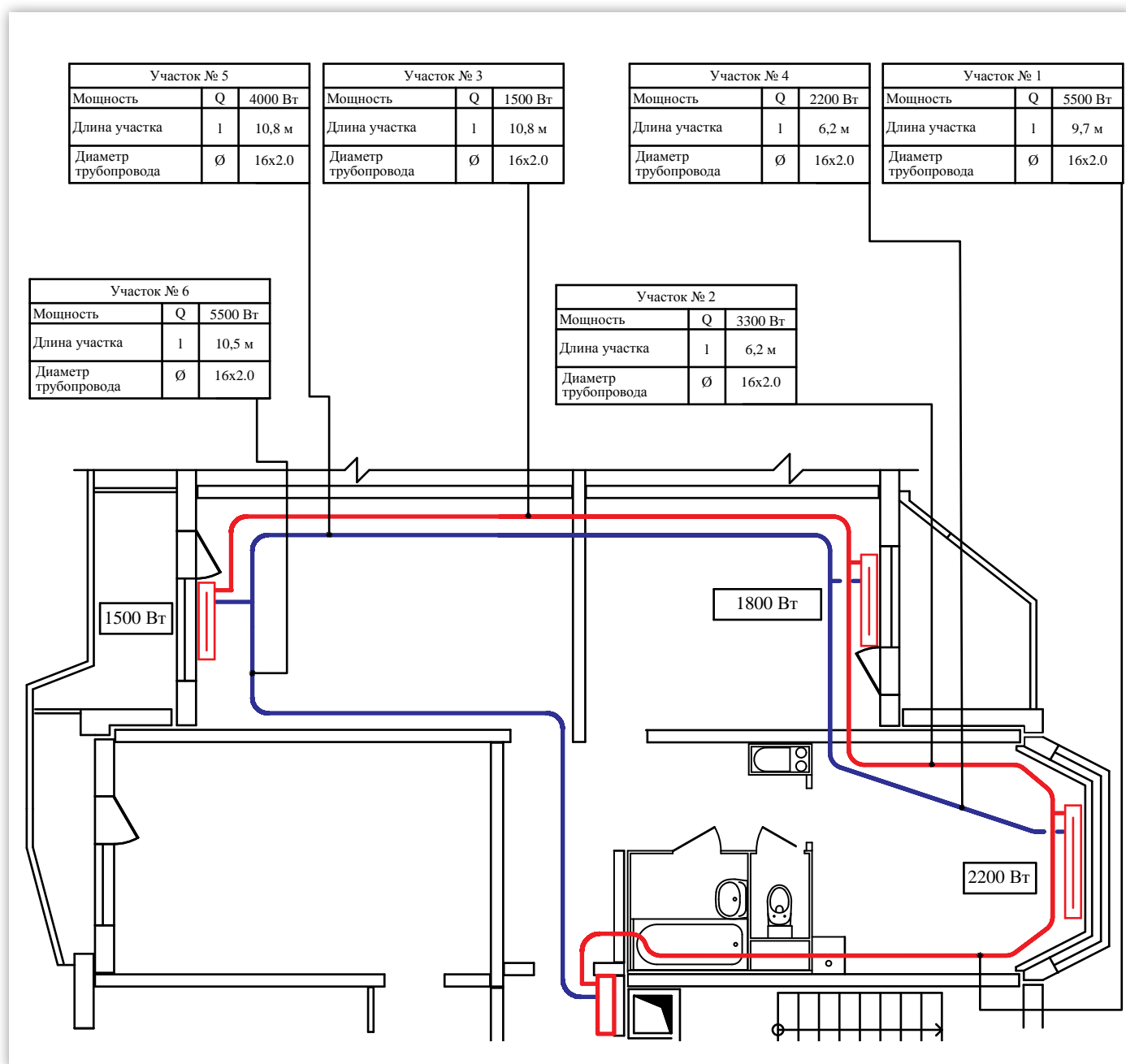
Таблица настройки клапанов:

№ радиатора	1	2	3
Настройка клапана	9	7	4
Количество оборотов открытия клапана	max	2	1

1-В

ПРИМЕР РАСЧЕТА СИСТЕМЫ С ПОПУТНЫМ ДВИЖЕНИЕМ ТЕПЛОНОСИТЕЛЯ

Расчетная схема



Расходы теплоносителя по участкам при параметрах 90/70°C (формула П.1):

$$G_1^{yч} = G_6^{yч} = \frac{5500}{4187 \cdot (90 - 70)} \cdot 3600 = 236,4 \text{ кг/ час} = 0,069 \text{ л/ с}$$

$$G_2^{yч} = \frac{3300}{4187 \cdot (90 - 70)} \cdot 3600 = 141,9 \text{ кг/ час} = 0,041 \text{ л/ с}$$

$$G_3^{yч} = \frac{1500}{4187 \cdot (90 - 70)} \cdot 3600 = 64,5 \text{ кг/ час} = 0,019 \text{ л/ с}$$

$$G_4^{yч} = \frac{2200}{4187 \cdot (90 - 70)} \cdot 3600 = 94,6 \text{ кг/ час} = 0,028 \text{ л/ с}$$

$$G_5^{yч} = \frac{4000}{4187 \cdot (90 - 70)} \cdot 3600 = 172 \text{ кг/ час} = 0,050 \text{ л/ с}$$

Расходы теплоносителя через приборы (формула П.1):

$$G_1^{yч} = \frac{1500}{4187 \cdot (90 - 70)} \cdot 3600 = 64,5 \text{ кг/ час}$$

$$G_2^{yч} = \frac{1800}{4187 \cdot (90 - 70)} \cdot 3600 = 77,4 \text{ кг/ час}$$

$$G_3^{yч} = \frac{2200}{4187 \cdot (90 - 70)} \cdot 3600 = 94,6 \text{ кг/ час}$$

Подбор диаметров трубопроводов (по номограмме приложения 1-А):

Участок 1 и 6: 16x2; $dp_1=420,2$ Па/м - удельные потери более 300 Па/м, поэтому принимается следующий диаметр трубопровода 20x2 ; $dp_1=112,2$ Па/м - удельные потери менее 300 Па/м, принимается трубу диаметром 20x2.

Участок 2: 16x2; $dp_2=160,8$ Па/м - удельные потери менее 300 Па/м, принимается трубу диаметром 16x2.

Участок 3: 16x2; $dp_3=50,8$ Па/м - удельные потери менее 300 Па/м, принимается трубу диаметром 16x2.

Участок 4: 16x2; $dp_4=67,5$ Па/м - удельные потери менее 300 Па/м, принимается трубу диаметром 16x2.

Участок 5: 16x2; $dp_5=202,3$ Па/м - удельные потери менее 300 Па/м, принимается трубу диаметром 16x2.

Определение скорости теплоносителя по участкам (формула П.2):

$$v_1 = v_6 = \frac{236,4 \cdot 4 \cdot 10^6}{3600 \cdot 970 \cdot 3,14 \cdot 16^2} = 0,34 \text{ м/с}$$

$$v_2 = \frac{141,9 \cdot 4 \cdot 10^6}{3600 \cdot 970 \cdot 3,14 \cdot 12^2} = 0,36 \text{ м/с}$$

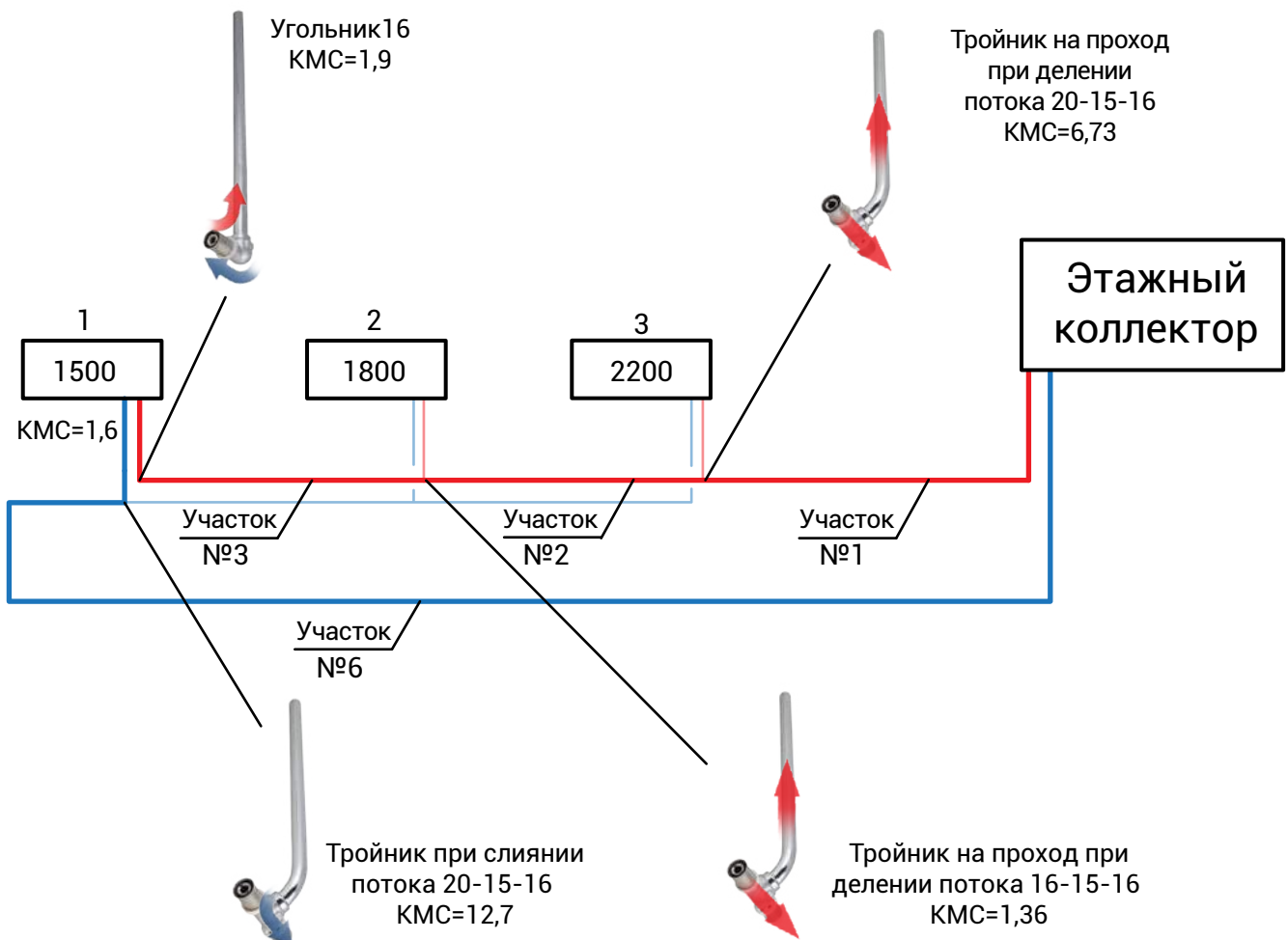
$$v_3 = \frac{64,5 \cdot 4 \cdot 10^6}{3600 \cdot 970 \cdot 3,14 \cdot 12^2} = 0,16 \text{ м/с}$$

$$v_4 = \frac{94,6 \cdot 4 \cdot 10^6}{3600 \cdot 970 \cdot 3,14 \cdot 12^2} = 0,24 \text{ м/с}$$

$$v_5 = \frac{172 \cdot 4 \cdot 10^6}{3600 \cdot 970 \cdot 3,14 \cdot 12^2} = 0,44 \text{ м/с}$$

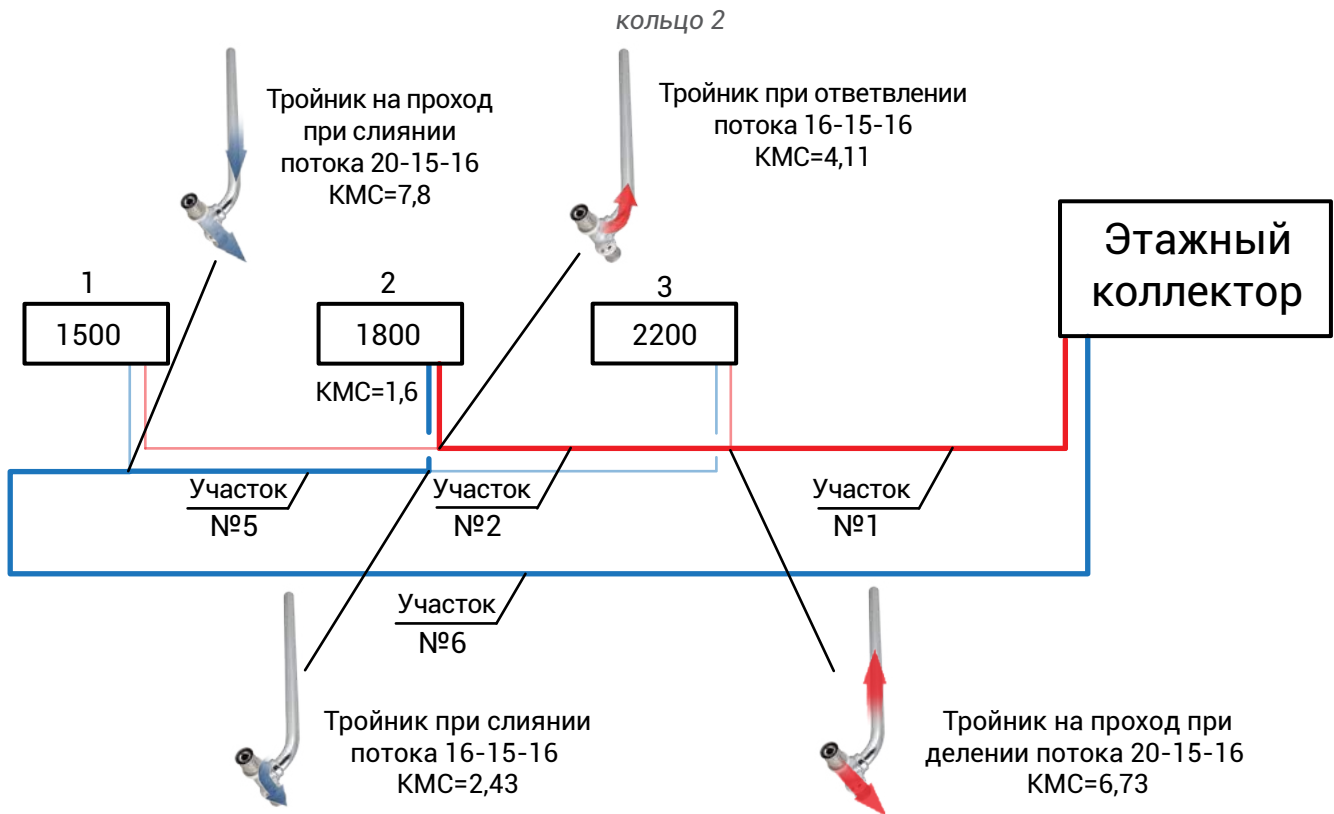
Определение коэффициентов местных сопротивлений по циркуляционным кольцам:

Кольцо 1



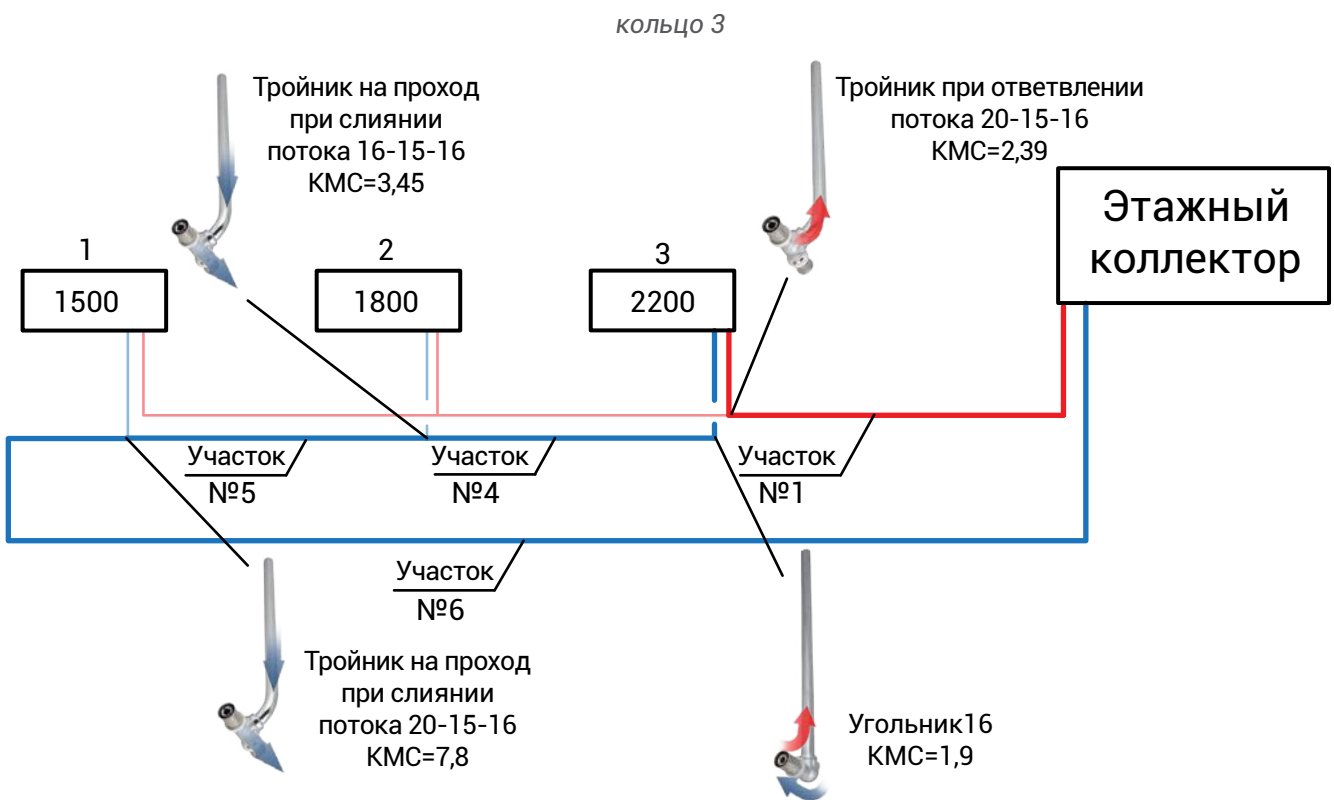
Секционный радиатор с количеством секций более 6 KMC=1,6.

Потери давления на этом кольце складываются из потерь на 1, 2, 3 и 6 участках и потерях на 1-ом радиаторе.



Секционный радиатор с количеством секций более 6 $KMC=1,6$.

Потери давления на этом кольце складываются из потерь на 1, 2, 5 и 6 участках и потерях на 2-ом радиаторе.



Секционный радиатор с количеством секций более 6 $KMC=1,6$.

Потери давления на этом кольце складываются из потерь на 1, 4, 5 и 6 участках и потерях на 3-ем радиаторе.

Определение потерь давления в циркуляционных кольцах при позиции клапана 9 ($K_v=0,6$)
(формула П.3):

В качестве настроечного и регулирующего клапана для данной схемы используется узел подключения радиатора VT.225K-100% при точности поддержания температуры 2°C ($X_p=S-2$).

Паспортные гидравлические характеристики узла при различных позициях настройки клапана представлены в **приложении 2-Б**.

Позиция настройки клапана принимается 9 ($K_v=0,6$ м³/час).

1 кольцо:

$$\Delta P_{к1} = \left(\frac{64,5}{0,6 \cdot 970} \right)^2 \cdot 10^5 + (112,2 \cdot 9,7) + (160,8 \cdot 6,2) + (50,8 \cdot 10,8) + (112,2 \cdot 10,5) + \left(6,73 \cdot \frac{0,34^2 \cdot 970}{2} \right) + \left(1,36 \cdot \frac{0,36^2 \cdot 970}{2} \right) + \left(3,5 \cdot \frac{0,16^2 \cdot 970}{2} \right) + \left(12,7 \cdot \frac{0,34^2 \cdot 970}{2} \right) = 8653 \text{ Па}$$

2 кольцо:

$$\Delta P_{к2} = \left(\frac{77,4}{0,6 \cdot 970} \right)^2 \cdot 10^5 + (112,2 \cdot 9,7) + (160,8 \cdot 6,2) + (202,3 \cdot 10,8) + (112,2 \cdot 10,5) + \left(6,73 \cdot \frac{0,34^2 \cdot 970}{2} \right) + \left(5,71 \cdot \frac{0,36^2 \cdot 970}{2} \right) + \left(2,43 \cdot \frac{0,43^2 \cdot 970}{2} \right) + \left(7,8 \cdot \frac{0,34^2 \cdot 970}{2} \right) = 9566 \text{ Па}$$

3 кольцо:

$$\Delta P_{к3} = \left(\frac{94,6}{0,6 \cdot 970} \right)^2 \cdot 10^5 + (112,2 \cdot 9,7) + (67,5 \cdot 6,2) + (202,3 \cdot 10,8) + (112,2 \cdot 10,5) + \left(3,99 \cdot \frac{0,34^2 \cdot 970}{2} \right) + \left(1,9 \cdot \frac{0,24^2 \cdot 970}{2} \right) + \left(3,45 \cdot \frac{0,43^2 \cdot 970}{2} \right) + \left(7,8 \cdot \frac{0,34^2 \cdot 970}{2} \right) = 8936 \text{ Па}$$

В качестве расчётных потерь давления принимаются наибольшие потери давления в системе. Для данного примера это потери во втором кольце (9566 Па или 9,6 кПа).

Определение требуемого перепада давления на радиаторных клапанах (формула П.4) и требуемой пропускной способности клапанов (формула П.5):

$$\Delta P_1^{mp} = 9566 - 8653 + \left(\frac{64,5}{0,6 \cdot 970} \right)^2 \cdot 10^5 = 2133 \text{ Па}; \quad \left| \quad K_{v1}^{mp} = \frac{64,5}{970 \cdot \sqrt{2133}} \cdot 316,23 = 0,46 \text{ м}^3/\text{час}$$

Из таблицы **приложения 2-Б** выбираются позиции настройки клапана с ближайшими большими значениями пропускной способности. Для радиатора № 1 это позиция № 4 или открытие клапана на один оборот.

Клапан радиатора №2 не рассчитывается, так как циркуляционное кольцо на данной ветке расчётное. Его положение принимается равным 9 (максимальному количеству оборотов, $K_v=0,6$).

$$\Delta P_3^{mp} = 9566 - 8936 + \left(\frac{94,6}{0,6 \cdot 970} \right)^2 \cdot 10^5 = 3255 \text{ Па}; \quad \left| \quad K_{v3}^{mp} = \frac{94,6}{970 \cdot \sqrt{3255}} \cdot 316,23 = 0,54 \text{ м}^3/\text{час}$$

Из таблицы **приложения 2-Б** выбираются позиции настройки клапана с ближайшими большими значениями пропускной способности. Для радиатора № 3 это позиция №7 или открытие клапана на два оборота.

ИТОГОВЫЕ РАСЧЁТНЫЕ ДАННЫЕ ДЛЯ ПРИВЕДЕННОГО ПРИМЕРА

Расчётный расход воды в системе - 236,4 кг/час. Расчётные потери давления в системе - 9,5 кПа

Диаметры трубопровода по участкам:

№ участка	1	2	3	4	5	6
Диаметр трубопровода; мм	20x2.0	16x2.0	16x2.0	16x2.0	16x2.0	20x2.0

Таблица настройки клапанов:

№ радиатора	1	2	3
Настройка клапана	4	9	7
Количество оборотов открытия клапана	1	max	2

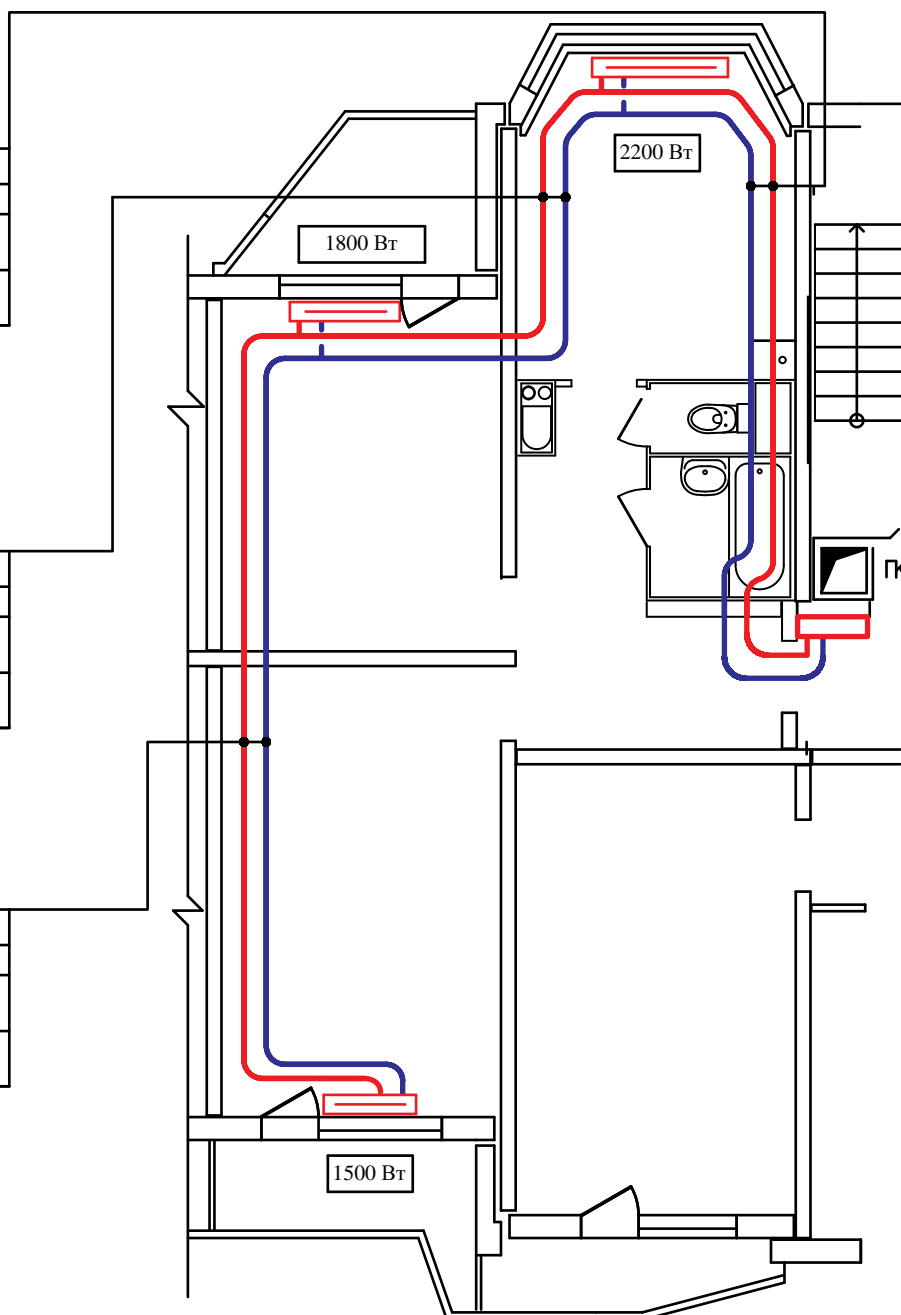
1-Г ПРИМЕР РАСЧЕТА ДВУХТРУБНОЙ ТУПИКОВОЙ ПЛИНТУСНОЙ СИСТЕМЫ С ИСПОЛЬЗОВАНИЕМ КОМПЛЕКТОВ VT.045

Расчетная схема

Участок № 3		
Мощность	Q	5500 Вт
Длина участка	l	19,3 м
Диаметр трубопровода	Ø	16x2.0

Участок № 2		
Мощность	Q	3300 Вт
Длина участка	l	14 м
Диаметр трубопровода	Ø	16x2.0

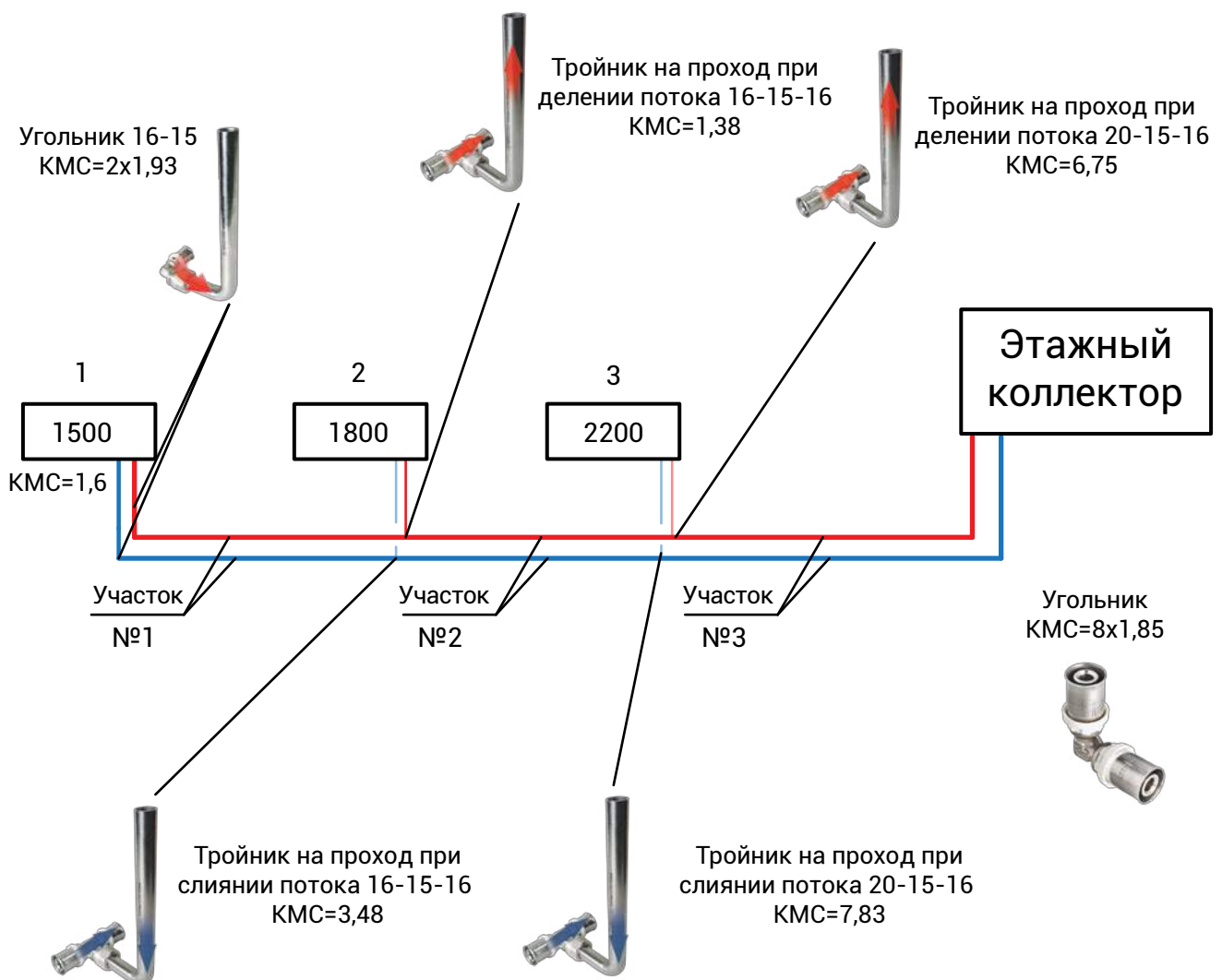
Участок № 1		
Мощность	Q	1500 Вт
Длина участка	l	20,8 м
Диаметр трубопровода	Ø	16x2.0



Первые 3 этапа расчёта системы (определение расхода воды через приборы и участки; подбор диаметров труб; определение скорости теплоносителя по участкам) полностью совпадают с расчётом, приведённым в приложении 1-Б.

Определение коэффициентов местных сопротивлений по циркуляционным кольцам:

Кольцо 1



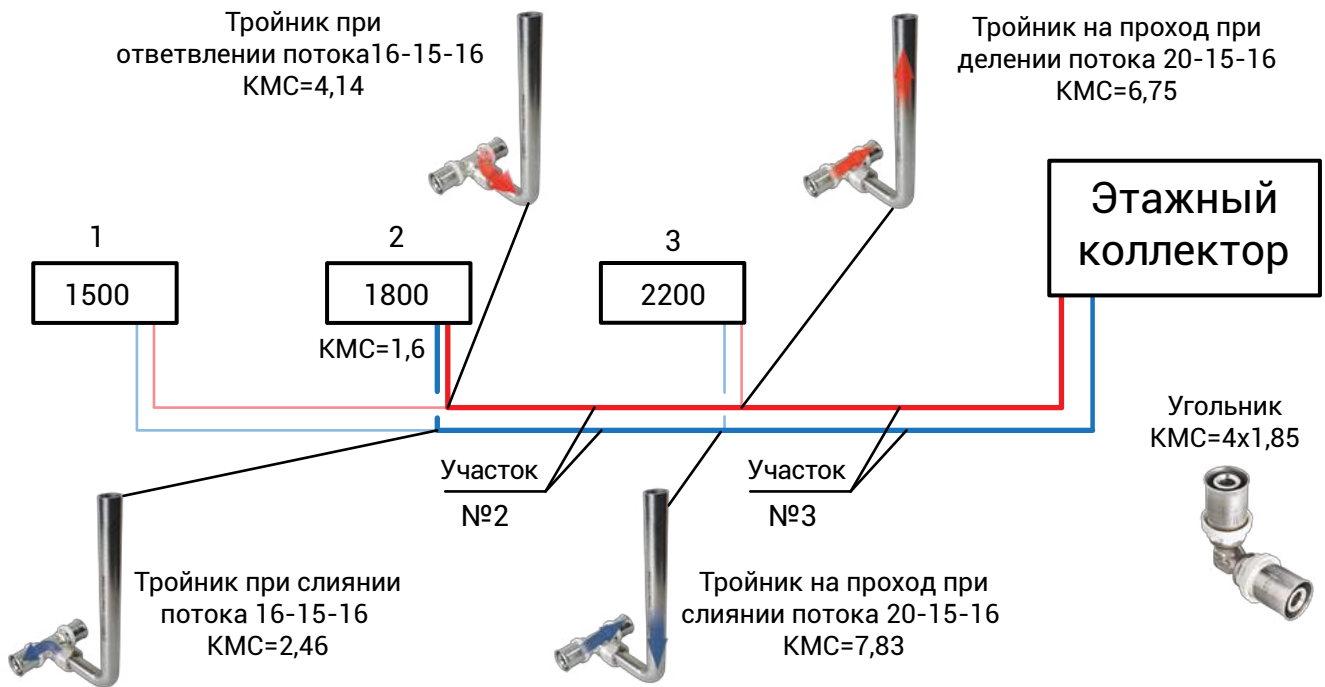
Секционный радиатор с количеством секций более 6 KMC=1,6.

По линии движения трубопровода 6 пресс-угольников $\varnothing 16$ Σ KMC=6x1,85.

По линии движения трубопровода 2 пресс-угольников $\varnothing 20$ Σ KMC=6x1,7.

Потери давления на этом кольце складываются из потерь на 1, 2 и 3 участках и потерях на 1-ом радиаторе.

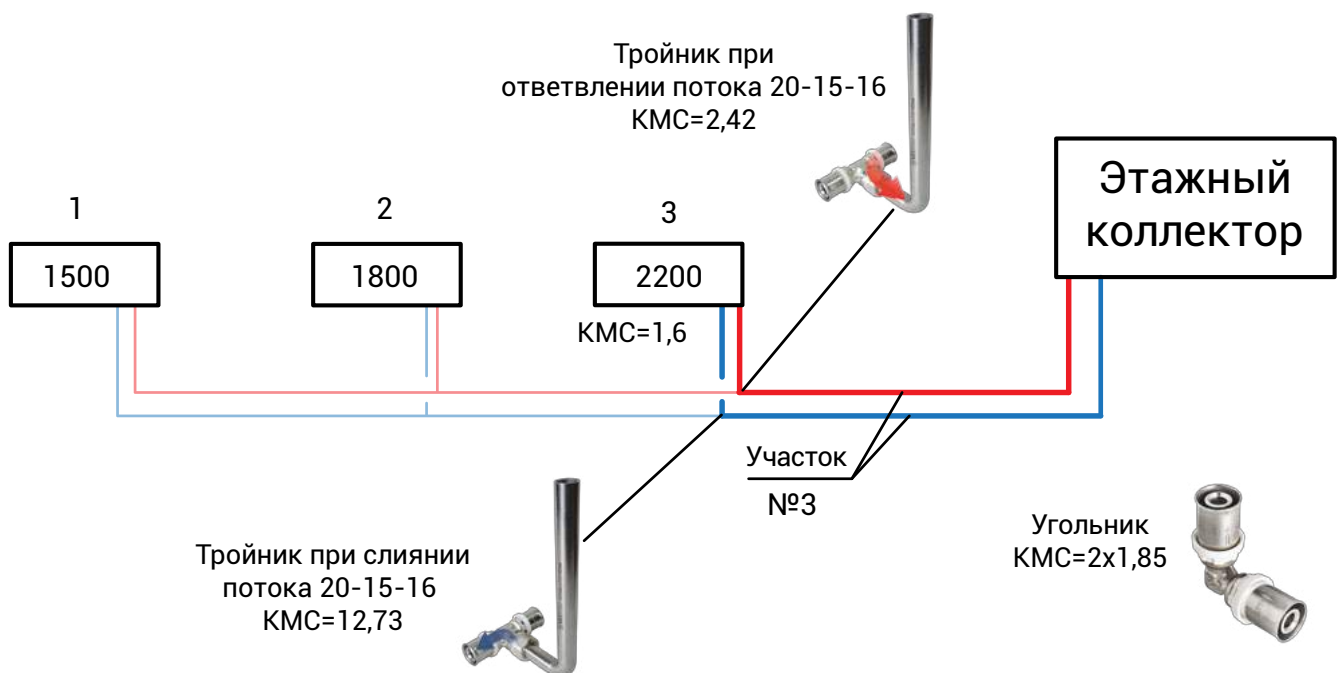
Кольцо 2



Секционный радиатор с количеством секций более 6 КМС=1,6.
 По линии движения трубопровода 2 пресс-угольника $\varnothing 16 \Sigma \text{КМС}=2 \times 1,85$.
 По линии движения трубопровода 2 пресс-угольника $\varnothing 20 \Sigma \text{КМС}=6 \times 1,7$.

Потери давления на этом кольце складываются из потерь на 2 и 3 участках и потерях на 2-ом радиаторе.

Кольцо 3



Секционный радиатор с количеством секций более 6 КМС=1,6.
 По линии движения трубопровода 2 пресс-угольника $\varnothing 20 \Sigma \text{КМС}=6 \times 1,7$.

Потери давления на этом кольце складываются из потерь на 3 участке и потерях на 3-ем радиаторе.

Определение потерь давления в циркуляционных кольцах (формула П.3).

Паспортные гидравлические характеристики клапанов из комплекта VT.045 приведены в приложениях 2-В и 2-Г.

Позиция настройки настроечного клапана VT.045 принимается 9 ($K_v=1,35$ м³/час).

1 кольцо:

$$\Delta P_{к1} = \left(\frac{64,5}{1,35 \cdot 970}\right)^2 \cdot 10^5 + \left(\frac{64,5}{0,65 \cdot 970}\right)^2 \cdot 10^5 + (50,8 \cdot 20,8) + (160,8 \cdot 14) + (112,2 \cdot 19,3) + \left(12,86 \cdot \frac{0,16^2 \cdot 970}{2}\right) + \left(8,56 \cdot \frac{0,36^2 \cdot 970}{2}\right) + \left(17,98 \cdot \frac{0,34^2 \cdot 970}{2}\right) = 8454 \text{ Па}$$

2 кольцо:

$$\Delta P_{к2} = \left(\frac{77,4}{1,35 \cdot 970}\right)^2 \cdot 10^5 + \left(\frac{77,4}{0,65 \cdot 970}\right)^2 \cdot 10^5 + (160,8 \cdot 14) + (112,2 \cdot 19,3) + \left(11,9 \cdot \frac{0,36^2 \cdot 970}{2}\right) + \left(17,96 \cdot \frac{0,34^2 \cdot 970}{2}\right) = 8007 \text{ Па}$$

3 кольцо:

$$\Delta P_{к3} = \left(\frac{94,6}{1,35 \cdot 970}\right)^2 \cdot 10^5 + \left(\frac{94,6}{0,65 \cdot 970}\right)^2 \cdot 10^5 + (112,2 \cdot 19,3) + \left(20,15 \cdot \frac{0,34^2 \cdot 970}{2}\right) = 6046 \text{ Па}$$

В качестве расчётных потерь давления принимаются наибольшие потери давления в системе. Для данного примера это потери в первом кольце (8454 Па или 8,5 кПа).

Определение требуемого перепада давления на радиаторных клапанах (формула П.4) и требуемой пропускной способности клапанов (формула П.5):

Клапан радиатора №1 не рассчитывается, так как циркуляционное кольцо на данной ветке расчётное. Его положение принимается равным 9 (максимальному количеству оборотов, $K_v=1,35$).

$$\Delta P_2^{\text{TP}} = 8454 - 8007 + \left(\frac{77,4}{1,35 \cdot 970}\right)^2 \cdot 10^5 = 797 \text{ Па}$$

$$k_{v2}^{\text{TP}} = \frac{77,4}{970 \cdot \sqrt{797}} \cdot 316,23 = 0,89 \text{ м}^3/\text{час}$$

Из таблицы приложения 2-Г выбираются позиции настройки клапана с ближайшими большими значениями пропускной способности. Для радиатора № 2 это позиция № 7 или открытие клапана на три с половиной оборота.

$$\Delta P_3^{\text{TP}} = 8454 - 6046 + \left(\frac{94,6}{1,35 \cdot 970}\right)^2 \cdot 10^5 = 2930 \text{ Па}$$

$$K_{v3}^{\text{TP}} = \frac{94,6}{970 \cdot \sqrt{2930}} \cdot 316,23 = 0,57 \text{ м}^3/\text{час}$$

Из таблицы приложения 2-Г выбираются позиции настройки клапана с ближайшими большими значениями пропускной способности. Для радиатора № 3 это позиция №5 или открытие клапана на два с половиной оборота.

ИТОГОВЫЕ РАСЧЁТНЫЕ ДАННЫЕ ДЛЯ ПРИВЕДЕННОГО ПРИМЕРА

Расчётный расход воды в системе - 236,4 кг/час. Расчётные потери давления в системе – 8,5 кПа.

Диаметры трубопровода по участкам:

№ участка	1	2	3
Диаметр трубопровода; мм	16x2	16x2	20x2

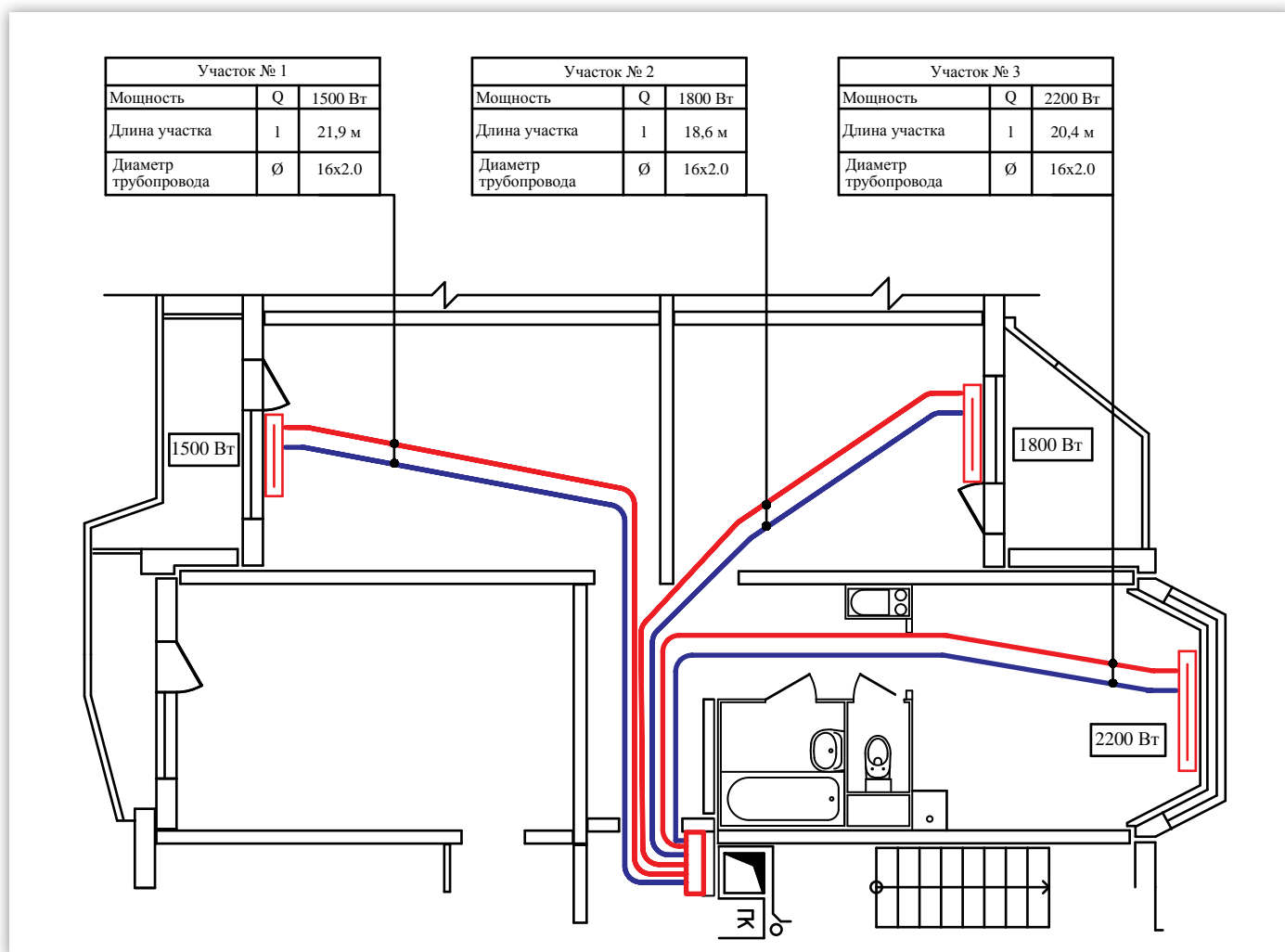
Таблица настройки клапанов:

№ радиатора	1	2	3
Настройка клапана	9	7	5
Количество оборотов открытия клапана	max	3 1/2	2 1/2

1-Д

ПРИМЕР РАСЧЕТА КОЛЛЕКТОРНО-ЛУЧЕВОЙ СИСТЕМЫ

Расчетная схема



Расходы теплоносителя по участкам при параметрах 90/70°C (формула П.1):

$$G_1^{уч} = \frac{1500}{4187 \cdot (90 - 70)} \cdot 3600 = 64,5 \text{ кг/ час} = 0,018 \text{ кг/ с}$$

$$G_2^{уч} = \frac{1800}{4187 \cdot (90 - 70)} \cdot 3600 = 77,4 \text{ кг/ час} = 0,021 \text{ кг/ с}$$

$$G_3^{уч} = \frac{2200}{4187 \cdot (90 - 70)} \cdot 3600 = 94,6 \text{ кг/ час} = 0,026 \text{ кг/ с}$$

Подбор диаметров трубопроводов (по номограмме приложение 1-А):

Участок 1: 16x2; $dp_1=50,8$ Па/м - удельные потери менее 300 Па/м, принимается трубу диаметром 16x2.

Участок 2: 16x2; $dp_2=62,8$ Па/м - удельные потери менее 300 Па/м, принимается трубу диаметром 16x2.

Участок 3: 16x2; $dp_3=82,6$ Па/м - удельные потери менее 300 Па/м, принимается трубу диаметром 16x2.

Определение скорости теплоносителя по участкам (формула П.2):

$$v_1^{уч} = \frac{64,5 \cdot 4 \cdot 10^6}{3600 \cdot 970 \cdot 3,14 \cdot 12^2} = 0,16 \text{ м/с}$$

$$v_2^{уч} = \frac{77,4 \cdot 4 \cdot 10^6}{3600 \cdot 970 \cdot 3,14 \cdot 12^2} = 0,20 \text{ м/с}$$

$$v_3^{уч} = \frac{94,6 \cdot 4 \cdot 10^6}{3600 \cdot 970 \cdot 3,14 \cdot 12^2} = 0,24 \text{ м/с}$$

Определение коэффициентов местных сопротивлений по циркуляционным кольцам.

В указанном примере местными сопротивлениями обладают угольники с хромированной трубкой VTm.281.N. Потери давления в местах поворота трубопроводов считаются сравнительно малыми, и ими можно пренебречь. Таким образом, сумма местных сопротивлений для каждого кольца будет одной и той же, и будет складываться из двух радиаторных отводов КМС=1,9 и радиатора КМС = 1,6. Суммарные коэффициенты местного сопротивления каждого кольца равны 5,4.

В качестве настроечного и регулирующего клапана для данной схемы используется узел подключения радиатора VT.225K-100% при точности поддержания температуры 2°C (Хр=S-2)

Паспортные гидравлические характеристики узла при различных позициях настройки клапана представлены в **приложении 2-Б**.

Позиция настройки клапана принимается 9 ($Kv=0,6$ м³/час).

1 кольцо:

$$\Delta P_{к1} = \left(\frac{64,5}{0,6 \cdot 970} \right)^2 \cdot 10^5 + (50,8 \cdot 21,9) + \left(5,4 \cdot \frac{0,16^2 \cdot 970}{2} \right) = 2404 \text{ Па}$$

2 кольцо:

$$\Delta P_{к2} = \left(\frac{77,4}{0,6 \cdot 970} \right)^2 \cdot 10^5 + (55 \cdot 18,6) + \left(5,4 \cdot \frac{0,2^2 \cdot 970}{2} \right) = 3026 \text{ Па}$$

3 кольцо:

$$\Delta P_{к3} = \left(\frac{94,6}{0,6 \cdot 970} \right)^2 \cdot 10^5 + (58,2 \cdot 20,4) + \left(5,4 \cdot \frac{0,24^2 \cdot 970}{2} \right) = 4462 \text{ Па}$$

В качестве расчётных потерь давления принимаются наибольшие потери давления в системе. Для данного примера это потери в первом кольце (4462 Па или 4,5 кПа).

Определение требуемого перепада давления на радиаторных клапанах (**формула П.4**) и требуемой пропускной способности клапанов (**формула П.5**):

$$\Delta P_1^{\text{TP}} = 4462 - 2404 + \left(\frac{64,5}{0,6 \cdot 970} \right)^2 \cdot 10^5 = 3279 \text{ Па}$$

$$k_{v1}^{\text{TP}} = \frac{64,5}{970 \cdot \sqrt{3279}} \cdot 316,23 = 0,36 \text{ м}^3/\text{час}$$

Из **таблицы приложения 2-Б** выбираются позиции настройки клапана с ближайшими большими значениями пропускной способности. Для **радиатора № 1** это **позиция №3** или открытие клапана на три четверти оборота.

$$\Delta P_2^{\text{TP}} = 4430 - 3004 + \left(\frac{77,4}{0,6 \cdot 970} \right)^2 \cdot 10^5 = 3194 \text{ Па}$$

$$k_{v2}^{\text{TP}} = \frac{77,4}{970 \cdot \sqrt{4295}} \cdot 316,23 = 0,45 \text{ м}^3/\text{час}$$

Из **таблицы приложения 2-Б** выбираются позиции настройки клапана с ближайшими большими значениями пропускной способности.

Для **радиатора № 2** это **позиция №4** или открытие клапана на один оборот.

Клапан **третьего радиатора** не рассчитывается, так как циркуляционное кольцо на этой ветке расчётное. Его положение принимается **равным 9** (максимальному количеству оборотов).

ИТОГОВЫЕ РАСЧЁТНЫЕ ДАННЫЕ ДЛЯ ПРИВЕДЕННОГО ПРИМЕРА

Расчётный расход воды в системе - 236,4 кг/час (сумма расходов по приборам).
Расчётные потери давления в системе - 4,5 кПа.

Диаметры трубопровода по участкам:

№ участка	1	2	3
Диаметр трубопровода; мм	16x2	16x2	16x2

Таблица настройки клапанов:

№ радиатора	1	2	3
Настройка клапана	3	4	9
Количество оборотов открытия клапана	3/4	1	max

1-Е

ПРИМЕР ПОДБОРА РАДИАТОРОВ ПРИ ОДНОТРУБНОЙ СИСТЕМЕ

Задача: Необходимо подобрать 3 секционных радиатора мощностью Q^{TP} 500, 800, 1000 Вт. Параметры теплоносителя 90/70°C.

Расход теплоносителя через ветку ведётся по **формуле П.1**.

$$G = \frac{500 + 800 + 1000}{4187 \cdot (90 - 70)} \cdot 3600 = 98,9 \text{ кг/час}$$

Расход теплоносителя через приборы производится по **формуле**:

$$G^{np} = G \cdot \alpha; [\text{кг/ час}]$$

Где α – коэффициент затекания радиаторного узла, принимается согласно технической документации на радиаторный узел одно-трубной системы (**см. приложение 2-Е**)

$$G^{np} = 98,9 \cdot 0,38 = 37,6 \text{ кг/ час}$$

Расчет средней температуры отопительных приборов ведётся по **формуле**:

$$t_{\text{ср.п}} = t_1 - \left(\sum Q_{\text{пр}}^{\text{д}} + \frac{Q^{np}}{2 \cdot \alpha} \right) \cdot \frac{3,6}{c \cdot G}; ^\circ\text{C}$$

Где $\sum Q_{\text{пр}}^{\text{д}}$ – суммарная мощность приборов, подключенных до рассчитываемого прибора [Вт];

Для первого прибора $t_{\text{ср.п}} = 90 - \left(0 + \frac{500}{2 \cdot 0,38} \right) \cdot \frac{3,6}{4,19 \cdot 98,9} = 84,3^\circ\text{C}$

Для второго прибора $t_{\text{ср.п}} = 90 - \left(500 + \frac{800}{2 \cdot 0,38} \right) \cdot \frac{3,6}{4,19 \cdot 98,9} = 76,5^\circ\text{C}$

Для третьего прибора $t_{\text{ср.п}} = 90 - \left(1300 + \frac{1000}{2 \cdot 0,38} \right) \cdot \frac{3,6}{4,19 \cdot 98,9} = 67,2^\circ\text{C}$

Определение комплексного коэффициента приведения к расчётным условиям.

$$\varphi = \left(\frac{t_{\text{ср}} - t_{\text{в}}}{70} \right)^{1+n} \cdot \left(\frac{G^{np}}{360} \right)^p \cdot b \cdot c \cdot \psi$$

Где $t_{\text{в}}$ – температура воздуха в отапливаемом помещении [$^\circ\text{C}$];

n – коэффициент зависимости теплоотдачи от температуры прибора;

p – коэффициент зависимости теплоотдачи прибора от расхода теплоносителя;

b – коэффициент учета атмосферного давления;

c – коэффициент, учитывающий тип отопительного прибора;

ψ – коэффициент учета направления движения теплоносителя, на приборе;

Коэффициенты n, p, b, c, ψ принимаются по документации на отопительный прибор.

Характеристики радиатора:
Номинальная теплоотдача одной секции: $Q_{н.с.р}=161$ Вт;

$$n = 0,3; \quad p = 0,015; \quad b = 1; \quad c = 1; \quad \psi = 1;$$

Комплексный коэффициент:

$$\varphi_1 = \left(\frac{84,3 - 20}{70}\right)^{1+0,3} \cdot \left(\frac{37,6}{360}\right)^{0,015} = 0,86 \quad \varphi_2 = \left(\frac{76,5 - 20}{70}\right)^{1+0,3} \cdot \left(\frac{37,6}{360}\right)^{0,015} = 0,73$$

$$\varphi_3 = \left(\frac{67,2 - 20}{70}\right)^{1+0,3} \cdot \left(\frac{37,6}{360}\right)^{0,015} = 0,58$$

Минимальное требуемое количество секций вычисляется **по формуле**:

$$n = \frac{Q^{нп}}{\varphi \cdot Q_{н.с.р}}; \text{сек.}$$

$$n_1 = \frac{500}{0,86 \cdot 161} = 3,6 \rightarrow 4 \text{ сек.}$$

$$n_2 = \frac{800}{0,73 \cdot 161} = 6,8 \rightarrow 7 \text{ сек.}$$

$$n_3 = \frac{1000}{0,73 \cdot 161} = 8,5 \rightarrow 9 \text{ сек.}$$

Если предположить, что в первом помещении 4-х секционный отопительный прибор слишком мал для оконного проема, и в данном помещении необходимо 5 секций для того чтобы перекрыть 50% от ширины окна, то для этого радиатора можно произвести обратный расчёт.

Требуемый комплексный коэффициент.

$$\varphi_{тр} = \frac{Q^{нп}}{n_{тр} \cdot Q_{н.с.р}}$$

Где $n_{тр}$ – требуемое количество секций отопительного прибора.

$$\varphi_{тр} = \frac{500}{7 \cdot 161} = 0,62$$

Методом последовательного приближения решается система из **3-х уравнений**:

$$\begin{cases} t_{\text{ср.п}} = t_1 - \left(\sum Q_{\text{пр}}^{\text{л}} + \frac{Q^{\text{пр}}}{2 \cdot \alpha} \right) \cdot \frac{3,6}{c_p \cdot G_{\text{в}}}; ^\circ\text{C} \\ G_{\text{пр}} = G_{\text{в}} \cdot \alpha; \text{ кг/ час} \\ \varphi_{\text{пр}} = \left(\frac{t_{\text{ср}} - t_{\text{в}}}{70} \right)^{1+n} \cdot \left(\frac{G^{\text{пр}}}{360} \right)^p \cdot b \cdot c \cdot \psi \end{cases}$$

В первом приближении задаемся настройкой клапана 3 (3/4 оборота вентиля $\alpha=0,26$)

$$\begin{cases} t_{\text{ср.п}} = 90 - \left(0 + \frac{500}{2 \cdot 0,26} \right) \cdot \frac{3,6}{4,19 \cdot 98,9} = 81,6^\circ\text{C} \\ G_{\text{пр}} = 98,9 \cdot 0,26 = 25,7 \text{ кг/ час} \\ \varphi = \left(\frac{81,6 - 20}{70} \right)^{1+0,3} \cdot \left(\frac{25,7}{360} \right)^p = 0,81 \neq 0,62 \end{cases}$$

Коэффициент получился больше требуемого, следовательно коэффициент затекания требуется уменьшить. Примем настройку 1 (1/4 оборота вентиля $\alpha=0,11$)

$$\begin{cases} t_{\text{ср.п}} = 90 - \left(0 + \frac{500}{2 \cdot 0,11} \right) \cdot \frac{3,6}{4,19 \cdot 98,9} = 70,2^\circ\text{C} \\ G_{\text{пр}} = 98,9 \cdot 0,11 = 10,9 \text{ кг/ час} \\ \varphi = \left(\frac{70,2 - 20}{70} \right)^{1+0,3} \cdot \left(\frac{10,9}{360} \right)^{0,015} = 0,62 \end{cases}$$

Таким образом, можно увеличить количество секций радиатора до 5, изменив настройку первого клапана на **позицию 1** (1/4 оборота).

Гидравлический расчёт однотрубной системы гораздо легче, чем двухтрубных, так как требуется рассчитывать всего один участок и не требуется определение позиции настройки клапанов.

Определение расхода теплоносителя через ветку (формула П.1):

$$G = \frac{1500 + 1800 + 2200}{4187 \cdot (90 - 70)} \cdot 3600 = 236 \text{ кг/час} = 0,069 \text{ л/с}$$

Подбор диаметров труб (по номограмме приложения 1-А)

Для расхода 0,069 л/с для трубы 16x2.0 удельные потери давления составят 420,2 Па/м. Для трубы 20x2.0 удельные потери составят 112,2 Па/м. Для системы выбирается труба 20x2.0.

Определение скорости теплоносителя (формула П.2):

$$v = \frac{236 \cdot 4 \cdot 10^6}{3600 \cdot 970 \cdot 3,14 \cdot 16^2} = 0,34 \text{ м/с}$$

Определение коэффициентов местных сопротивлений

Все отопительные приборы подключаются при помощи угольников VTm.282, по два на каждый прибор: КМС=2*3*1,75=10,5. Секционный радиатор с количеством секций более шести КМС=1,6 КМС=3*1,6=4,8.

Итого суммарный коэффициент местных сопротивлений равен 15,3.

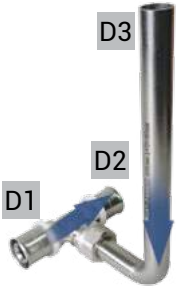
Определение потерь давления в системе (формула П.3):

Для клапана VT.225K при $X_p=S-2$ $K_v=1,6$ м³/час.

$$\Delta P = 3 \cdot \left(\frac{236}{1,6 \cdot 970} \right)^2 \cdot 10^5 + (112,2 \cdot 35,6) + \left(15,3 \cdot \frac{0,34^2 \cdot 970}{2} \right) = 11\,789 \text{ Па}$$

В качестве расчётных потерь давления принимаются 11 789 Па или 11,8 кПа.

Марка	Эскиз	Описание	Размер D1-D3-D2	КМС
VTm.282		Приточный тройник на проход (D1-D2)	16-15-16*	1,36
			16-15-20*	1,48
			20-15-16**	6,73
			20-15-20**	1,21
VTm.282		Вытяжной тройник на проход (D1-D2)	16-15-16*	3,45
			16-15-20*	3,55
			20-15-16**	7,8
			20-15-20**	3,3
VTm.282		Приточный тройник на ответвление (D1-D3)	16-15-16*	4,11
			16-15-20*	2,49
			20-15-16**	2,39
			20-15-20**	3,96
VTm.282		Вытяжной тройник на ответвление (D3-D2)	16-15-16*	2,43
			16-15-20*	2,28
			20-15-16**	12,7
			20-15-20**	3,3
VTm.281		Угольник (любое направление потока)	16*	1,9
			20**	1,75

Марка	Эскиз	Описание	Размер D1-D3-D2	KMC
VTm.233.I +VTi.960		Приточный тройник на проход (D1-D2)	16-15-16*	1,38
			16-15-20*	1,44
			20-15-16**	6,75
			20-15-20**	1,17
VTm.233.I +VTi.960		Вытяжной тройник на проход (D1-D2)	16-15-16*	3,48
			16-15-20*	3,51
			20-15-16**	7,83
			20-15-20**	3,26
VTm.233.I +VTi.960		Приточный тройник на ответвление (D1-D3)	16-15-16*	4,14
			16-15-20*	2,45
			20-15-16**	2,42
			20-15-20**	3,93
VTm.233.I +VTi.960		Вытяжной тройник на ответвление (D3-D2)	16-15-16*	2,46
			16-15-20*	2,24
			20-15-16**	12,73
			20-15-20**	3,26
VTm.253.I +VTi.960		Угольник (любое направление потока)	16*	1,93
			20**	1,71

* Коэффициенты местного сопротивления отнесены к внутреннему сечению трубопровода 16x2мм.

** Коэффициенты местного сопротивления отнесены к внутреннему сечению трубопровода 20x2мм.

Гидравлические характеристики радиаторного узла VT.225K -100%

Позиция на- стройки	Обороты вентиля	Kvs; м ³ /час термостата при Xp=S-1	Kvs; м ³ /час термостата при Xp=S-2	Kvs; м ³ /час термостата при Xp=max
1	1/4	0,12	0,12	0,13
2	1/2	0,19	0,21	0,22
3	3/4	0,27	0,36	0,40
4	1	0,31	0,46	0,57
5	1 1/4	0,32	0,50	0,66
6	1 1/2	0,33	0,54	0,75
7	2	0,34	0,57	0,85
8	2 1/2	0,34	0,59	0,90
9	max	0,34	0,60	0,96

Xp – это зона работы термостатического клапана, характеризующая отклонение температуры воздуха от температуры полного закрытия клапана. Например, если указан коэффициент Kv при Xp=S-2, то термозлемент установлен в такое положение, что при температуре воздуха 22 °C он полностью перекрывает поток.

Таким образом, данный коэффициент будет соответствовать положению клапана при температуре окружающего воздуха 20 °C. Температура в помещении будет колебаться в пределах от 20 до 22 °C. Данный показатель влияет на точность поддержания температуры внутреннего воздуха. При расчёте при Xp=S-1 точность поддержания температуры внутреннего воздуха будет равна +/- 0,5 °C. При расчёте при

Xp=2 – точность составит +/-1 °C. Положение Xp=max отражает характеристики клапана без термоголовки (Kvs).

При расчёте жилых зданий, согласно **таблице 1** ГОСТ 30494- 2011 «Здания жилые и общественные. Параметры микроклимата в помещениях», в холодный период года в жилой комнате оптимальные диапазон температур должен находиться в пределах от 20 °C до 22 °C, то есть, точность поддержания температуры в жилых помещениях зданий должна быть +/-1 °C.

Таким образом, для расчёта жилых зданий требуется выбор значений пропускной способности при Xp=S-2.

Kvs; м ³ /час при K=1	0,36
Kvs; м ³ /час при K=2	0,65
Kvs; м ³ /час при K=max	1,25



Позиция	1	2	3	4	5	6	7	8	9
Обороты вентиля	1 1/4	1 1/2	1 3/4	2	2 1/2	3	3 1/2	4	max
Kv; м ³ /час	0,14	0,2	0,31	0,43	0,60	0,79	1,00	1,20	1,35



Позиция	1	2	3	4	5	6	7	8	9	10	11	12	13	14
Обороты	1	1 1/2	1 1/4	1 3/4	2	2 1/4	3	3 1/2	5	6 1/2	7	7 1/2	8	max
Kv; м ³ /час	0,08	0,11	0,21	0,31	0,37	0,52	0,78	1,03	1,3	1,58	1,82	2,08	2,34	2,6



Позиция настройки		1	2	3	4	5	6	7	8	9
Обороты вентиля		1/4	1/2	3/4	1	1 1/4	1' 1/2	2	2 1/2	4
Параметры при $X_p=S-1$	K_v ; м ³ /час	1,12	1,19	1,27	1,31	1,32	1,33	1,34	1,34	1,34
	α	0,11	0,16	0,21	0,24	0,24	0,25	0,25	0,25	0,25
Параметры при $X_p=S-2$	K_v ; м ³ /час	1,13	1,21	1,36	1,46	1,5	1,54	1,57	1,59	1,6
	α	0,11	0,17	0,26	0,31	0,34	0,35	0,36	0,37	0,38
Параметры при $X_p=\max$	K_v ; м ³ /час	1,13	1,22	1,4	1,57	1,67	1,75	1,85	1,9	1,96
	α	0,11	0,18	0,29	0,36	0,4	0,43	0,46	0,48	0,49



Практические вопросы поквартирного учета тепловой энергии и воды



Федеральным законом № 261-ФЗ от 23.11.2009 (в редакции 20.12.2014 г) «Об энергосбережении и о повышении энергетической эффективности» установлено, что «Многоквартирные дома, вводимые в эксплуатацию с 1 января 2012 года после осуществления строительства, реконструкции, должны быть оснащены дополнительно индивидуальными приборами учета используемой тепловой энергии...» (ст.13 п.7).

Для того, чтобы это положение не воспринималось, как дружеская рекомендация, в Закон включены и штрафные санкции (ст.37 п.3): «Несоблюдение при проектировании, строительстве, реконструкции, капитальном ремонте зданий, строений, сооружений требований энергетической эффективности, требований их оснащённости приборами учета используемых энергетических ресурсов – влечет наложение административного штрафа на должностных лиц в размере от двадцати тысяч до тридцати тысяч рублей; на лиц, осуществляющих предпринимательскую деятельность без образования юридического лица, – от сорока тысяч до пятидесяти тысяч рублей; на юридических лиц, – от пятисот тысяч до шестисот тысяч рублей».

При этом в эксплуатацию такое здание принято всё равно не будет, до оснащения требуемыми приборами учёта.

Закон законом, но любой жилец многоквартирного дома и сам прекрасно осознаёт, что платить гораздо выгоднее за фактически потребленные энергоресурсы, а не по загадочному усреднённому нормативу. Это доказал успешный опыт повальной установки квартирных водосчетчиков. Человек стал понимать, за что конкретно он платит и как он может эту оплату снизить, ограничив потребление воды. А тот, кто из упрямства или лени всё же не удосужился установить у себя в квартире водосчётчики, на личном кошельке убедился в порочности своего решения, так как коэффициенты к тарифам для таких «упрямцев» стали недоумолимо расти.

Однако, если с квартирными приборами учёта воды дело обстоит достаточно просто, то учёт количества тепловой энергии на отопление квартиры не всегда так однозначен.

Дело в том, что с советских времён в «многоэтажках» преобладают вертикальные однотрубные системы (стояковые) водяного отопления (рис.1). Как самые дешёвые и гидравлически устойчивые они вытеснили все остальные типы систем во времена массового жилищного строительства.

Двухтрубные вертикальные системы (рис.2) тоже довольно часто встречаются, но и они для целей поквартирного учёта тепловой энергии на отопление мало пригодны.

Трудность учёта тепла при вертикальных схемах состоит в том, что через одну квартиру проходит не один, а несколько стояков отопления, к каждому из которых присоединён один или несколько отопительных приборов.

Ставить на каждый стояк теплосчетчик накладно, да и достоверность подсчета количества тепловой энергии весьма сомнительна. Почему? Легко объяснить на примере.

Допустим, через квартиры 25-этажного жилого дома проходит стояк однотрубной системы, к которому на каждом этаже присоединён радиатор, компенсирующий расчетные теплотери помещения $Q_p = 1500 \text{ Вт}$.

Нетрудно сосчитать, что расчётный расход теплоносителя по стояку составит:

$$G = \frac{NQ_p}{c\Delta t} = \frac{25 \cdot 1500}{4187 \cdot 20} = 0,448 \text{ кг/с,}$$

Перепад между температурой поступающего и уходящего с этажа теплоносителя составит:

$$\Delta t_i = \frac{\Delta t}{N} = \frac{20}{25} = 0,8 \text{ }^\circ\text{C}$$

Но этот перепад справедлив только для расчетной температуры наружного воздуха (например, $-30 \text{ }^\circ\text{C}$), который, как мы помним, продолжается не более 5 суток в течение отопительного периода в 200 суток, т.е. не более 2,5% по времени.

Рис. 1 Однотрубные вертикальные системы

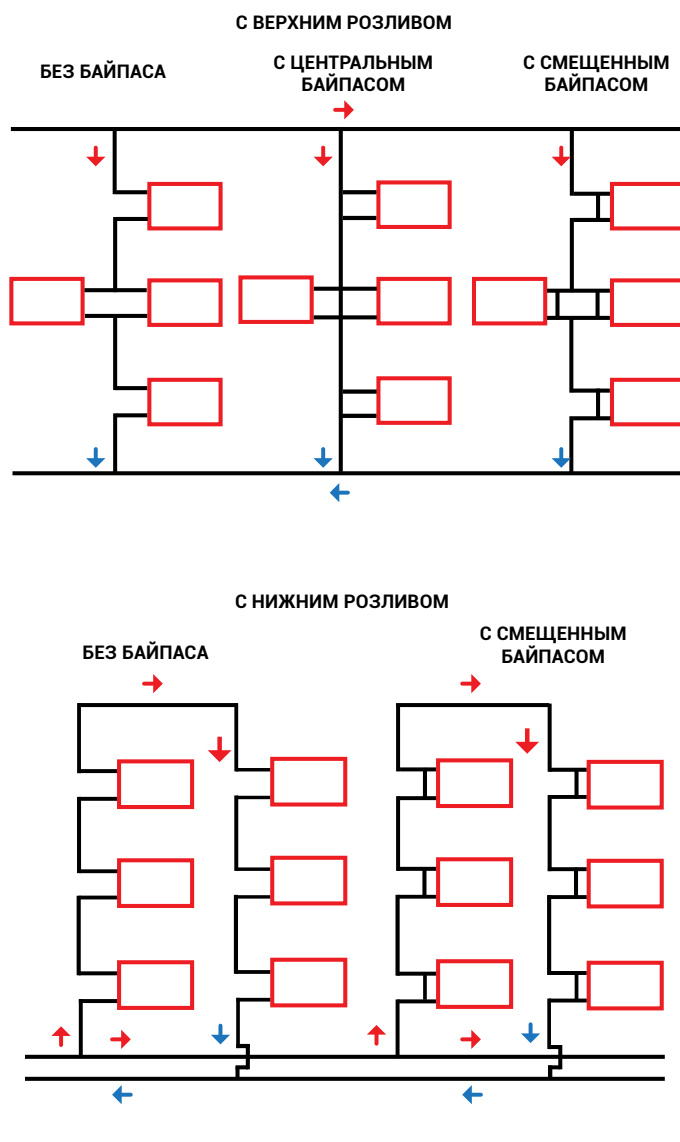


Рис. 2 Двухтрубные вертикальные системы

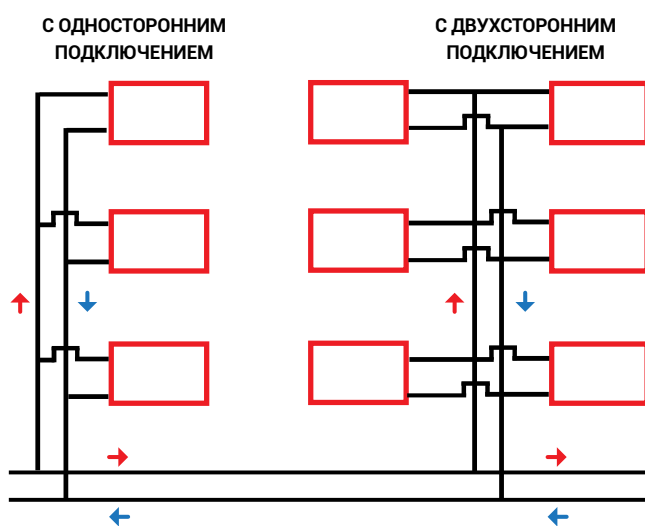
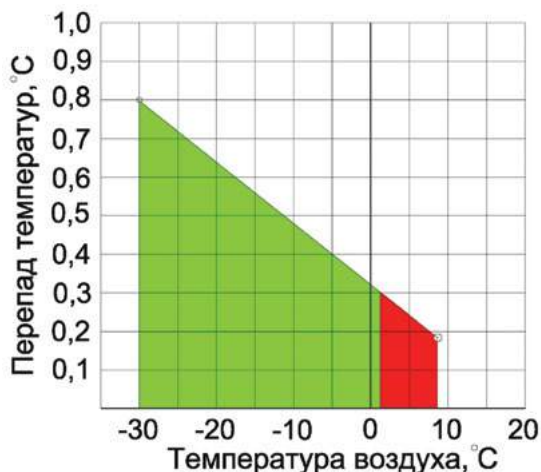


Рис. 3 График зависимости перепада температур от температуры наружного воздуха



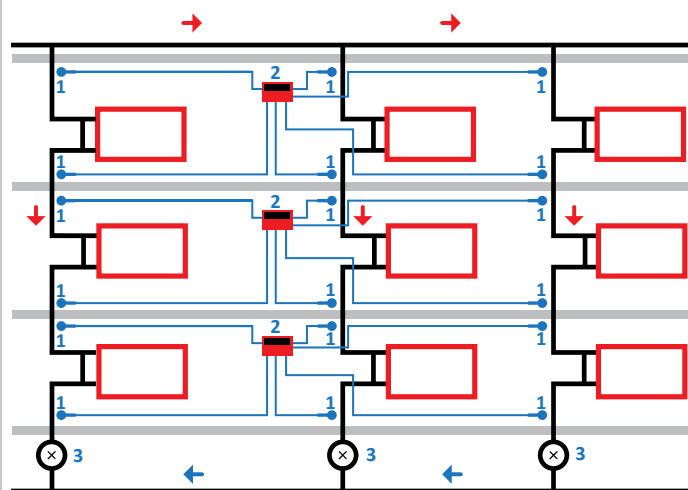
В начале и ближе к окончанию отопительного периода, когда среднесуточная температура наружного воздуха держится на уровне +8°C поэтажный перепад температур составит:

$$\Delta t_i = \frac{\Delta t \cdot (t_e - t_n)}{N \cdot (t_e - t_{np})} = \frac{20 \cdot (20 - 8)}{25 \cdot [20 - (-30)]} = 0,192 \text{ } ^\circ\text{C}.$$

Такой незначительный перепад температур датчикам с паспортной точностью 0,3 °C (как у большинства современных теплосчетчиков) просто не уловить, поэтому их показания будут нулевыми, несмотря на то, что тепловая энергия фактически потребляется. На (рис.3) красным цветом показана доля неучтенной тепловой энергии для приведенного примера.

Попытки как-то решить проблему учета тепла в вертикальных системах отопления предпринимались и предпринимаются. На схеме (рис.4) представлен вариант такого решения.

Рис. 4 Экспериментальная схема квартирного теплоучета



На каждом стояке квартиры устанавливается пара датчиков температуры 1 (на входе и выходе теплоносителя из квартиры). Каждый стояк оборудован общим расходомером 3 с импульсным выходом. Квартирный тепловычислитель 2 получает сигналы от всех квартирных датчиков температуры и от расходомеров каждого стояка.

При этом информация от датчиков и расходомеров может передаваться как по проводным линиям, так и по радиоканалу.

Суммируя данные о теплотреблении по каждому стояку, тепловычислитель рассчитывает данные о квартирном потреблении тепловой энергии. Опытная эксплуатация таких систем показала что, они удовлетворительно считают потребление тепловой энергии только при полностью открытых регулирующих органах на отопительных приборах, и искажают показание в межсезонье и при использовании различного рода терморегуляторов на радиаторах. Всё это связано с малой разницей температур входящего и уходящего из квартиры теплоносителя.

Рис. 5 Распределитель стоимости тепловой энергии



В последнее время достаточно активно стали использоваться квартирные распределители стоимости тепловой энергии (рис.5).

Распределитель - это прибор, который устанавливается на каждый отопительный прибор квартиры, и высчитывает некую теоретическую отвлеченную величину на основании введенных в него данных о номинальном тепловом потоке конкретного отопительного прибора, а также замера либо только температуры поверхности радиатора, либо — разницы температур между поверхностью радиатора и помещения.

Средством измерения распределители не являются. Они не дают точного представления о фактически потреблённой тепловой энергии, а служат лишь для сравнительной оценки примерного распределения общедомового теплоснабжения между квартирами. Методика такого учета изложена в **МДК 4.07.2004** и стандарте **АВОК 4.3-2007**.

Метод учета тепла с помощью распределителей используется скорее от безысходности, так как весьма уязвим.

- Во-первых, в прибор вводятся данные о номинальном тепловом потоке радиатора, которые не всегда являются достоверными.

- Во-вторых, в разных моделях нагревательных приборов средняя температура радиатора находится на разном уровне, меняющемся в зависимости от температурного напора.

- В-третьих, отопительный прибор должен быть протестирован для определения коэффициента термического контакта, и коэффициента влияния изменения температуры воздуха при применении одноточечных распределителей.

На практике это делается не всегда, в результате чего показания распределителей весьма далеки от реальности.

- В-четвёртых, показания распределителей очень легко исказить. Достаточно повесить влажную тряпку на одноточечный прибор или надеть картонную коробку на двухточечный, как «потребление тепла» данной квартирой резко снизится.

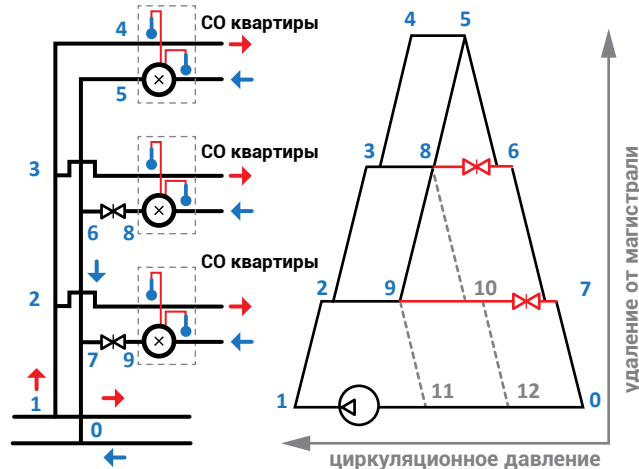
- В-пятых, для организации нормального распределения оплаты за потребленную тепловую энергию распределителями должны оснащаться все квартиры многоквартирного дома.

У пользователей такой «учёт» навряд ли вызовет оптимизм. Конфликты на тему «кто кого больше обманул» неизбежны.

Учитывая изложенные трудности учета тепла в вертикальных системах, при новом строительстве и реконструкции рекомендуется использовать горизонтальные схемы отопления. Квартирный узел учёта тепловой энергии в этом случае может располагаться как внутри квартиры, так и вне её.

Внутриквартирный узел учета тепловой энергии предусматривает наличие в квартире прямого и обратного стояка системы водяного отопления. Те есть, горизонтальные системы квартирного отопления подключаются к стоякам по двухтрубной схеме.

Рис. 6 Иллюстрация принципа гидравлической увязки



Как и в любой двухтрубной системе, квартирные вводы должны быть сбалансированы между собой с помощью вентилей, балансировочных клапанов, регуляторов перепада давления или кранов двойной регулировки. Для чего это делается, можно пояснить на следующей схеме (**рис.6**):

Теплоноситель в двухтрубной системе проходит от магистрали от **точки 1** до **точки 4**.

По мере продвижения циркуляционное давление снижается за счет потерь в трубах и тройниках (отражено на графике).

В системе отопления (СО) квартиры падение давления показано **участком 4-5**, причём такое же по величине падение давления происходит на всех этажах (**участки 3-8** и **2-9**). Возвращается теплоноситель по обратной магистрали **5-0**.

Для того, чтобы давление в точках соединения обратных трубопроводов со стояком (**точки 6 и 7**) сравнялось, на **1-м** и **2-м** ярусе необходимо создать дополнительное сопротивление (**участки 8-6** и **9-7**).

Если этого не будет сделано на **2-м** ярусе (**удаление участка 8-6**), то теплоноситель пойдёт по пути **1-3-8-10-12**, оставив без тепла **3-й** ярус.

Если убрать балансировочную арматуру на **1-м** ярусе (**удалить участок 9-7**), то теплоноситель будет циркулировать по пути **1-2-9-11**, игнорируя **2-й** и **3-й** ярусы.

Рис. 7 Вентили VT.052 и VTр.714



Опасность балансировки с помощью вентиля (рис.7) и балансировочных клапанов (рис.8) заключается в том, что эта арматура не защищена от несанкционированного вмешательства. А любое изменение монтажной настройки может привести к разбалансировке всей системы.

В этом отношении наиболее приемлемым и надёжным представляется использование кранов двойной регулировки КРДП (рис.9). Особенность этих кранов заключается в том, что изменить монтажную настройку крана можно только при слитом теплоносителе, а значит, несанкционированное вмешательство исключено.

Балансировка систем отопления при помощи арматуры с фиксированной пропускной способностью (вентили, балансировочные клапаны, КРДП) не лишена некоторых недостатков.

- Во-первых, при работе ручных или термостатических клапанов могут возникнуть проблемы учета тепловой энергии из-за малого расхода и малого перепада температур.

- Во-вторых, снижение расхода через какой-либо участок системы вызывает повышение расходов через остальные участки.

Повышение расчетного расхода через квартирные узлы приводит к быстрому выходу из строя теплосчетчиков, появлению шума в радиаторных терморегуляторах и некорректной их работе (особенно это касается термостатических клапанов с газонаполненными термочувствительными элементами).

Использование циркуляционных насосов с частотным регулированием частично нивелирует проблему превышения расчетных расходов, но полностью её не снимает и не всегда экономически целесообразно.

Ряд фирм под лозунгом «повышения энергоэффективности» настоятельно рекомендует оснащать квартирные тепловые вводы автоматическими регуляторами перепада давлений (рис.10).

Рис. 8 Балансировочный клапан VT.054



Рис. 9 Кран двойной регулировки (КРДП) VT.004



Рис. 10 Автоматический регулятор перепада давлений



Как правило, регулятор перепада давления включается в работу квартирного узла учёта тепловой энергии по безбайпасной схеме, представленной на **рисунке 11**, которая защищает квартирную систему отопления от перерасхода теплоносителя, но не решает проблему малых расходов в межсезонье.

К тому же, сами регуляторы перепада давления имеют ряд недостатков:

- импульсные медные трубки, связывающие регулятор, установленный на обратной линии с точкой отбора импульса, имеют весьма малый диаметр внутреннего канала (не более 2мм).

В отечественных системах центрального отопления уже через несколько месяцев работы эти трубки полностью «зарастают» шламом, и весь прибор становится бесполезным «архитектурным излишеством»;

- установка регулятора не решает проблему учета малых расходов при работе радиаторных термостатов;

- смысл в установке регуляторов перепада давления появляется только в том случае, когда система отопления оснащена циркуляционным насосом с частотным регулированием;

- экономичность использования квартирных регуляторов весьма сомнительна. Давайте произведём несложный расчёт.

Допустим, расчетная теплотребность квартиры площадью **100м²** составляет **10 кВт**. Расчетный расход через узел ввода: **10000 / (4187х20) = 0,119 кг/с (G=0,43 м³/час)**. Расчетные потери давления - **50кПа (H=5м в. ст.)**

При **КПД** циркуляционного насоса **50% (η=0,5)**, доля его рабочей мощности, приходящаяся на обслуживание данной квартиры составит:

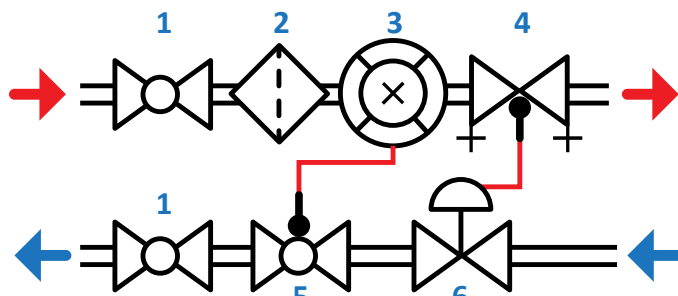
$$N = \frac{\rho g H G}{3600 \eta} = \frac{980 \cdot 9,8 \cdot 5 \cdot 0,43}{3600 \cdot 0,5} = 11,5 \text{ Вт}$$

Что за отопительный период в 200 суток даст суммарное потребление электроэнергии **200 х 11,5 х 24 = 55200 Вт ч** или **55,2 кВт ч**, что при нынешнем тарифе 2,5 руб/кВт ч составит в год 138 рублей.

Даже если представить фантастическую ситуацию, когда установка регулятора перепада давлений на квартиру сэкономит всю потребную электроэнергию, то этот прибор, стоимость которого на сегодня составляет порядка 10000 рублей, сможет окупить себя за каких-то **10000/138=72** года (при паспортном сроке службы в 15 лет). Да и экономит регулятор не 100% потребляемой электроэнергии, а существенно ниже. Не слишком ли разорительная подобная «энергетическая эффективность»?

Гораздо проще и дешевле, проблему превышения расходов решить при помощи перепускного клапана или устройства байпаса с трехходовым клапаном, оборудованным сервоприводом, который управляется по команде комнатного термостата. Именно последний принцип использован в квартирных станциях Valtec Control Modul (**рис. 12**).

Рис. 11 Пример схемы квартирного узла с регулятором перепада давлений

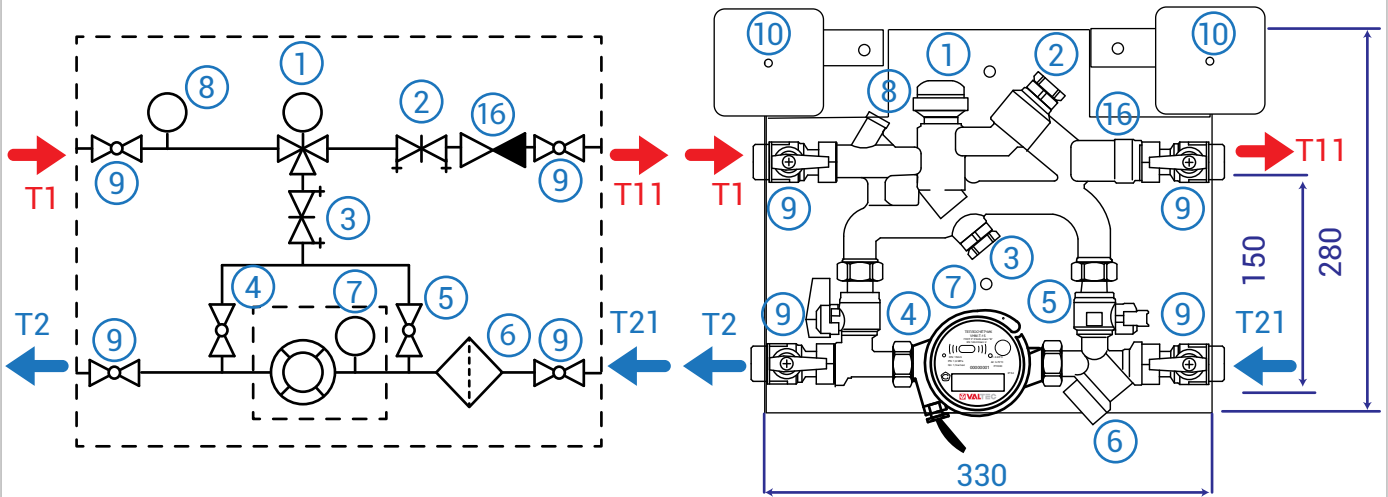


1. Шаровый кран
2. Фильтр
3. Теплосчетчик
4. Балансировочный клапан
5. Шаровый кран с патрубком для датчика температуры
6. Регулятор перепада давлений

Рис. 12 Квартирная станция VALTEC Control Modul



Рис. 13 Схема станции VALTEC Control Modul



СОСТАВ СТАНЦИИ

Позиция	Наименование
1	Трехходовой термостатический клапан
2	Балансировочный клапан квартирного контура отопления
3	Балансировочный клапан байпаса
4	Шаровой кран рабочего байпаса
5	Шаровой кран настроечного байпаса
6	Фильтр механической очистки
7	Теплосчетчик VALTEC VHM-T
8	Патрубок для установки датчика температуры
9	Кран шаровой
10	Клеммная коробка
16	Клапан обратный

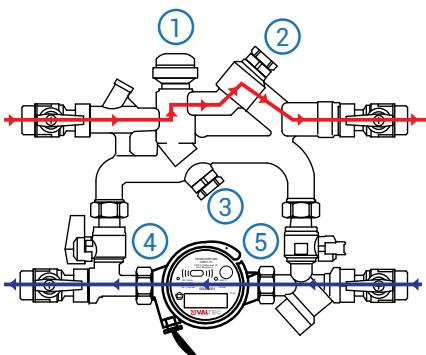
Эти станции позволяют осуществлять гидравлическую балансировку и аппаратную настройку вторичного контура и байпаса, производить автоматическое переключение направления потока с квартиры в байпас по команде комнатного термостата и организовывать удаленное считывание показаний теплосчетчика по проводной или беспроводной сети. Тепломеханическая схема станции приведена на **рисунке 13**.

Предусмотрено три штатных режима работы станции (**рис. 14**):

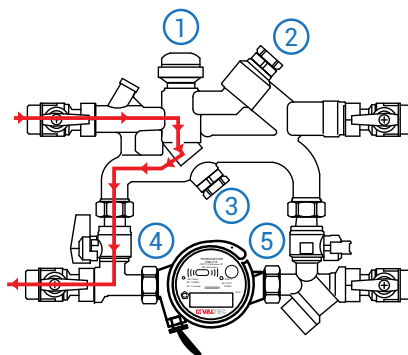
- весь теплоноситель направлен в квартирную систему отопления (**режим 1**);
- весь теплоноситель направлен в рабочий байпас (**режим 2**);
- теплоноситель направлен через настроечный байпас для настройки балансировочного клапана рабочего байпаса (**позиция 3 на схеме**) (**режим 3**).

Рис. 14 Режимы работы станции

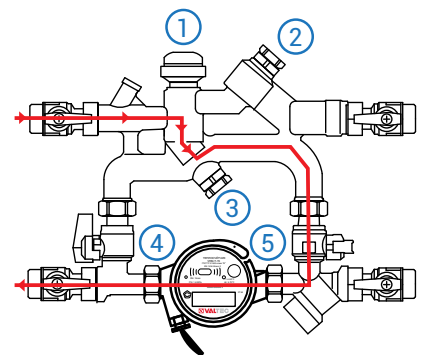
РЕЖИМ 1



РЕЖИМ 2



РЕЖИМ 3



В случае применения квартирной станции квартирная система отопления решается по однотрубной схеме, в которой работа радиаторных термостатов существенно не влияет на общий квартирный расход (рис. 15).

При отсутствии запроса на отопление (комнатный термостат выключен), сервопривод перенаправляет весь поступающий теплоноситель в байпас, поэтому общее гидравлическое сопротивление узла не меняется и не влияет на работу остальных квартирных станций дома.

Через расходомер теплосчетчика в этом случае проходит количество теплоносителя, достаточное для его корректной работы. Перерасход теплоносителя через станцию такой системе также не грозит.

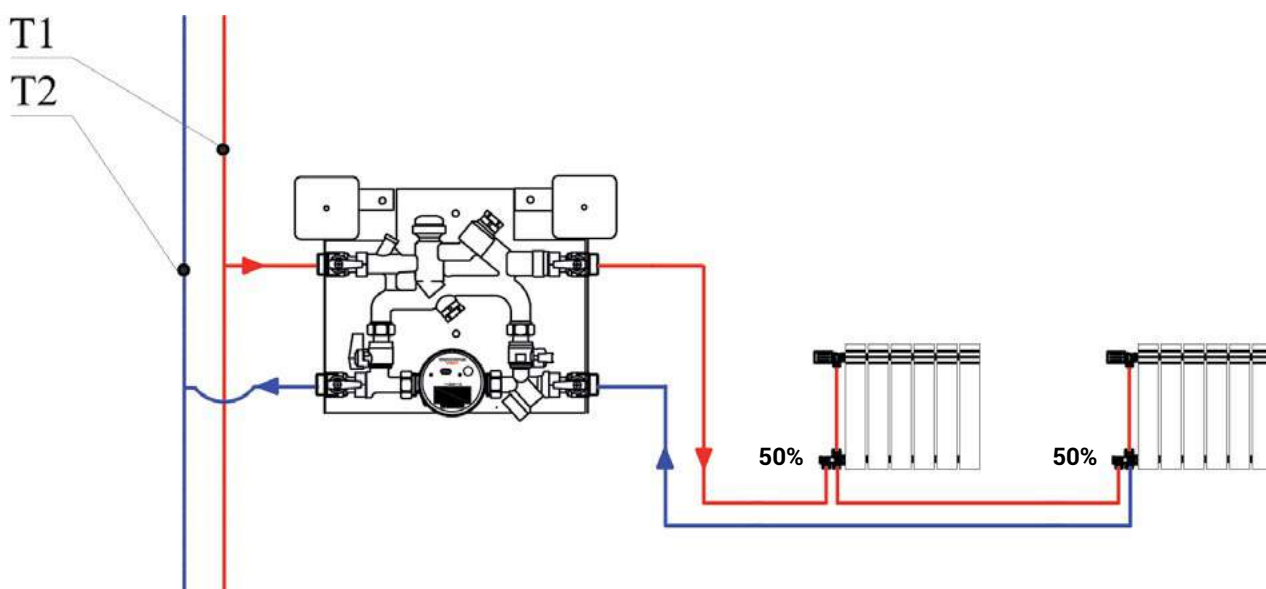
Комнатный термостат, управляющий работой сервопривода квартирной станции, устанавливается,

как правило, в самом помещении, в котором требуется поддерживать самую высокую температуру в квартире (гостиная, детская). Желательно также, чтобы это помещение меньше всего подвергалось инсоляции (прогреву солнечными лучами).

Если все эти условия выполняются, то совместная работа термостата и термостатического клапана станции будут поддерживать заданный режим поступления теплоносителя в квартиру.

В этом случае радиаторные терморегуляторы (термостатические клапаны) выполняют чисто корректирующую функцию, ограничивая расход теплоносителя через отопительный прибор в «экстремальных» ситуациях (пришли гости, повышенная инсоляция и т.п.).

Рис. 15 Схема подключения отопительных приборов



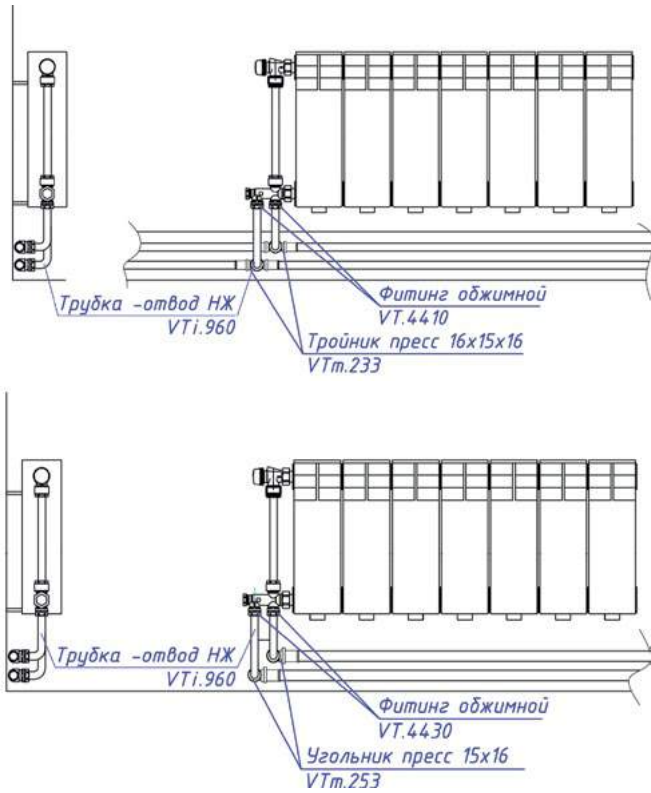
Квартирная станция **Valtec Control Modul** может быть установлена как в самой квартире, так и на лестничной площадке. При установке станции на лестничной площадке появляется ряд следующих преимуществ:

- стояки выносятся за пределы квартиры, они не занимают пространство и не грозят заливом при разгерметизации;
- упрощается обслуживание и ремонт станций эксплуатирующими организациями;

- коммунальные работники могут визуально контролировать работу приборов учета;
- появляется возможность ограничивать потребление ресурсов злостными неплательщиками.

Горизонтальная разводка системы квартирного отопления может выполняться скрыто в стяжке пола, но целесообразнее представляется плинтусное исполнение, т.к. в этом случае затраты на возможную замену или ремонт трубопроводов значительно ниже.

Рис. 16 Вариант подключения радиаторов при плинтусной разводке



Прокладываемые внутри профильного плинтуса трубы соединяются с отопительными приборами с помощью специальных «плинтусных» фитингов. На **рисунке 16** приведён пример использования пресс-фитингов VTm.233i и VTm.253i (**рис. 17**) для присоединения к радиаторным термостатическим узлам бокового подключения.

В этом случае непосредственно к узлу подключаются отводы VTi.960, выполненные из нержавеющей стали.

Можно также использовать пресс-фитинги VTm.281 и VTm.282, которые имеют интегрированные латунные хромированные трубки (**Рис. 18**).

Удобнее, когда квартирный узел учета тепловой энергии объединяется в единый блок с квартирными узлами учета холодной и горячей воды. Для таких случаев выпускается модификация квартирной станции Valtec Control Modul F (**Рис. 19**).

В состав этой станции кроме «теплого» узла включены водопроводные вводы в составе шаровых кранов с фильтрами механической очистки, регуляторов давления и водосчетчиков.

Существенным преимуществом использования квартирных станций является то, что они легко могут интегрироваться в общедомовую автоматизированную систему контроля и учета энергоресурсов (АСКУЭ). Причём, эта задача может быть решена, как по проводной схеме (система Valtec M-Bus), так и по беспроводной схеме (система Valtec Cascad).

Рис. 17 Пресс-фитинги с переходом на обжим



Рис. 18 «Плинтусные» фитинги с интегрированной хромированной трубкой



Рис. 19 Квартирная станция VALTEC Control Modul F



При диспетчеризации по системе Valtec M-Bus квартирная станция оснащается теплосчетчиком VHM-T-B, который имеет два импульсных ввода от водосчетчиков VLF-I и единый выход по протоколу M-Bus (см. рис. 20).

По проводной шине M-Bus сигнал передается на концентратор, а далее любым способом (дисплей, компьютер, карта памяти, интернет, проводная сеть, модем) - на диспетчерский пункт.

Данная сеть может быть развита до неограниченного количества каналов.

При беспроводной системе АСКУЭ – Valtec Cascad в состав квартирной станции включаются водосчетчики и теплосчетчик с импульсными выходами, которые через трёхканальный преобразователь импульсов VT.D100 и концентратор VT.J100 передают данные на сервер диспетчеризации VT.Server. Сервер может обрабатывать до 3500 точек учёта (см. рис.21).

Рис. 20 Принципиальная схема организации АСКУЭ Valtec M-Bus



Рис. 21 Принципиальная схема организации АСКУЭ Valtec Cascad

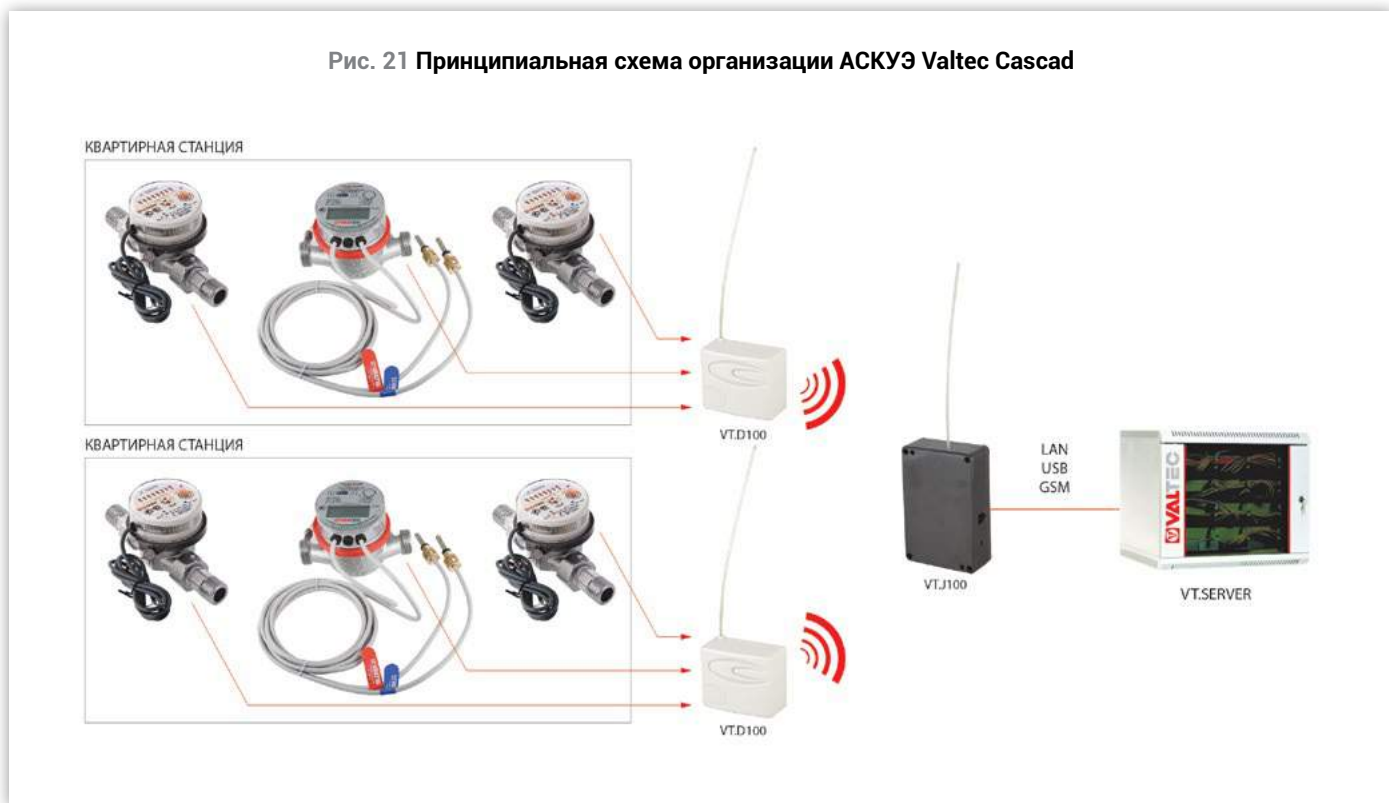


Рис. 22 Фрагмент проекта жилого дома с квартирными станциями IV Control Modul

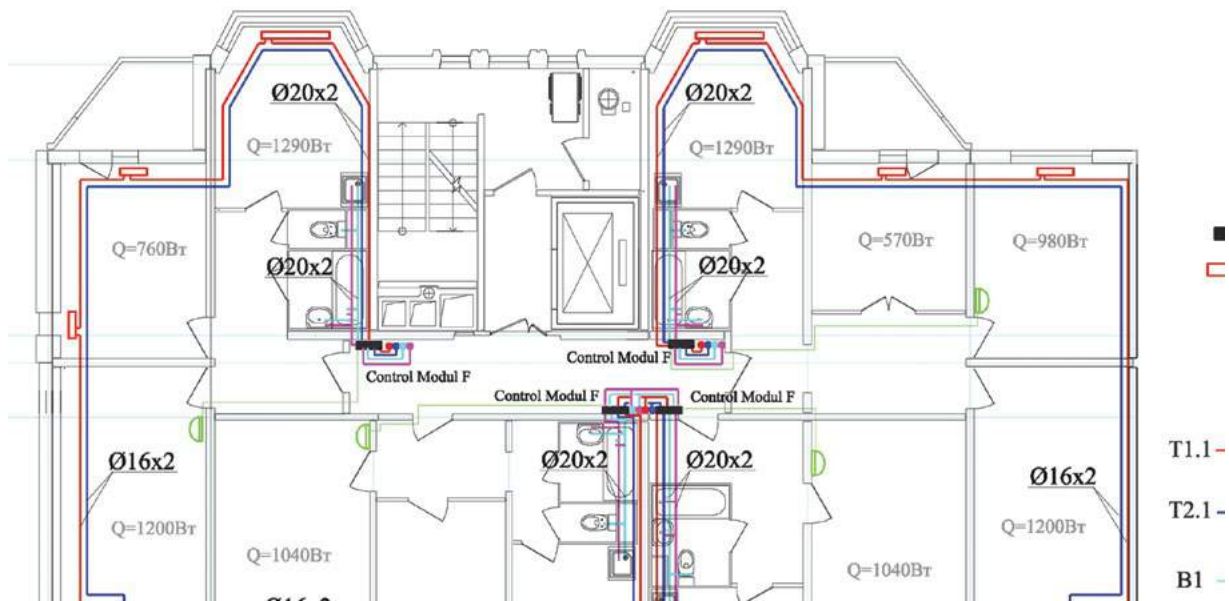


Рис. 23 Шкафная станция IV Control Modul

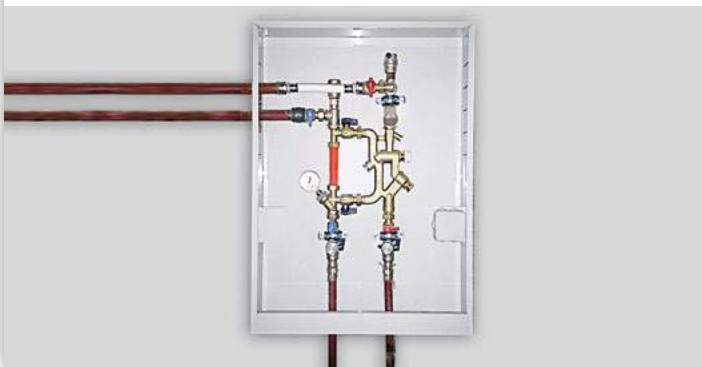


Рис. 24 Шкафные станции IV Control Modul на лестничной площадке строящегося многоквартирного дома



Квартирные станции Valtec сейчас уже не воспринимаются, как некая «экзотика». Их преимущества очевидны для всех участников инвестиционного процесса:

- проектировщикам гораздо легче включить в проект и в спецификацию комплектную проектную станцию, чем поэлементно прорисовывать и рассчитывать каждую инженерную систему;
- строителям не надо возиться со сборкой и отладкой узлов ввода. Шкафная станция просто присоединяется к стоякам и квартирным трубопроводам, а её настройка занимает не более 15 минут;
- жилец получает возможность реально экономить потребляемые им энергоресурсы, настраивать уровень микроклимата в помещениях по своему желанию, а главное – оплачивать только то, что он фактически потребил;
- эксплуатирующие организации имеют свободный доступ к узлу учета энергоресурсов. Они могут его обслуживать и контролировать его работу, не беспокоя жильцов. Кроме того, имеется возможность ограничения доступа к ресурсам недобросовестных владельцев квартир, которые уклоняются от уплаты за эти ресурсы.

На **рисунке 22** приведён фрагмент реализованного проекта многоквартирного жилого дома, в котором заложены квартирные станции вертикального исполнения Valtec IV Control Modul, расположенные на лестничной площадке. Сервоприводы термостатических клапанов станций управляются комнатными термостатами VT.AC 701.

Система отопления квартир использована горизонтальная плintусная из металлополимерных труб Valtec Pex-Al-Pex.

В заключение хотелось бы привести несколько фотографий с практически реализованных объектов, на которых были использованы квартирные станции Valtec (**рис.23,24,25**).

Рис. 25 Плинтусная разводка на строящемся объекте



Более подробную информацию о квартирных станциях можно получить на сайте valtec.ru и у специалистов VALTEC по тел. 8 (800) 100-03-73

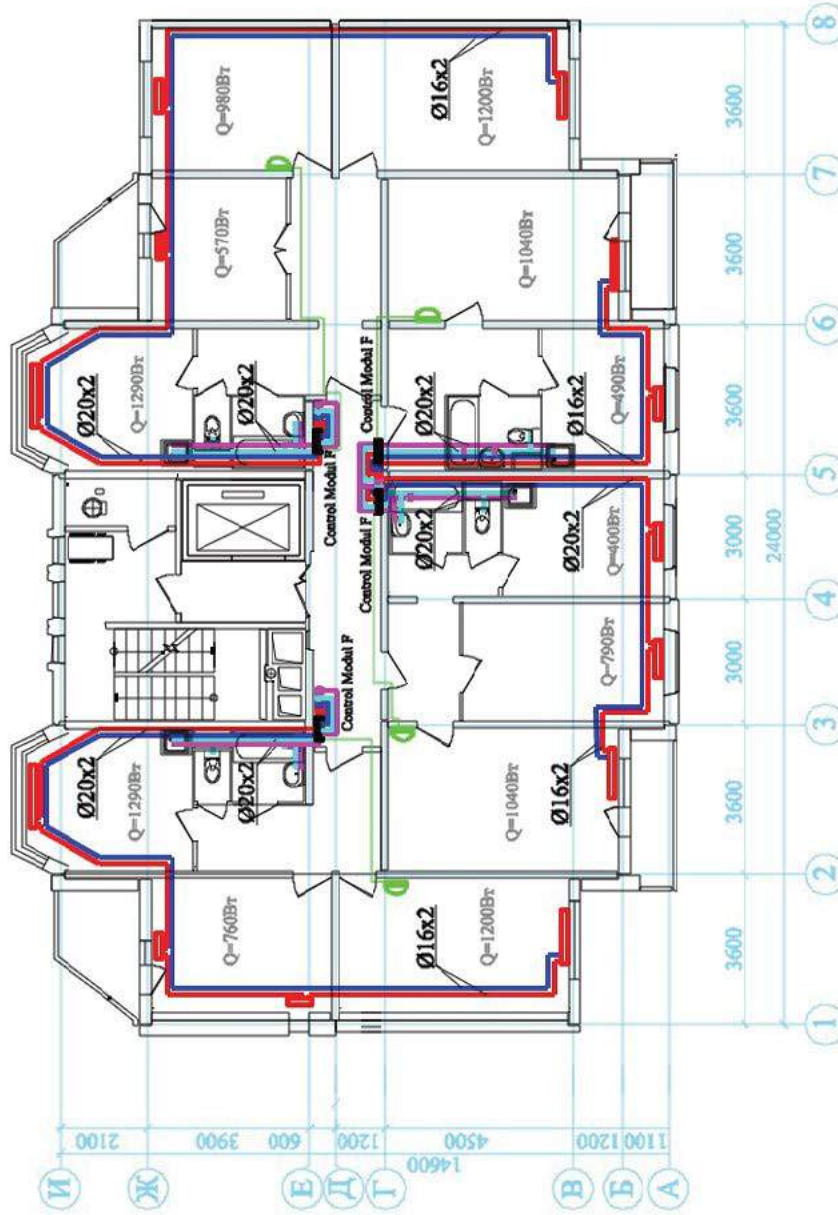
Приложения:

1. План типовой секции жилого многоэтажного дома с применением станции Control Modul F.
2. Схемы водоснабжения и отопления жилого многоэтажного дома с применением станции Control Modul F.

Полякова Е.В.

Изм. N подл.	Подпись и дата	Взам. инв. N

**ПЛАН ТИПОВОЙ СЕКЦИИ ЖИЛОГО МНОГОЭТАЖНОГО ДОМА
С ПРИМЕНЕНИЕМ СТАНЦИЙ CONTROL MODUL F**



УСЛОВНЫЕ ОБОЗНАЧЕНИЯ

- квартирная станция
- радиатор
- подающие стояки теплоснабжения T1
- стояки холодного водоснабжения В1
- обратные стояки теплоснабжения T2
- стояки горячего водоснабжения T3
- подающий трубопровод системы отопления квартиры (t1=80°C)
- обратный трубопровод системы отопления квартиры (t2=60°C)
- квартирный трубопровод холодного водоснабжения
- квартирный трубопровод горячего водоснабжения
- термостат комнатный VT.AC710

Примечание:
В данном примере полотноцесушителя
используются электрические.

Изм.	лист	№ документа	подпись	дата

Приложение 1

Лист
1

Имя, N пола.	Подпись и дата	Взам. явна. N

СХЕМЫ ВОДОСНАБЖЕНИЯ И ОТОПЛЕНИЯ ЖИЛОГО МНОГОЭТАЖНОГО ДОМА С ПРИМЕНЕНИЕМ СТАНЦИИ CONTROL MODUL F

Схема типового стояка
Т1, Т2, В1, Т3

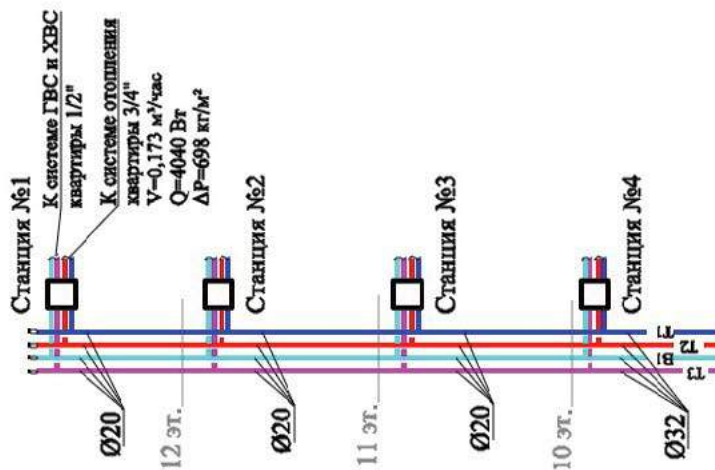
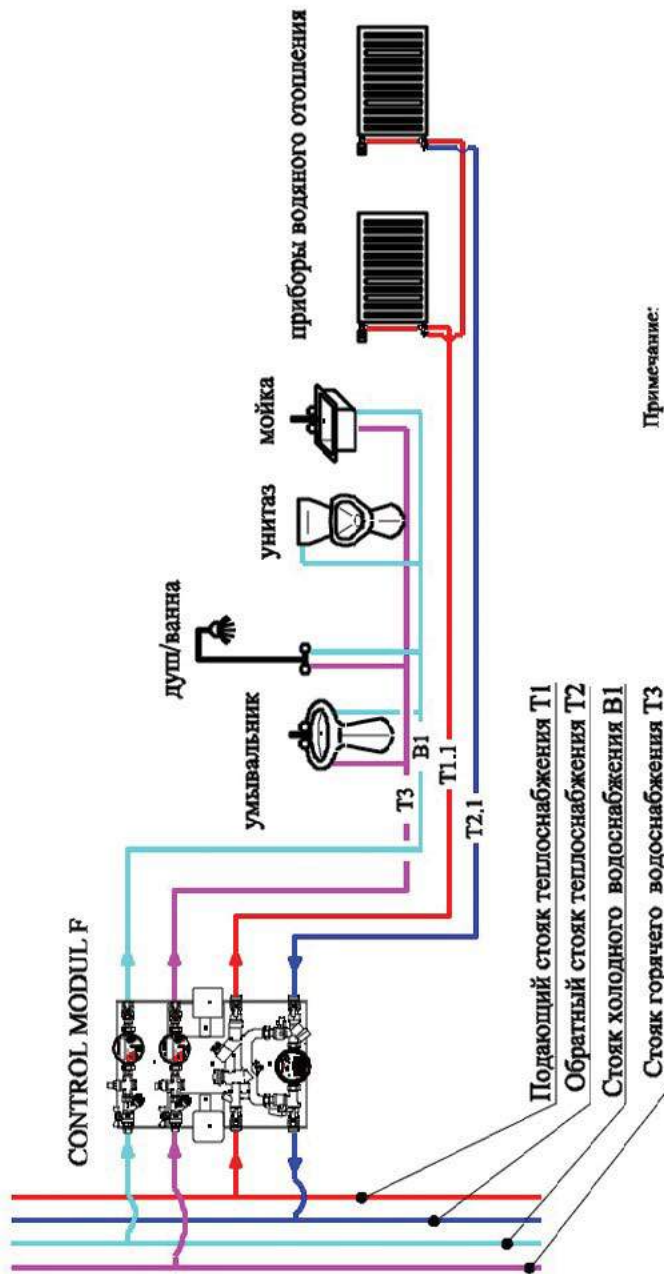


Схема тепло- и водоснабжения
типовой квартиры



Примечание:
В данном примере полотенцесушители
используются электрические.

изм.	лист	№ документа	подпись	дата

Приложение 2

Лист 2

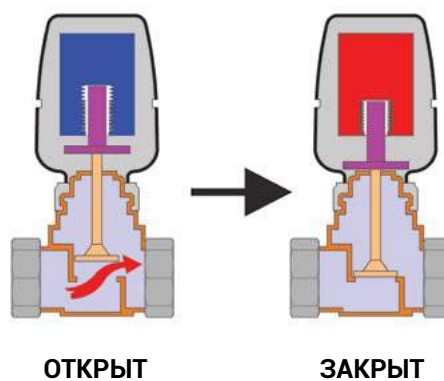
Особенности расчета систем отопления с термостатическими клапанами

Радиаторные термостатические клапаны по сравнению с ручными радиаторными клапанами имеют особенности при гидравлическом расчёте. Эти особенности связаны со спецификой работы клапана в системе отопления.

Эти клапаны управляются термочувствительным элементом (термоголовкой), внутри которого находится сильфонная ёмкость, заполненная рабочим телом (газ, жидкость, твёрдое вещество) с высоким коэффициентом объемного расширения. При изменении температуры воздуха, окружающего сильфон, рабочее тело расширяется или сжимается, деформируя сильфон, который, в свою очередь, воздействует на шток клапана, открывая или закрывая его (рис. 1).



рис.1 Схема работы термостатического клапана



Основной гидравлической характеристикой термостатического клапана является пропускная способность K_v . Это расход воды, который способен пропустить через себя клапан при перепаде давления на нём в 1 бар. Индекс «V» обозначает, что коэффициент отнесен к часовому объёмному расходу и измеряется в $\text{м}^3/\text{час}$. Зная пропускную способность клапана и расход воды через него, можно определить потерю давления на клапане по формуле:

$$\Delta P_k = \left(\frac{V}{k_v} \right)^2 \cdot 100; [\text{кПа}]$$

Регулирующие клапаны, в зависимости от степени открытия, имеют разную пропускную способность. Пропускная способность полностью открытого клапана обозначается K_{vs} . Потери давления на термостатическом радиаторном клапане при гидравлических расчетах, как правило, определяются не при полном открытии, а для определенной зоны пропорциональности - X_p .

■ X_p – это зона работы термостатического клапана в интервале от температуры воздуха при полном закрытии (точка S на графике регулирования) до установленного пользователем значения допустимого отклонения температуры. Например, если коэффициент K_v дан при $X_p=S-2$, и термозлемент установлен в такое положение, что при температуре воздуха 22°C клапан будет полностью закрыт, то этот коэффициент будет соответствовать положению клапана при температуре окружающего воздуха 20°C .

Отсюда можно сделать вывод, что температура воздуха в помещении будет колебаться в пределах от 20 до 22°C . Показатель X_p влияет на точность поддержания температуры. При $X_p=(S-1)$ диапазон поддержания температуры внутреннего воздуха будет в пределах 1°C . При $X_p=(S-2)$ – диапазон 2°C . Зона $X_p=(S-\text{max})$ характеризует работу клапана без термочувствительного элемента.

В соответствии с **ГОСТ 30494-2011** «Здания жилые и общественные. Параметры микроклимата в помещениях», в холодный период года в жилой комнате оптимальные температуры лежат в пределах от 20°C до 22°C , то есть, диапазон поддержания температуры в жилых помещениях зданий должна быть 2°C . Таким образом, для расчёта жилых зданий требуется выбор значений пропускной способности при $X_p=(S-2)$.

рис.2 Термостатический клапан VT.031

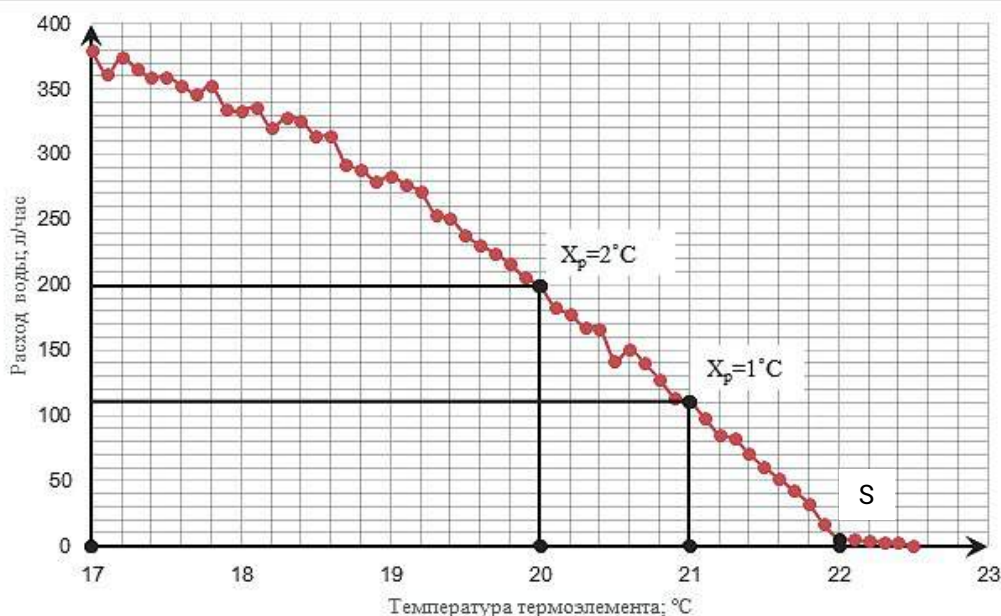
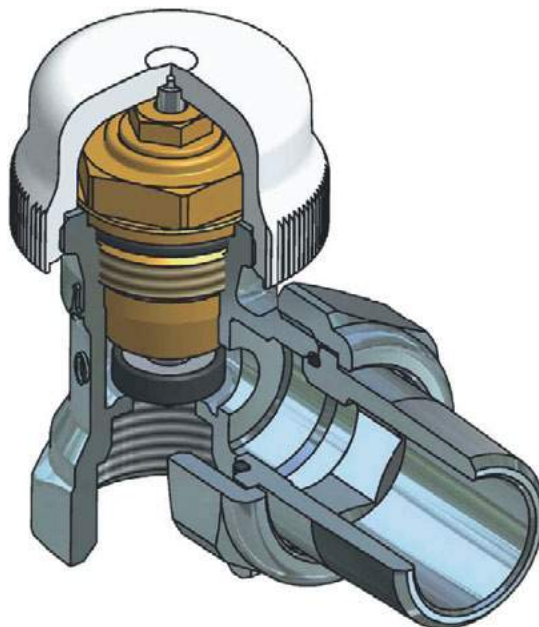


рис.3

График закрытия клапана VT.031, с термозлементом

VT.5000 (поз.3) при перепаде давлений 10 кПа

На графике (рис. 3) показаны результаты стендового испытания термостатического клапана VT.031 (рис. 2) с термостатическим элементом VT.5000 с установленным значением «3». Точка S на графике это теоретическая точка закрытия клапана. Это температура, при которой клапан имеет настолько маленький расход, что его можно считать, практически, закрытым.

Как видно на графике, клапан закрывается при температуре 22°C . При понижении температуры воздуха, пропускная способность клапана увеличивается. На графике показаны значения расхода воды через клапан при температуре 21°C (S-1) и 22°C (S-2).

Таблица 1 Паспортные значения пропускной способности клапана VT.031

DN клапана		1/2"
Значение коэффициента пропускной способности Kv при Xp: м³/час	S-1	0,35
	S-1,5	0,45
	S-2	0,63
	S-3	0,9
Kvs: м³/час		1,2

В **таблице 1** представлены паспортные значения пропускной способности термостатического клапана VT.031 при различных Xp.

Клапаны испытываются на специальном стенде, показанном на **рисунке 4**. В ходе испытаний поддерживается постоянный перепад давления на клапане равный 10 кПа. Температура воздуха имитируется при помощи термостатической ванны с водой, в которую погружается термоголовка. Температура воды в ванне постепенно повышается, при этом фиксируются расходы воды через клапан до полного закрытия.

Кроме значений пропускной способности термостатические клапаны характеризуются таким показателем, как максимальный перепад давления. Это такой перепад давления на клапане, при котором он сохраняет паспортные регулировочные характеристики, не создаёт шум, а так же, при котором все элементы клапана не будут подвержены преждевременному износу.

В зависимости от конструкции, термостатические клапаны имеют различные значения максимального перепада давления. У большинства представленных на рынке радиаторных термостатических клапанов эта характеристика составляет 20 кПа. При этом, согласно **п. 5.2.4 ГОСТ 30815-2002**, температура, при которой клапан закрывается, при максимальном перепаде давления, не должна отличаться от температуры закрытия при перепаде давления 10 кПа более чем на 1°C.

На графике (**рис. 5**) видно, что клапан VT.031 при перепаде давления 10 кПа и уставке термозлемента «3» закрывается при 22°C.

рис.4 Стендовые испытания клапана VT.032 на пропускную способность по ГОСТ 30815-2002

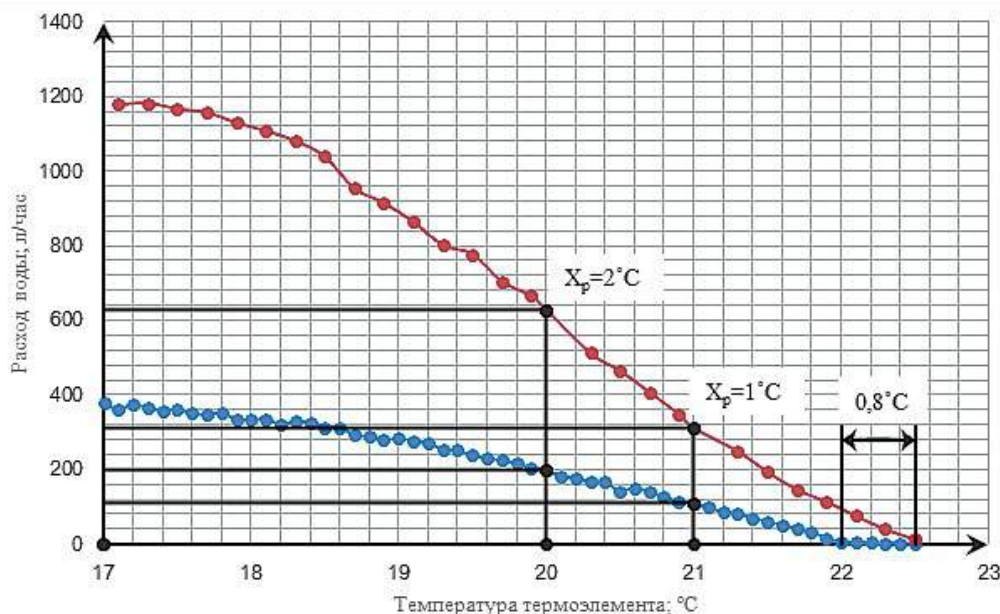


рис.5
Графики закрытия клапана VT.031, с термозлементом VT.5000: при перепаде давления 10 кПа (синяя линия) и 100 кПа (красная линия)

При перепаде давления 100 кПа клапан закрывается при температуре 22,8°C. Влияние дифференциального давления составляет 0,8°C. Таким образом, в реальных условиях эксплуатации такого клапана при перепадах давления от 0 до 100кПа, при настройке термозлемента на цифру «3», диапазон температур закрытия клапана составит от 22 до 23°C.

Если в реальных условиях эксплуатации перепад давления на клапане вырастет больше максимального, то клапан может создавать недопустимый шум, а также его характеристики будут существенно отличаться от паспортных.

Из-за чего же происходит увеличение перепада давления на термостатическом клапане во время эксплуатации? Дело в том, что в современных двухтрубных системах отопления расход теплоносителя в системе постоянно меняется, в зависимости от текущего теплотребления. Какие-то терморегуляторы открываются, какие-то – закрываются. Изменение расходов по участкам приводит к изменению распределения давлений.

Для примера рассмотрим простейшую схему (рис. 6) с двумя радиаторами. Перед каждым радиатором установлен термостатический клапан. На общей линии находится регулирующий вентиль.

Допустим, что потери давления на каждом термостатическом клапане составляет 10 кПа, потери давления на вентиле - 90 кПа, общий расход теплоносителя 0,2 м³/час и расход теплоносителя через каждый радиатор - 0,1 м³/час. Потери давления в трубопроводах пренебрегаем. Полные потери давления в этой системе составляют 100 кПа, и они поддерживаются на постоянном уровне. Гидравлику такой системы можно представить следующей системой уравнений:

$$\Delta P_0 = \left(\frac{V_0}{k_{вб}}\right)^2 \cdot 100 + \left(\frac{V_p}{k_{т.к.}}\right)^2 \cdot 100 = 100 \text{ кПа}$$

$$k_{вб} = \frac{V_0}{\sqrt{\Delta P_0/100}} = \frac{0,2}{\sqrt{90/100}} = 0,21 \text{ м}^3/\text{час}$$

$$k_{т.к.} = \frac{V_p}{\sqrt{\Delta P_{т.к.}/100}} = \frac{0,1}{\sqrt{10/100}} = 0,32 \text{ м}^3/\text{час}$$

Где: V_0 – общий расход; [м³/час]

V_p – расход через радиаторы; [м³/час]

$k_{вб}$ – пропускная способность вентилей; [м³/час]

$k_{т.к.}$ – пропускная способность термостатических клапанов; [м³/час]

ΔP_0 – перепад давления на вентиле; [Па]

$\Delta P_{т.к.}$ – перепад давления на термостатическом клапане; [Па]

рис.6 Расчетная схема с 2-мя радиаторами

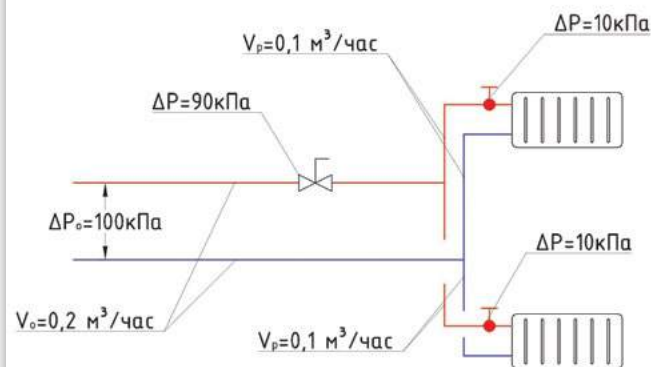
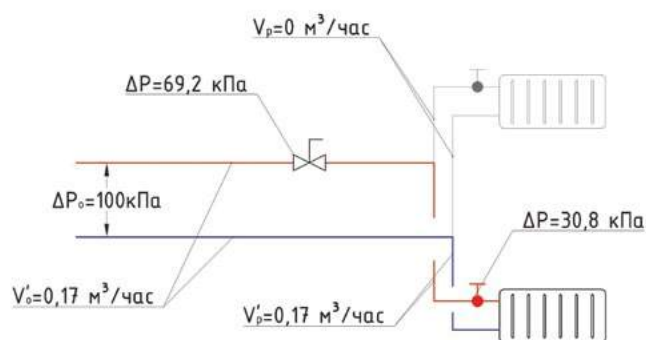


рис.7 Расчетная схема с отключенным радиатором



Предположим, что в помещении, где установлен верхний радиатор, температура увеличилась, и термостатический клапан полностью перекрыл поток теплоносителя через него (рис 7). В этом случае весь расход будет идти только через нижний радиатор. Перепад давления в системе выразится следующей формулой:

$$\Delta P_0 = \left(\frac{V'_0}{k_{вб}}\right)^2 \cdot 100 + \left(\frac{V'_p}{k_{т.к.}}\right)^2 \cdot 100 = 100 \text{ кПа}$$

Где V'_0 – общий расход в системе после отключения одного термостатического клапана; [м³/час]

V'_p – расход теплоносителя через радиатор, в данном случае он будет равен общему расходу; [м³/час].

Если принять во внимание, что перепад давления поддерживается постоянным (равным 100 кПа), то можно определить расход, который установится в системе после отключения одного из радиаторов.

$$V'_0 = \sqrt{\frac{\Delta P_0 / 100}{\frac{1}{k_{VB}^2} + \frac{1}{k_{VT.K.}^2}}} = \sqrt{\frac{100 / 100}{\frac{1}{0,21^2} + \frac{1}{0,32^2}}} = 0,176 \text{ м}^3/\text{час}$$

Потери давления на вентиле снизятся, так как общий расход через вентиль уменьшился с 0,2 до 0,176 м³/час. Потери давления на термостатическом клапане наоборот вырастут, потому что расход через него вырос с 0,1 до 0,176 м³/час. Потери давления на вентиле и термостатическом клапане составят:

$$\Delta P_B = \left(\frac{V'_0}{k_{VB}}\right)^2 \cdot 100 = \left(\frac{0,176}{0,21}\right)^2 \cdot 100 = 69,9 \text{ кПа}$$

$$\Delta P_{T.K.} = \left(\frac{V'_0}{k_{VT.K.}}\right)^2 \cdot 100 = \left(\frac{0,176}{0,32}\right)^2 \cdot 100 = 30,1 \text{ кПа}$$

Из приведённых расчетов можно сделать вывод, что перепад давления на термостатическом клапане нижнего радиатора при открытии и закрытии термостатического клапана верхнего радиатора будет варьироваться от 10 до 30,1 кПа.

Но что будет, если оба клапана перекроют движение теплоносителя? В этом случае потери давления на вентиле будут нулевыми, так как движения теплоносителя через него не будет. Следовательно, разница давлений до золотника/после золотника в каждом радиаторном клапане будет равна располагаемому напору и составит 100 кПа.

Если используются клапаны с допустимым перепадом давлений меньше этой величины, то клапан может открыться, несмотря на отсутствии реальной потребности в этом. Поэтому, перепад давлений на регулируемом участке сети должен быть ниже максимально допустимого перепада давления на каждом терморегуляторе.

Предположим, что вместо двух радиаторов в системе установлено некое множество радиаторов. Если в какой-то момент все терморегуляторы, кроме одного, закроются, то потери давления на вентиле будут стремиться к 0, а перепад давления на открытом термостатическом клапане будет стремиться к располагаемому напору, т.е., для нашего примера, к 100 кПа.

В этом случае расход теплоносителя через открытый радиатор будет стремиться к величине:

$$V''_p = \sqrt{\Delta P_B / 100} \cdot k_{VT.K.} = \sqrt{100 / 100} \cdot 0,32 = 0,316 \text{ м}^3/\text{час}$$

То есть, в самом неблагоприятном случае (если из множества радиаторов открытым останется только один) расход на открытом радиаторе вырастет более чем в 3 раза.

Насколько же изменится мощность отопительного прибора при таком увеличении расхода? Теплоотдача Q секционного радиатора считается по формуле:

$$Q = \left(\frac{\Delta t_{cp} - t_B}{70}\right)^{1+n} \cdot \left(\frac{V_{np} \cdot 1000}{360}\right)^p \cdot Q_n$$

Где: Q_n – номинальная мощность отопительного прибора [Вт];

Δt_{cp} – средняя температура отопительного прибора [°C];

t_B – температура внутреннего воздуха [°C];

V_{np} – расход теплоносителя через отопительный прибор;

n – коэффициент зависимости теплоотдачи от средней температуры прибора;

p – коэффициент зависимости теплоотдачи от расхода теплоносителя;

Предположим, что отопительный прибор имеет номинальную теплоотдачу Q_n=2900 Вт, расчётные параметры теплоносителя 90/70 °C. Коэффициенты для радиатора принимаются: n=0,3, p=0,015. В расчётный период при расходе 0,1 м³/час такой отопительный прибор будет иметь мощность;

$$Q = \left(\frac{80 - 20}{70}\right)^{1,3} \cdot \left(\frac{0,1 \cdot 1000}{360}\right)^{0,015} \cdot 2900 = 2326 \text{ Вт.}$$

$$\text{где: } \Delta t_{cp} = \frac{90+70}{2} = 80^\circ\text{C}$$

Чтобы узнать мощность прибора при V_p"=0,316 м³/час необходимо решить систему уравнений:

$$Q = \left(\frac{\Delta t_{cp} - t_B}{70}\right)^{1,3} \cdot \left(\frac{V''_p \cdot 1000}{360}\right)^{0,015} \cdot Q_n$$

$$\Delta t_{cp} = t_1 + \frac{(Q \cdot 3,6)}{(4187 \cdot V''_p)}$$

Методом последовательных приближений получаем решение этой системы уравнений:

$$Q = \left(\frac{82,6 - 20}{70}\right)^{1,3} \cdot \left(\frac{0,316 \cdot 1000}{360}\right)^{0,015} \cdot 2900 = 2711 \text{ Вт.}$$

$$\Delta t_{cp} = 90 + \frac{(2711 \cdot 3,6)}{(4187 \cdot 0,316)} = 84,5^\circ\text{C}$$

Отсюда можно сделать вывод, что в системе отопления при самых неблагоприятных условиях, когда все отопительные приборы, кроме одного, на участке перекрыты, перепад давления на термостатическом клапане может вырасти до располагаемого напора. В приведенном примере при располагаемом напоре 100 кПа расход увеличится в 3 раза, при этом мощность прибора возрастёт всего на 17%.

Повышение мощности отопительного прибора приведёт к увеличению температуры воздуха в отапливаемом помещении, что, в свою очередь, вызовет закрытие термостатического клапана. Таким образом, колебание перепада давления на термостатическом клапане во время эксплуатации в пределах паспортного максимального значения перепада является допустимым, и не приведет к нарушению в работе системы.

рис.8 Технические характеристики клапана

№	Характеристика	Значение	Пояснение
1	Средний полный срок службы	30 лет	
2	Рабочее давление, МПа	до 1,0	
3	Пробное давление, МПа	1,5	Давление опрессовки перед вводом в эксплуатацию
4	Температура рабочей среды, °С	До +120	
5	Допустимая температура среды окружающей клапан, °С	От +5 до +55	
6	Допустимая влажность среды, окружающей клапан, %	До 80	
7	Максимальный перепад давления на клапане, МПа	0,1	Перепад давления, при котором клапан сохраняет регулировочные свойства

Паспорт разработан в соответствии с требованиями ГОСТ 2.601

В соответствии с **ГОСТ 30815-2002** максимальный перепад давления на термостатическом клапане определяется производителем из соблюдения требований бесшумности и сохранения регулировочных характеристик. Однако, изготовление клапана с широким диапазоном допустимых перепадов давления сопряжено с определенными конструктивными трудностями. Особые требования так же предъявляются к точности изготовления деталей клапана.

Большинство производителей выпускают клапаны с максимальным перепадом давления 20 кПа.

Исключение составляют клапаны фирмы VALTEC VT.31 и VT.32 с максимальным перепадом давления 100 кПа (**рис.8**), и клапаны фирмы Giacomini серии R401 – R403 с максимальным перепадом давления 140 кПа (**рис.9**).

рис.9 Фрагмент технического описания термостатического клапана Giacomini серии R403

РАЗМЕР	ТЕРМОРЕГУЛЯТОР	НОМИНАЛЬНЫЙ РАСХОД Q _{мнн} С ТЕРМОРЕГУЛЯТОРОМ*	АВТОРИТЕТ ЗАТВОРА	Z (мин)	W(K)
1/2" (R401H)	R470H/R460H	170 Кг/ч	0,932	26	1,42
1/2" (R402H)	R470H/R460H	170 Кг/ч	0,809		
1/2" (R403H)	R470H/R460H	170 Кг/ч	0,880		
3/4" (R401H)	R470H/R460H	250 Кг/ч	0,972		
3/4" (R402H)	R470H/R460H	250 Кг/ч	0,950		

Значение гистерезиса : 0,4К
D – влияние дифференциального давления: 0,85К
Z – время срабатывания: см. таблицу
W – влияние температуры воды: см. таблицу
Минимальная настройка в сочетании с терморегулятором R470H, R460H: 8°С в положении*

Максимальное рабочее давление в сочетании с терморегулятором: 10 bar
Максимальное давление дифференциальное:
0,14 МПа (1,4 бар), 3/8" - 1/2"
0,07 МПа (0,7 бар), 3/4"

рис.10 Фрагмент технического описания термостатического клапана

Тип и исполнение	Присоединение по ISO 7-1		Пропускная способность $K_v^{1)}$, м ³ /ч, при значении предварительной настройки								Макс. давление, бар		Перепад давлений ²⁾ , бар	Макс. температур. теплоносителя, °С	Кодовый номер
			с термозлементом							без т/э (K_{v2})	рабочее	испытательное			
	к трубопроводу	к радиатору	1	2	3	4	5	6	7	N					
угловой вертикальный	Прессовое	Наружная резьба R 1/2	При $X_p = 1$ °С							0,90	10	16	0,6	90	
прямой			0,04	0,09	0,15	0,22	0,28	0,33	0,36						
угловой горизонтальный			При $X_p = 2$ °С							0,90					
			0,04	0,09	0,16	0,25	0,36	0,43	0,52	0,73					

¹⁾ Значения K_v соответствуют расходу теплоносителя G в м³/ч при перепаде давлений на клапане $\Delta P = 1$ бар: $K_v = G/\sqrt{\Delta P}$. K_{v2} соответствует максимальному расходу теплоносителя через полностью открытый клапан без термозлемента (положение настройки «N»). Предварительная настройка (положение настройки «N» осуществляется в соответствии со стандартом EN215 при $X_p = 2$ °С. Это означает, что клапан закрывается при температуре в помещении, превышающей на 2 °С температуру настройки термозлемента. При низких значениях предварительных настроек X_p снижается до 0,5 °С.
²⁾ Для обеспечения бесшумной работы максимальный перепад давлений на клапане должен находиться в диапазоне от 0,05 до 0,2 бар. В случае превышения максимального перепада давлений возможно некорректное регулирование температуры. При необходимости перепад давлений может быть снижен применением регуляторов перепада давлений Danfoss.

рис.11 Золотник термостатического клапана с осевым креплением уплотнителя.



При изучении технической документации необходимо быть внимательным, так как некоторые производители переняли практику банкиров - вставлять мелкий текст в примечаниях.

рис.12 Вид золотникового узла клапана VT.031



На (рис. 10) представлен фрагмент из технического описания одного из типов термостатических клапанов. В основной графе указано значение максимального перепада давления 0,6 бар (60 кПа). Однако, в сноске есть примечание, что действительный диапазон работы клапана ограничен всего лишь 0,2 барами (20 кПа).

Ограничение вызвано шумом, возникающим в клапане при высоких перепадах давления. Как правило, это касается клапанов с устаревшей конструкцией золотника, в котором уплотнительная резинка просто крепится по центру заклепкой или болтом (рис. 11).

При больших перепадах давления уплотнитель такого клапана начинает вибрировать из-за неполного прилегания к золотниковой тарелке, вызывая акустические волны (шум).

Повышенный допустимый перепад давления в клапанах VALTEC и Giacomini достигнут за счёт принципиально иной конструкции золотниковых узлов. В частности, у клапанов VT.031 использован латунный золотниковый плунжер, «футерованный» эластомером EPDM (рис. 12).

Сейчас разработка термостатических клапанов с широким диапазоном рабочих перепадов давления является одной из приоритетных задач специалистов многих компаний.

Исходя из изложенного, можно дать следующие рекомендации по проектированию систем отопления с термостатическими клапанами:

1. Коэффициент пропускной способности термостатического клапана рекомендуется определять, исходя из допустимого диапазона температур обслуживаемого помещения. Например, для жилых комнат по **ГОСТ 30494-2011** оптимальные параметры внутреннего воздуха находятся в диапазоне $20 \div 22^\circ\text{C}$. Значение K_v в этом случае принимается при $X_p=S-2$.

В помещениях категории 3а (помещения с мас-

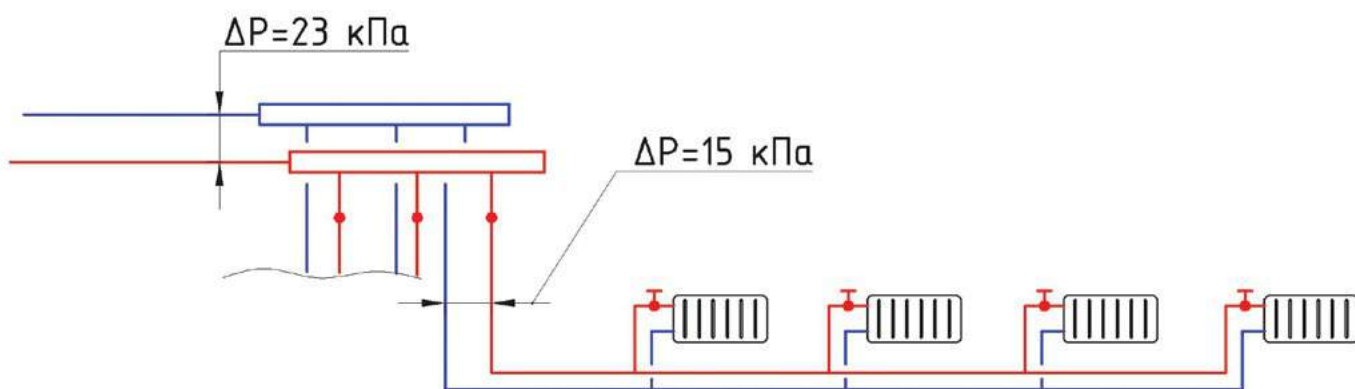
совым пребыванием людей, в которых люди находятся преимущественно в положении сидя без уличной одежды) оптимальный диапазон температур $20 \div 21^\circ\text{C}$. Для этих помещений значение K_v рекомендуется принимать при $X_p=S-1$.

2. На циркуляционных кольцах системы отопления должны быть установлены устройства (перепускные клапаны либо регуляторы перепада давления), ограничивающие максимальный перепад давления таким образом, чтобы перепад давления на клапане не превысил предельного паспортного значения.

Приведем несколько примеров подбора и установки устройств, для ограничения перепада давления на участке с термостатическими клапанами.

ПРИМЕР 1 (рис. 13).

рис.13 Схема к примеру 1

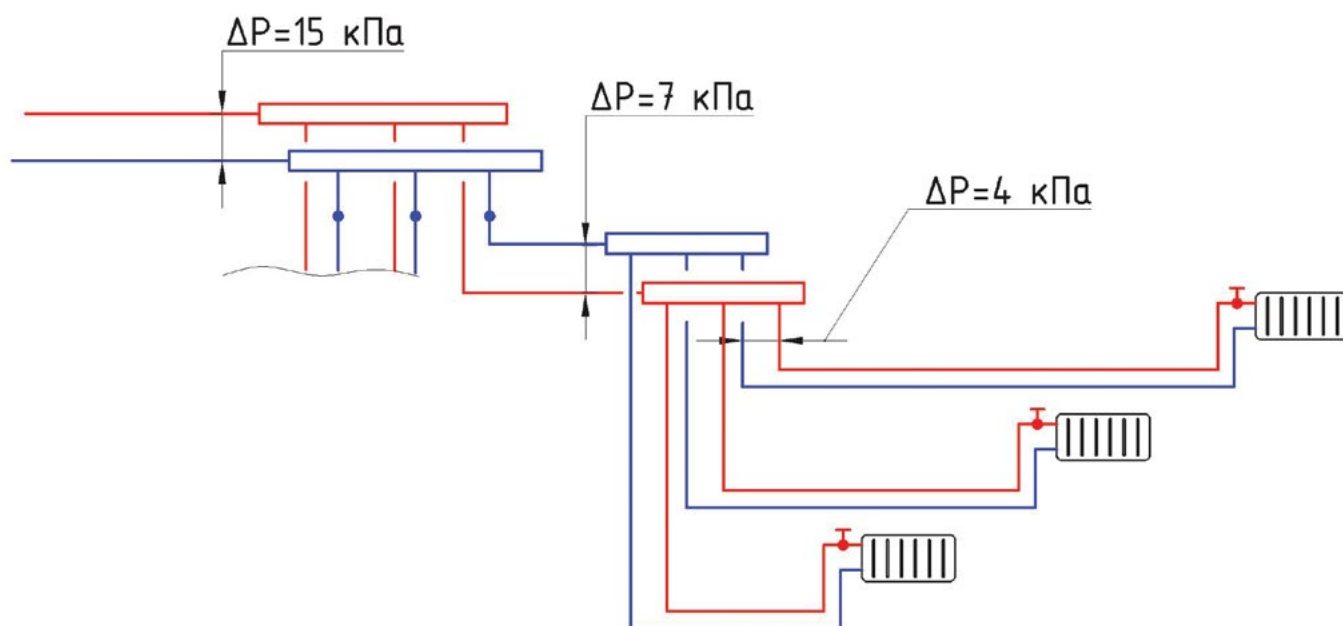


Расчётные потери давления в квартирной системе отопления (рис. 13), включая термостатические клапаны, составляют 15 кПа. Максимальный перепад давления на термостатических клапанах равен 20 кПа (0,2 Бар). Потери давления на коллекторе, включая потери на теплосчётчиках, балансировочных клапанах и прочей арматуре примем 8 кПа. В итоге, перепад давления до коллектора составляет 23 кПа.

Если установить регулятор перепада давления или

перепускной клапан до коллектора, то в случае перекрытия всех термостатических клапанов в данной ветке, перепад на них составит 23 кПа, что превышает паспортное значение (20 кПа). Таким образом, в данной системе регулятор перепада давления или перепускной клапан должен устанавливаться на каждом выходе после коллектора, и должен быть настроен на перепад 15 кПа.

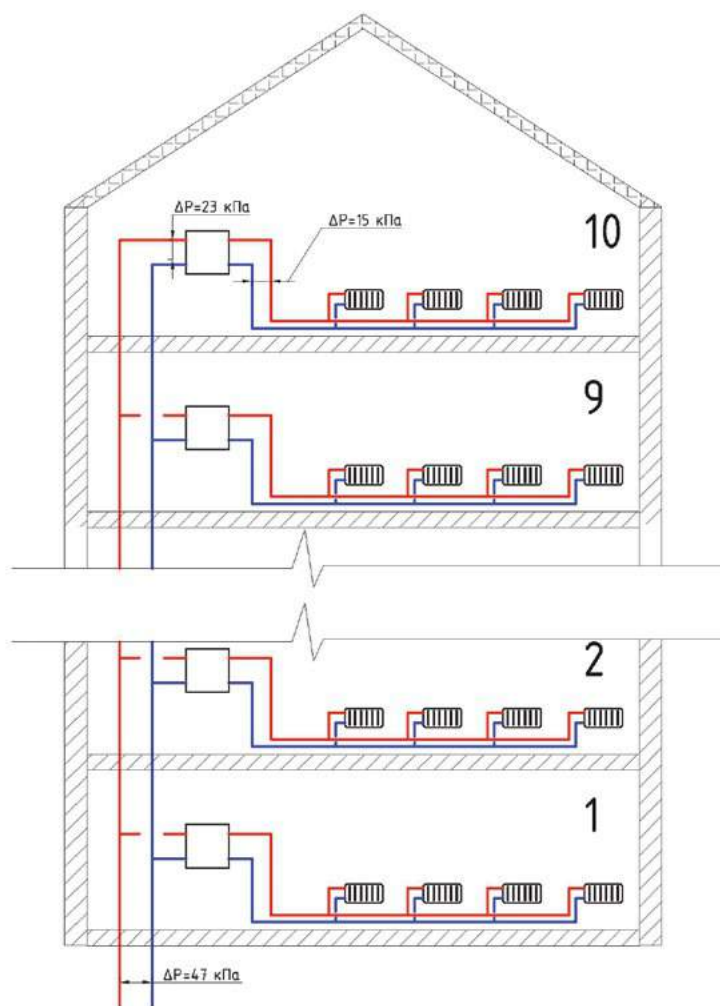
рис.14 Схема к примеру 2



Если принять не тупиковую, а лучевую систему поквартирного отопления (**Рис. 14**), то потери давления в ней будут значительно ниже. В приведенном примере коллекторно-лучевой системы потери в каждой радиаторной петле составляют 4 кПа. Потери давления на квартирном коллекторе примем 3 кПа, а потери давления на этажном коллекторе - 8 кПа.

В этом случае регулятор перепада давления можно расположить перед этажным коллектором и настроить его на перепад 15 кПа. Такая схема позволяет сократить количество регуляторов перепада давления и существенно удешевить систему.

рис. 15 Схема к примеру 3



В данном варианте используются радиаторные термостатические клапаны с максимальным перепадом давления 100 кПа (**Рис. 15**). Так же как и в первом примере, примем, что потери давления в квартирной системе отопления составляют 15 кПа. Потери давления на квартирном узле ввода (квартирной станции) 7 кПа. Перед квартирной станцией перепад давления составит 23 кПа. В десятиэтажном здании общую длину пары стояков системы отопления можно принять порядка 80 м (сумма подающего и обратного трубопроводов).

При средних линейных потерях давления по стояку 300 Па/м, общие потери давления в стояках составят 24 кПа. Отсюда следует, что перепад давления у основания стояков составит 47 кПа, что меньше максимально допустимого перепада давления на клапане.

Если установить регулятор на перепад давления на стояк и настроить его на давление 47 кПа, то даже, когда все радиаторные клапаны, подключенные к этому стояку, закроются, перепад давления на них будет ниже 100 кПа.

Таким образом, можно существенно снизить стоимость системы отопления, установив вместо 10 регуляторов перепада давления на каждом этаже, один регулятор у основания стояков.

Жигалов Д.В.



Проводная система сбора и обработки данных VALTEC M-BUS

В последнее время достаточно остро стоит задача энергосбережения. Однако массовая установка приборов учета ресурсов решает ее только частично, для полноценного контроля необходимо еще и получать своевременные и честные данные о расходах ресурсов в учетном центре или управляющей компании.

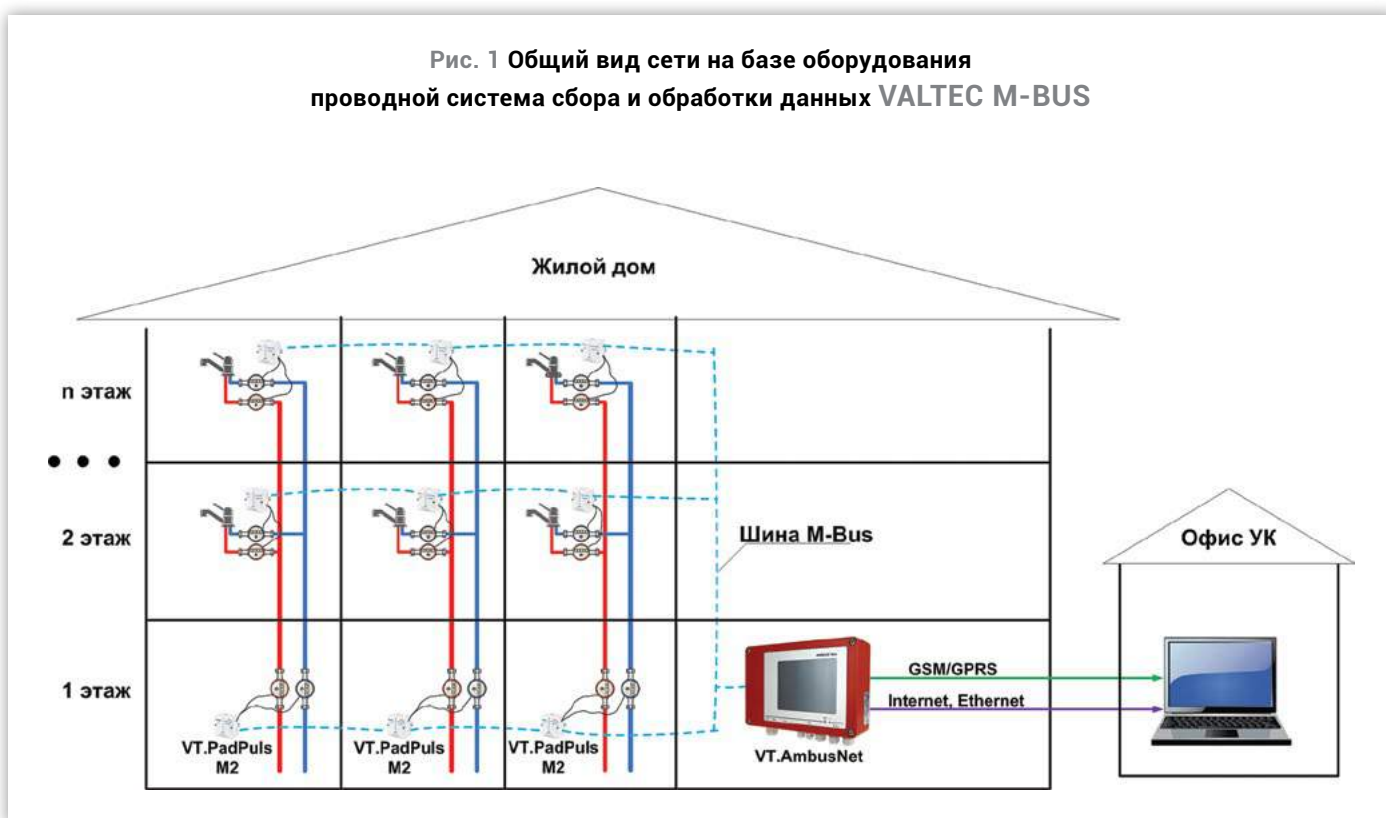
Эта задача должна решаться в автоматическом режиме, без участия «живого» посредника с листком

бумаги и ручкой. Для этого существуют системы сбора и передачи данных, так же называемые системы диспетчеризации.

В качестве такого автоматического посредника может выступать система сбора данных **VALTEC M-BUS**.

На **рисунке 1** представлена общая структура устройства системы в многоквартирном доме.

Рис. 1 Общий вид сети на базе оборудования проводной система сбора и обработки данных VALTEC M-BUS



В каждой квартире установлены приборы учета ресурсов, которые подключены к преобразователю импульсов VT.PadPuls.M2 или VT.PadPuls.M4. Схема подключения приборов учета к преобразователю приведена на **рисунке 2**.

Все преобразователи должны быть подключены к шине M-Bus (см. **рис. 3**), которая представляет собой двухпроводную линию связи типа «витая пара». Точно так же к шине подсоединяются устройства со штатным протоколом M-Bus (например, теплосчетчики Valtec VHM-T) без участия преобразователя.

В общем случае, преобразователи и приборы учета с M-Bus передают данные о расходах ресурсов на концентратор. Концентратор, в свою очередь, хранит, обрабатывает и показывает эти данные.

Рис. 2 Подключение приборов учета к преобразователю импульсов VT.PadPuls.M2

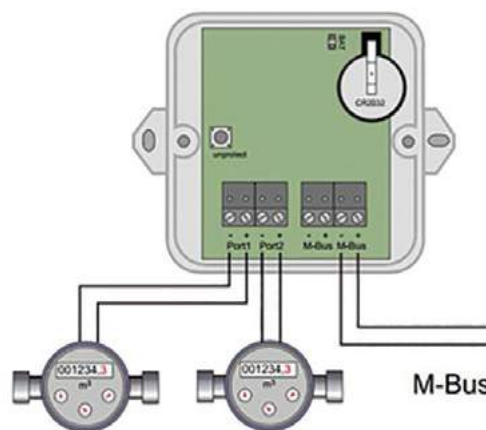


Рис. 3 Варианты подключения преобразователей к шине M-BUS

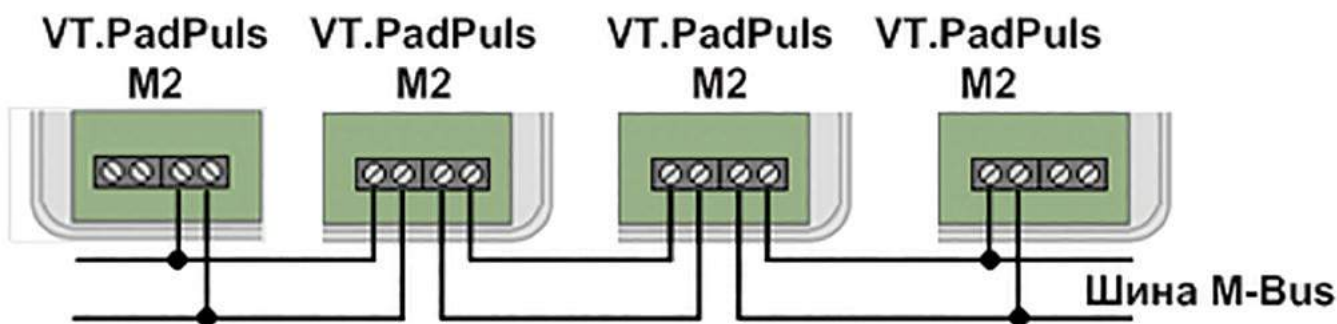


Рис. 4 Вариант построения сети на базе оборудования системы сбора и обработки данных VALTEC M-BUS

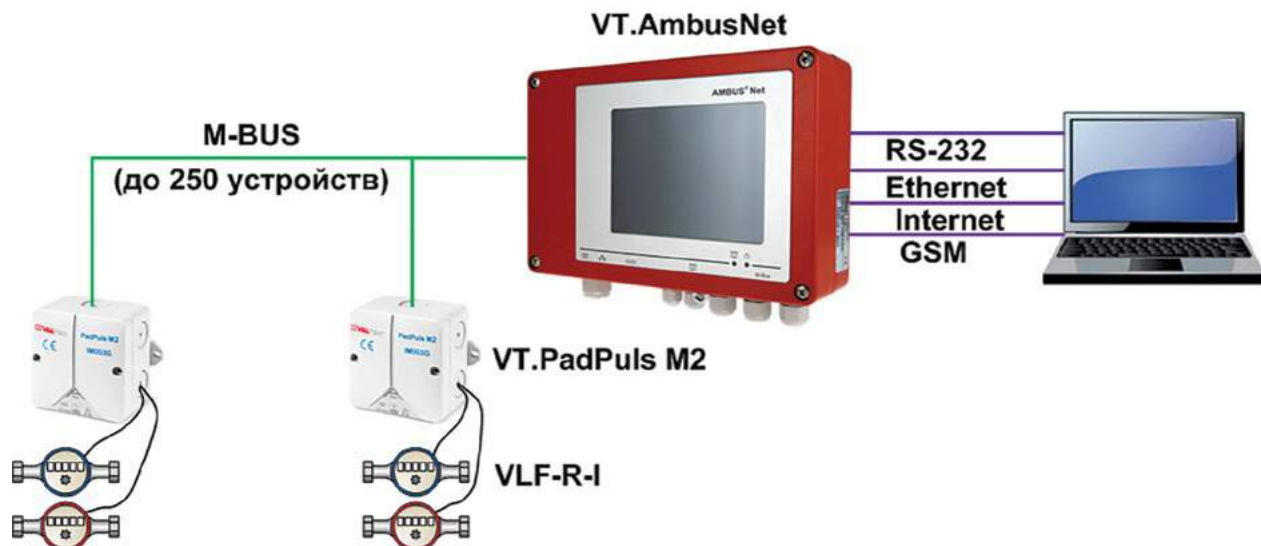
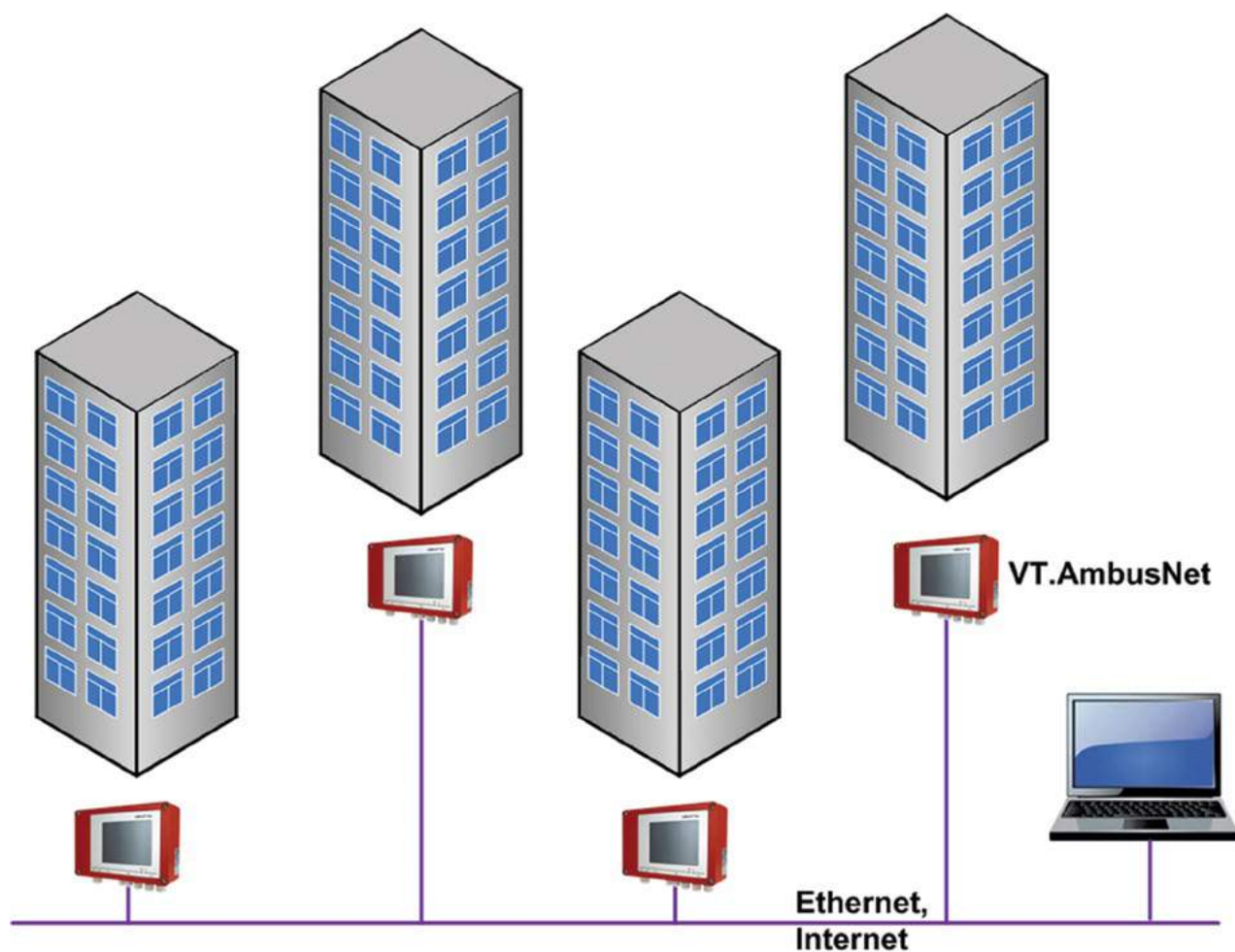


Рис. 5 Возможности системы сбора данных VALTEC M-BUS



Кроме того, концентратор обладает дополнительными протоколами связи (**LAN, GSM**), которые позволяют организовать сбор данных о потреблении

ресурсов с целого района (см. рис. 5). Если же концентратор не включен в сеть, так же есть возможность снимать данные заменой карты памяти формата CF, на которой сохраняются отчеты в табличном формате CSV.

Преобразователь Valtec VT.PadPuls.M2



Рассмотрим устройства, входящие в состав системы, подробнее.

Преобразователи импульсов VT.PadPuls.M2 обеспечивают:

- Подсчет количества электрических импульсов от приборов учета.
- Преобразование количества импульсов в физические величины.
- Передача данных в систему диспетчеризации по протоколу M-Bus.

Особенности прибора VT.PadPuls.M2:

- Питание от шины M-Bus.
- Встроенная батарея для сохранения данных на срок до 130 суток на случай отказа шины M-Bus.

Концентратор VT.AMBUS®Net выполняет следующие функции:

- Считывание и хранение показаний по протоколу M-Bus.
- Формирование файлов отчетов о потреблении энергоресурсов.
- Преобразование интерфейсов RS-232, RS-485, M-Bus.

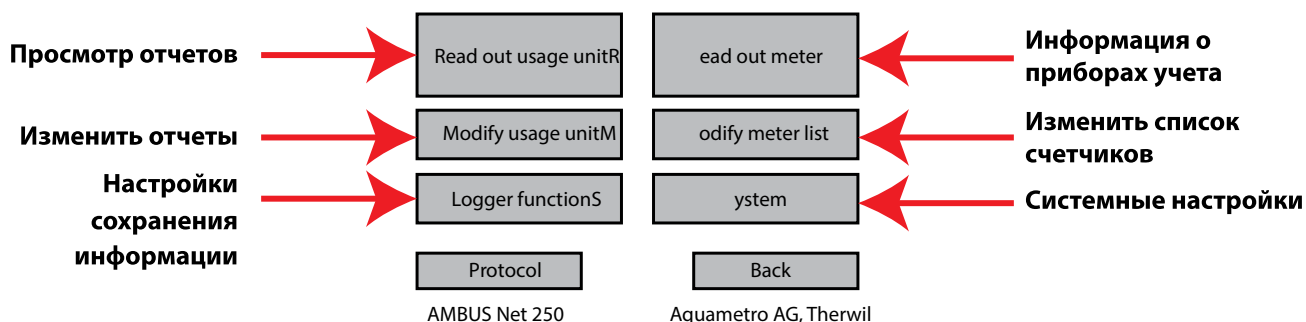
Особенности конструкции и применения VT.AMBUS®Net:

- Возможность подключения 250 M-Bus устройств в шине.
- Передача данных через Интернет в систему учета.
- Сенсорный ЖК-дисплей.
- Встроенное ПО.
- Дистанционное управление через Web-браузер.
- Возможность хранения показаний на карте памяти.
- Стандартный формат данных (CSV), который легко интегрируется (MS Excel, 1C).

Концентратор VALTEC VT.AMBUS®Net



Главный экран меню VT.AMBUS®Net



Внешний вид отчета VT.AMBUS®Net

Addr. **6** Channel **1**

M1: +00347870 kWh	P: 0.000 kW
M2: +017353.08 m3	Q: 0.000 m3/h
M3: -00257318 kWh	Th: 49.6 °C
M4: -000000.00 m3	Tc: 25.2 °C
01.12.05 14:51	
dT: 24.40 K	

Protocol Back

AMBUS Net 250 Aquametro AG, Therwil

Текущие данные с приборов учета

1 - 1st floor

Medium	Meter reading	Addr.	Serial no.
heat	+00347870 kWh	6	11110305
water	+017353.08 m3	6	11110305

Readout: 05.04.15 14:51 Update

Protocol Back

Приближенный расчет стоимости оборудования для жилого 120 квартирного дома с 240 приборами учета:

Оборудование	Цена, руб.	Стоимость на 120 квартир, руб.
Квартирный счетчик воды, универсальный, с двумя импульсным выходом	880	212 200
Преобразователь импульсов VT.PadPuls M2	15 930	1 911 600
Концентратор VT.AMBUS®Net 250	393 750	393 750
Модуль обработки данных с карт-ридером VT.CF-Reader	74 250	74 250
Итого		2 591 800

Внимание:

1. Расчет стоимости оборудования приближенный. Для полного понимания цены требуется разработка проекта системы диспетчеризации.
2. Цены действительно на ноябрь 2015 года.

Смирнов А.М.



Беспроводная система сбора и передачи данных VALTEC CASCAD

В связи с реформированием жилищно-коммунального хозяйства, в частности с повсеместной установкой приборов учета воды и тепла, возникает насущная потребность в системах автоматизированного учета ресурсов, потребляемых жильцами квартир. В учете потребления ресурсов заинтересованы все: и квартиросъемщики, и поставщики, и управляющие компании.

Помочь в этом может система беспроводного сбора и передачи данных VALTEC CASCAD.

Система VALTEC CASCAD обеспечивает сбор данных о потреблении ресурсов с индивидуальных узлов учета, их обработку и хранение, а так же передачу до офиса управляющей компании.

Общий принцип устройства сети представлен на **рисунке 1**.

Рис. 1 Общий принцип построения сети VALTEC CASCAD

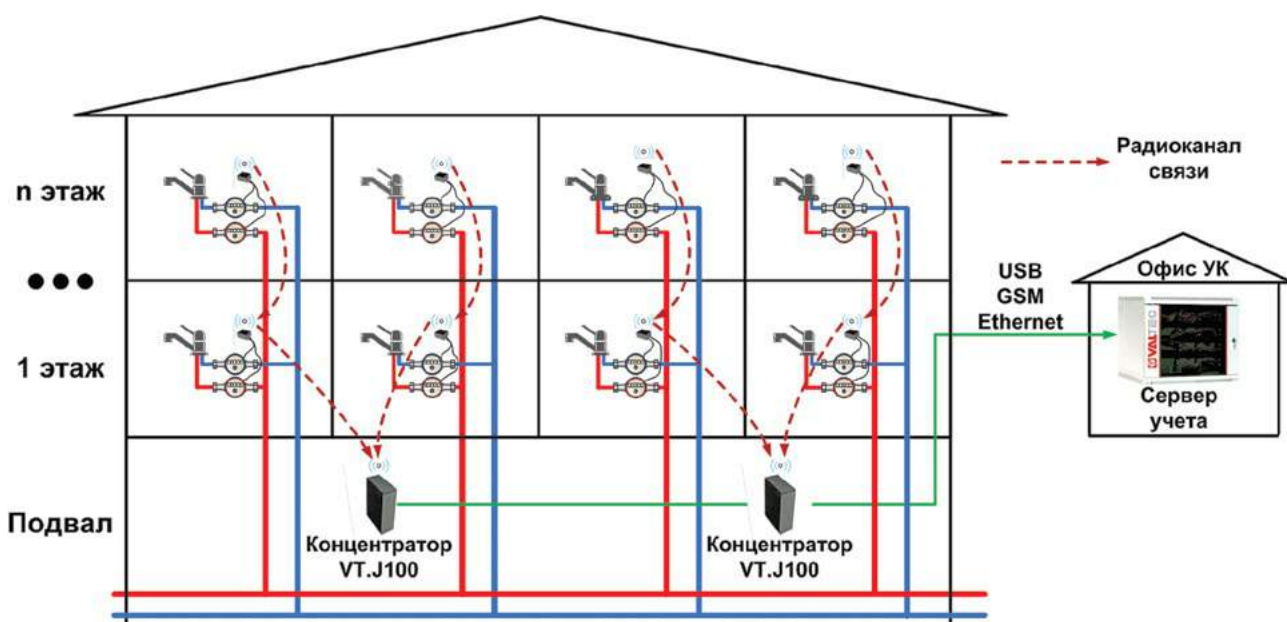


Рис. 2 Подключение прибора учета ресурсов к преобразователю VALTEC VT.D100

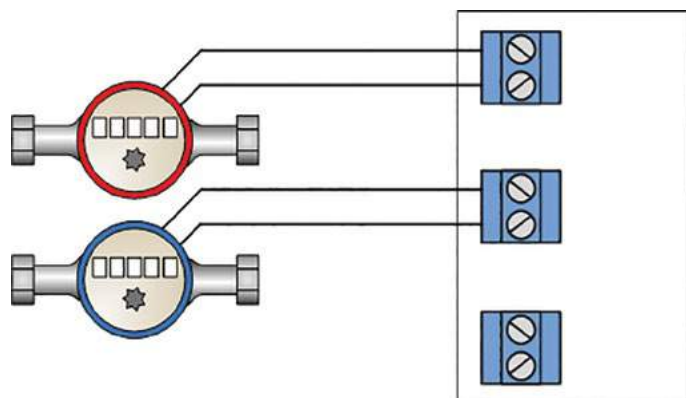


Рис. 3 Внешний вид установленного преобразователя VALTEC VT.D100



На трубах подачи воды в каждой квартире установлены водосчетчики с импульсным выходом. Радиопреобразователь импульсов VT.D100 устанавливается рядом (рис. 3) с приборами учета, и подключается к ним напрямую. К одному VT.D100 можно подключить два счетчика (рис. 2).

От преобразователей сигнал по радиоканалу доходит до концентратора сигнала, от которого в свою очередь, данные о потреблении ресурсов поступают на сервер сбора данных по каналам USB или GSM, установленному, например, в подвале. Из офиса управляющей

компании и жильцам данные будут доступны по сети интернет.

Работа системы осуществляется по радиоканалу 433 МГц, мощностью 1 мВт. В системе возможна работа до 16 подсетей на разных каналах связи, при этом не возникает так называемых коллизий, когда одни данные мешают передавать другие, что обеспечивает одновременную работу до 4000 тысяч точек учета.

Система использует принцип ретрансляции сигнала. В классическом варианте для организации радиосети потребовались бы достаточно мощные источники радиосигнала для связи удаленных радиопреобразователей с концентратором (например, верхние этажи многоэтажных домов), что негативно сказалось бы на времени работы от батарей, габаритах преобразователей и уровне излучения. Кроме того мощные источники радиосигнала отрицательно влияют на здоровье жильцов и требуют особых правил к расположению оборудования и его сертификации на территории РФ.

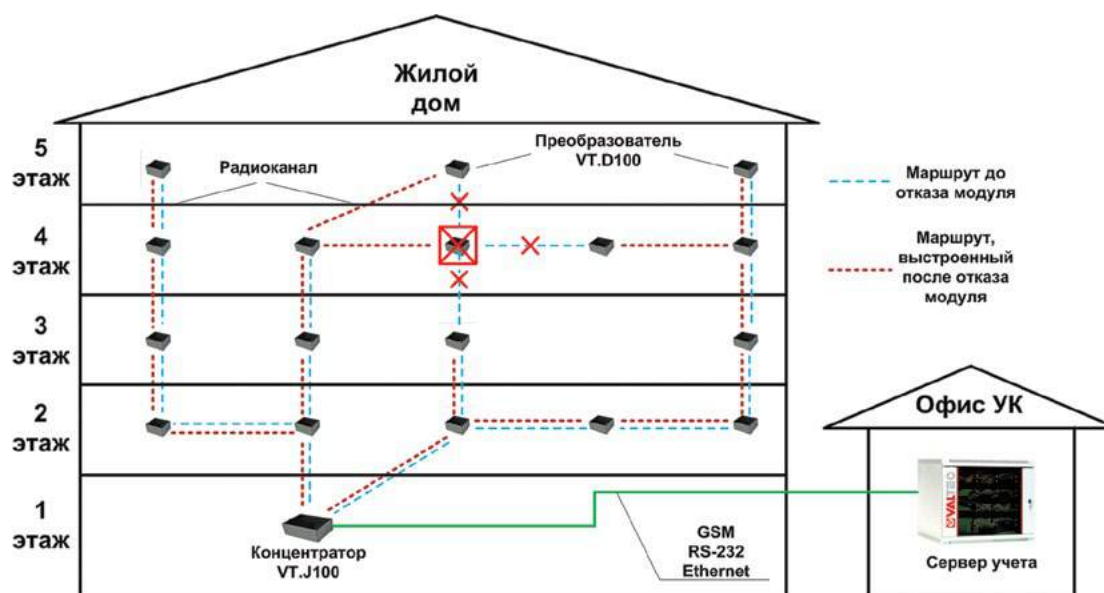
Для того чтобы избежать этих негативных факторов, сигнал о расходах поступает последовательно с одного преобразователя на другой, пока не дойдет по цепочке до концентратора. При этом путь сигнала выбирается автоматически, через ближайшие ненагруженные радиопреобразователи.

В итоге мы получаем экономичную систему радиосвязи, которая может автоматически строить маршрут сигнала, исправлять ошибки, обеспечить до 30 уровней ретрансляции (и до нескольких сотен метров расстояния от крайнего преобразователя до концентратора в ЖБ здании), при этом не требуется дополнительных ретранслирующих устройств.

Основные возможности, обеспечиваемые системой VALTEC CASCAD.

- ячеистая сеть обмена данными по технологии D-Mesh с автоматической трассировкой;
- до 30 уровней ретрансляции;
- расстояние связи до 2 км в помещении (до 80 метров между 2 точками);
- подключение точки учета за 3 минуты;
- контроль воздействия магнитного поля на узлы учета;
- формирование отчетов о потреблении ресурсов;
- доступ к данным о потреблении с АРМ (автоматизированное рабочее место) через Web-браузер;
- легкость вычисления случаев занижения показаний и кражи ресурсов;
- выяснения мест «небаланса» потребления (например, из-за протечек).

Рис. 4 Автоматические действия в сети в случае проблем с радиоканалом



Так же в системе предусмотрена самодиагностика на наличие отказов оборудования, в случае появления помех в диапазоне рабочих частот VALTEC CASCAD или отказа отдельных преобразователей VT.D100 (или их умышленного блокирования) система автоматически перестраивает сеть обмена данными (рис. 4).

Беспроводная система сбора и обработки данных VALTEC CASCAD строится на основе всего двух типов устройств: преобразователей импульсов (радиомодулей) VT.D100 и концентраторов VT.J100.

Основные функции преобразователей импульсов VT.D100:

- сбор информации со счетчиков любого типа с импульсным выходом;
- сбор информации об ошибках в работе счетчиков;
- передача информации на концентратор;
- ретрансляцию сигнала (организацию ячеистой сети);
- до 5 лет работоспособности без замены батарей;
- 3 дня хранения информации на внутренней памяти.

VT.D100 позволяет фиксировать и передавать информацию об ошибках:

- обрыв импульсного выхода прибора учета;
- воздействие магнитного поля на прибор учета;
- низкий заряд батарейки;

Наличие магнитного поля фиксируется только со специальными водяными счетчиками, с измененной схемой формирования импульсного сигнала (дополнительный геркон, улавливающий наличие даже слабого магнитного поля, рисунок 5).

Сервер диспетчеризации VALTEC VT.D100



Рис. 5

Схема стандартного водосчетчика VALTEC

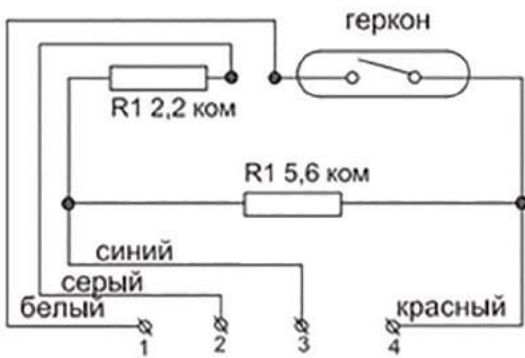
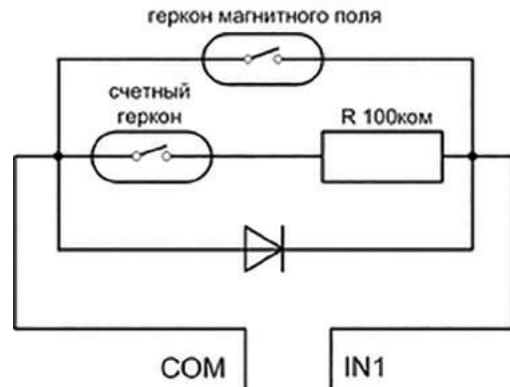


Схема модернизированного счетчика VALTEC



Радиоконцентратор VALTEC VT.J100



Радиоконцентратор VT.J100 выполняет функции сбора и хранения информации от сети VT.D100 и ее передачи на более высокий уровень системы диспетчеризации. Особенности работы VT.J100:

- автоматическое построение сети сбора данных;
- возможность приема информации до 250 преобразователей VT.D100;
- хранение информации - 64 дня во внутренней памяти.

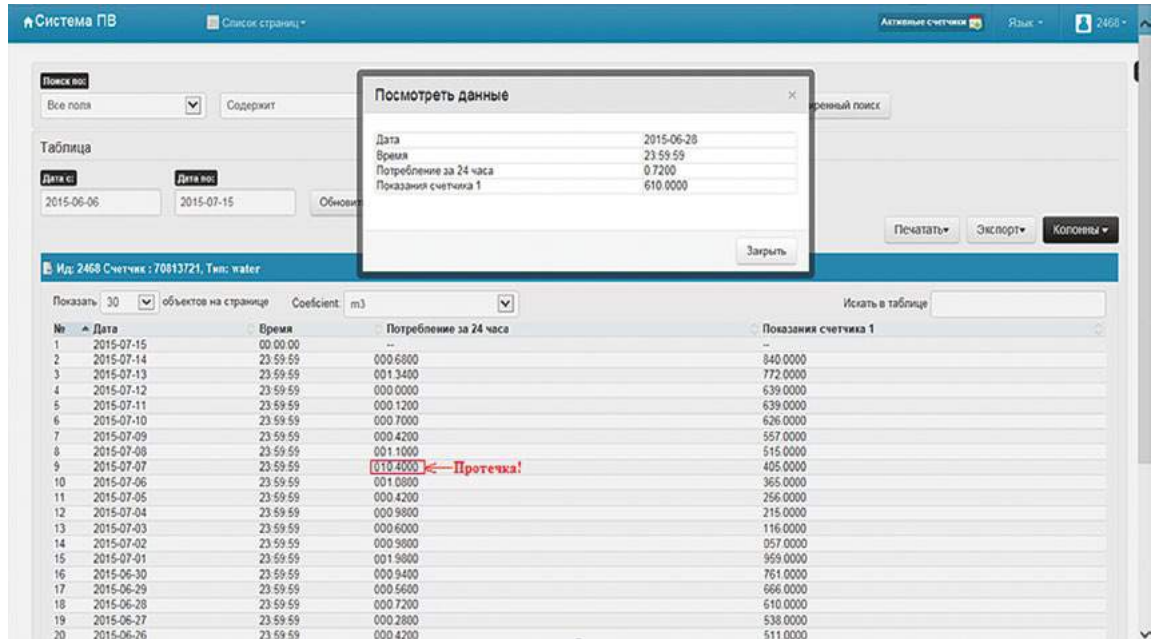
Сервер учета данных устанавливается на объекты по дополнительному запросу эксплуатирующих организаций и обеспечивает:

- сбор информацию с концентраторов J100-UC при помощи USB интерфейса;
- сбор информации с 16 концентраторов (до 3500 точек учета);
- встроенный web-сервер, дающий доступ к просмотру отчетов по расходу и состоянию системы при помощи сети Интернет и/или Ethernet всем пользователям. Нагрузочная способность - 200 пользователей одновременно;
- бесперебойное питание, как самого шкафа учета, так и концентраторов JC100.

Сервер диспетчеризации VALTEC VT.Server



Рис. 6 Web-интерфейс системы учета данных VALTEC CASCAD



Экранные формы представления информации предоставляются жителям и сотрудникам управляющей компании двумя способами, либо через локальную сеть здания (например, подключенный к серверу ноутбук), либо через Web по сети интернет (рис. 6).

Любой житель, обладая паролем доступа, может

просмотреть показания своего расхода.

Для управляющей компании доступны показания всех своих абонентов. Возможно использование для обработки данных программы «PW», которая так же работает через интернет или локальную сеть. Общий вид программы представлен на рисунке 7.

Рис. 7 Программа «PW»

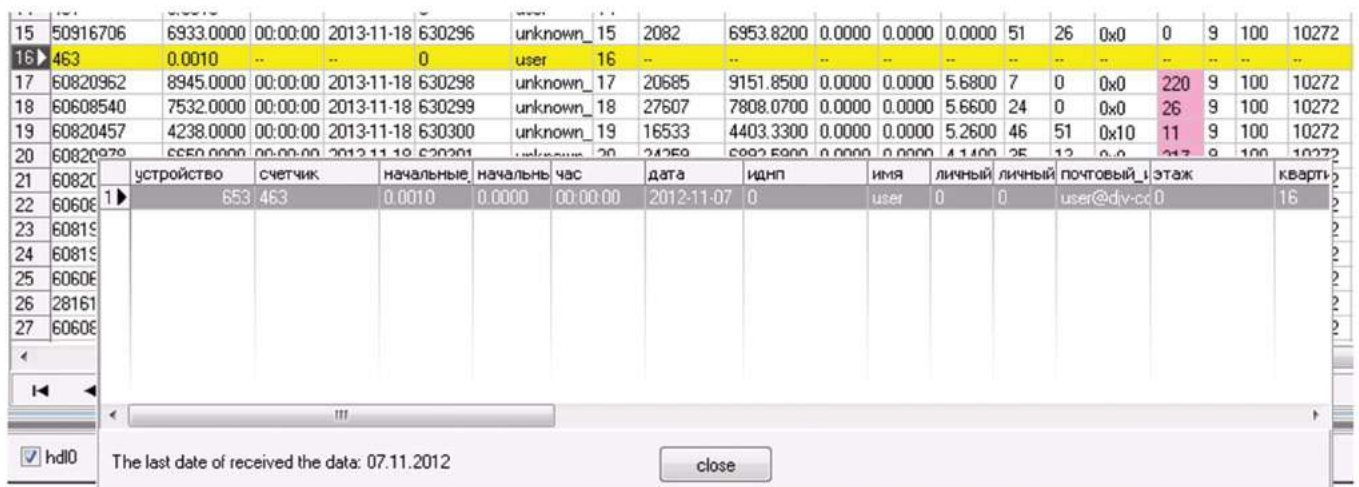
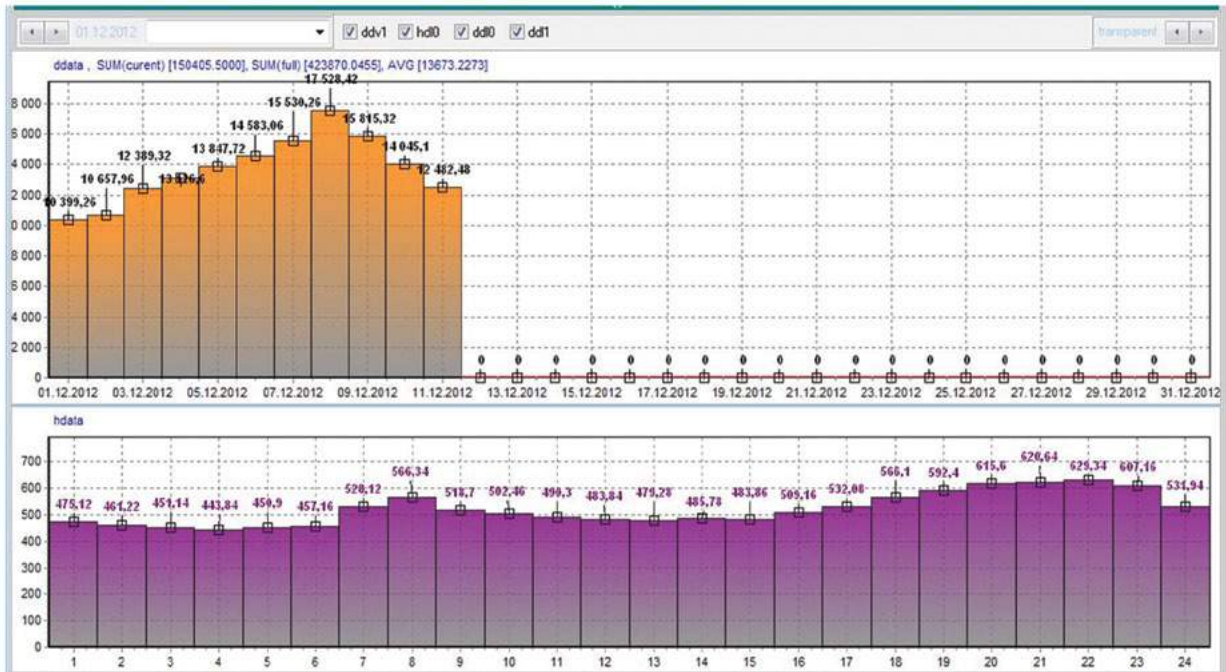


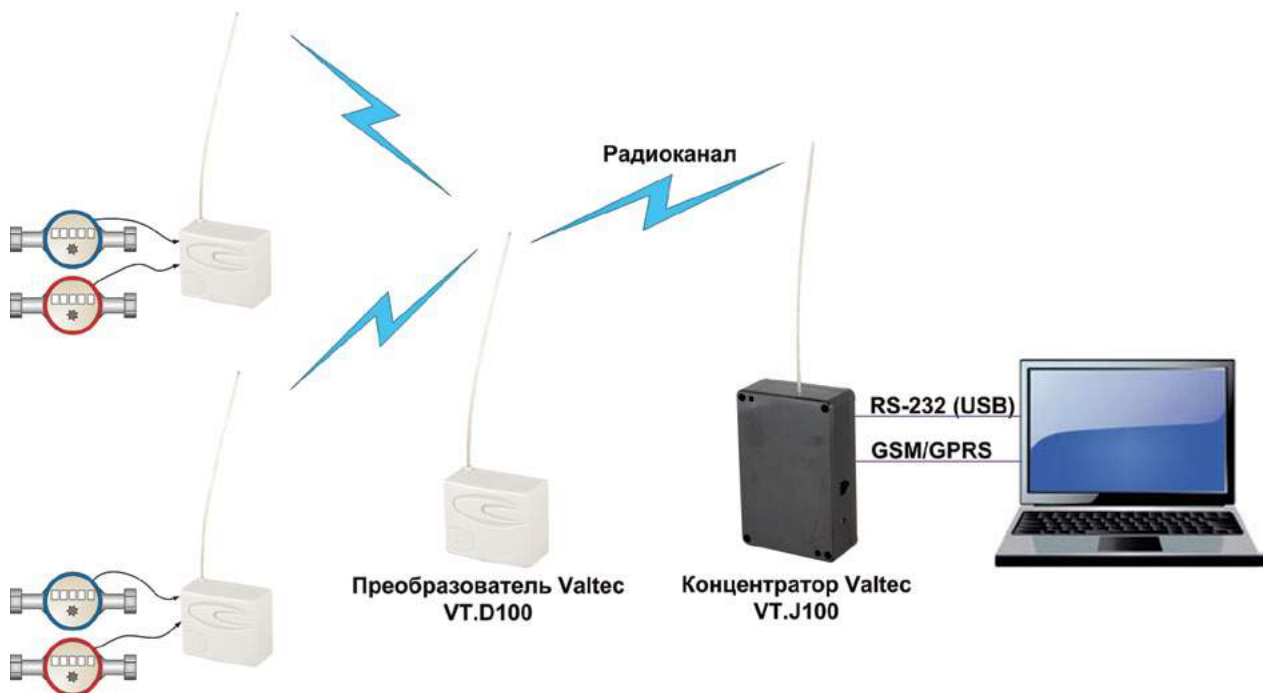
Рис. 8 Аналитические отчеты программы «PW»



Интерфейс программы «PW» позволяет анализировать потребление энергоресурсов по каждому абоненту, в том числе получать данные о «суточном потреблении», «часовом потреблении», «потреблении

за отчетный период» и т.д. (рис. 8). Вариант построения сети сбора и обработки данных VALTEC CASCAD представлен на рисунке 9.

Рис. 9 Структура сети сбора и обработки данных VALTEC CASCAD



Приближенный расчет стоимости оборудования для жилого 120 квартирного дома с 240 приборами учета:

Оборудование	Цена, рублей	Стоимость на 120 квартир, рублей
Квартирный счетчик воды, универсальный, с двумя импульсными формирователями сигналов) (второй импульсный формирователь необходим для фиксации факта воздействия магнита на прибор учета)	1207	289 680
Преобразователь импульсов VT.D100	6795	815 400
Концентратор VT.J100	48825	48255
Сервер с ПО VT.MiniServer	102 375	1023885
Итого		1 256 280

Внимание:

1. Расчет стоимости оборудования приближенный. Для полного понимания цены требуется разработка проекта системы диспетчеризации.

2. Цены действительно на ноябрь 2015 года.

Смирнов А.М.

Никакая часть этого издания не может быть воспроизведена, скопирована, сохранена на электронном носителе, размножена или передана в любой форме и любыми средствами, в том числе электронными, механическими или фотокопированием, без письменного разрешения автора/правообладателя.

Любое нарушение прав автора/правообладателя влечёт гражданскую и уголовную ответственность на основе российского и международного законодательств.

Типография ООО «Первый ИПХ».

Договор № 06-1- 15 от 04.06.2015

Юридический адрес типографии:

Санкт-Петербург, 194044, Б. Сампсониевский пр., д.60, лит.У

Тираж: 3000 экз. Количество страниц: 90

Автор: Поляков В.И.

© Правообладатель: ООО «Веста Регионы»

142104, Московская область, г. Подольск, ул.Свердлова, д.30, корп.1

Подписано к печати: 24 декабря 2015 г.

Все авторские права защищены.

 **VALTEC**®

www.valtec.ru